

الجمهورية الجزائرية الديمقراطية الشعبية

REPUBLIQUE ALGERIENNE DEMOCRATIQUE ET POPULAIRE

7/87

وزارة التعليم والبحث العلمي

MINISTÈRE DE L'ENSEIGNEMENT ET DE LA RECHERCHE SCIENTIFIQUE

2 ex

ECOLE NATIONALE POLYTECHNIQUE

2 ex Sans planches

DEPARTEMENT : GENIE CIVIL

المدرسة الوطنية المتعددة التقنيات

BIBLIOTHEQUE — المكتبة

Ecole Nationale Polytechnique

PROJET DE FIN D'ETUDES

SUJET

ETUDE D'UN PONT DALLE

EN BETON PRECONTRAINTE

7 PLANCHES

Proposé par :

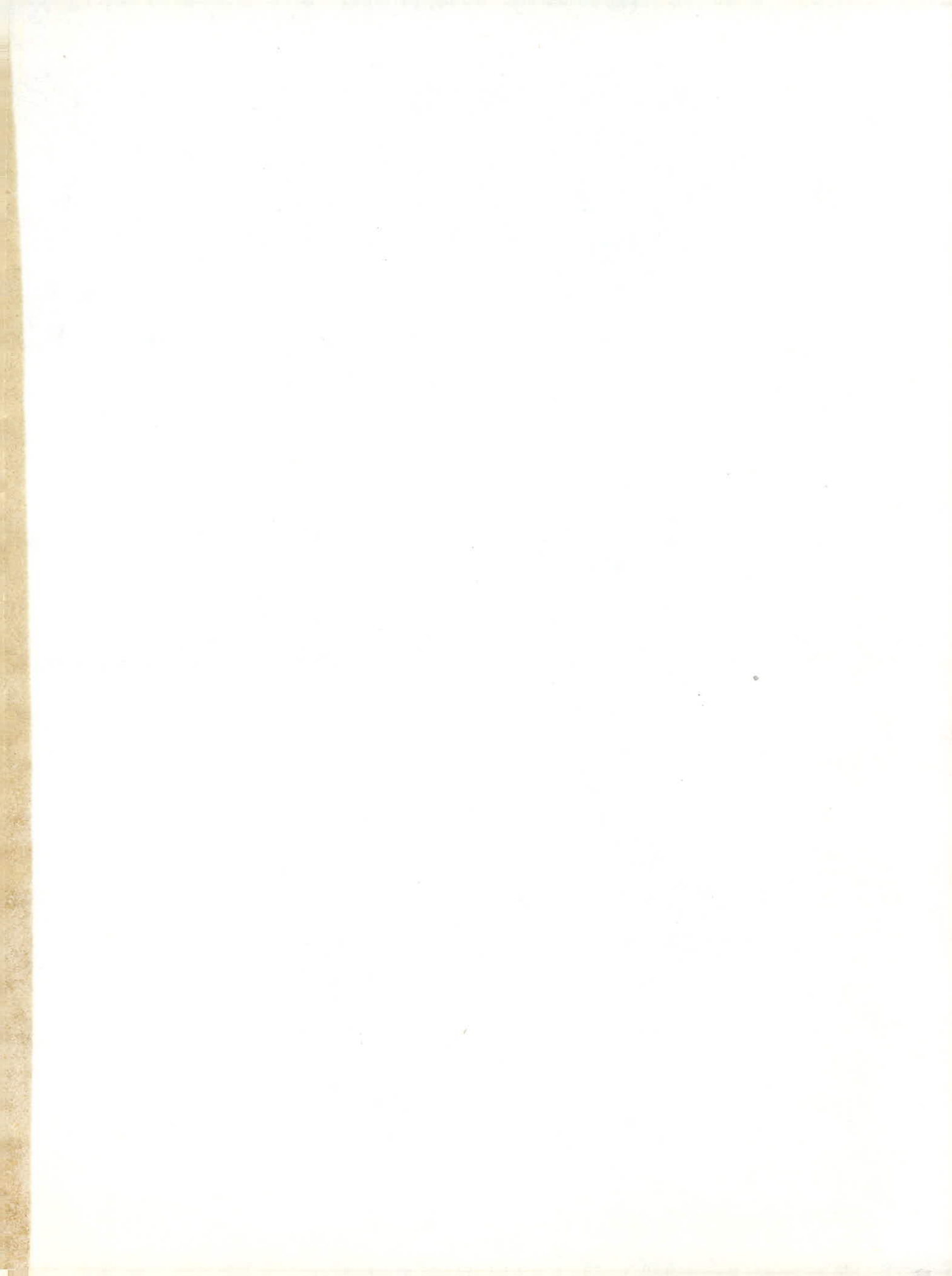
S. A. E. T. I.

Etudié par :

M. M. ATIK M.
KESSAI L.

Dirigé par :

M. ZOUKH



بِسْمِ اللَّهِ الرَّحْمَنِ الرَّحِيمِ

المدرسة الوطنية المتعددة التقنيات
BIBLIOTHEQUE — المكتبة
Ecole Nationale Polytechnique

«سُبْحَانَكَ لَا عِلْمٌ لَنَا إِلَّا مَا
عَلَّمْتَنَا إِنَّكَ أَنْتَ الْعَلِيمُ الْحَكِيمُ»

اللَّهُمَّ عَلِمْنَا مَا يَنْفَعُنَا وَانْفَعْنَا
بِمَا عَلِمْتَنَا وَرِزْقَنَا بِمَا عَلِمْنَا»

Remerciements

المدرسة الوطنية المتعددة التقنيات
BIBLIOTHEQUE — المكتبة
Ecole Nationale Polytechnique

En premier lieu nous tenons à exprimer nos remerciements les plus sincères à l'égard de tous les enseignants ayant contribué à notre formation.

Notre profonde gratitude va à notre promoteur monsieur ZOUHRA pour tout son aide et conseil ainsi qu'à tout le personnel de la S.A.E.T.I et en particulier M^e TALOSSA, M^e ROUATI et la documentaliste pour tout l'aide apportée pour la réalisation à bien de notre projet.

DEDICACES

المدرسة الوطنية المتعددة التقنيات
المكتبة —
BIBLIOTHEQUE —
Ecole Nationale Polytechnique

Je dédie ce travail modestement accompli à ma mère
et à la mémoire de mon père pour tous les sacrifices
consentis à mon égard.

Egalement, à tous mes frères et soeurs ainsi qu'à tous
mes amis (es)

Mohamed

je dédie ce travail modestement accompli à mes
parents pour tous leurs sacrifices consentis à mon
égard.

Egalement, à mon frère et soeurs ainsi qu'à tous
mes amis (es)

Abdelhadi

SOMMAIRE

المدرسة الوطنية المتعددة التقنيات
المكتبة —
BIBLIOTHEQUE —
Ecole Nationale Polytechnique

1.6

- I. Présentation de l'ouvrage et caractéristiques mécaniques des matériaux
- II. Charges et Surcharges 7-10
- III. Méthode de GUYON et MASSONNET 11-16
- IV. Calcul des efforts longitudinaux sous l'effet des Charges et Surcharges 17-26
- V. Précontrainte 27-32
- VI. Pertes et chutes de tension 33-38
- VII. Effort tranchant 39-40
- VIII. Etude de la torsion 41-44
- IX. vérifications 45-54
- X. Etude de la flexion transversal 55-74
- XI. APPareils d'appuis 75-79
- XII. Chevêtre incorporé 80-84
- XIII. Déformations 85-87
- XIV. Etude de la culée 88-92
- XV. Etude et ferrailage des différents éléments de la culée 93-101
- XVI. Etude de la semelle 102-103
- Bibliographie

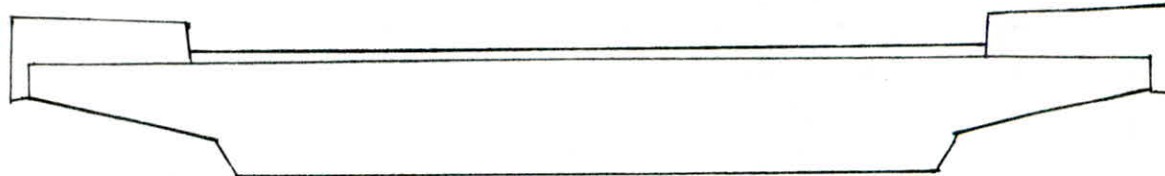
PRESENTATION DE L'OUVRAGE ET CARACTERISTIQUES MECANIQUES DES MATERIAUX

المدرسة الوطنية المتعددة التقنيات
BIBLIOTHEQUE — المكتبة
Ecole Nationale Polytechnique

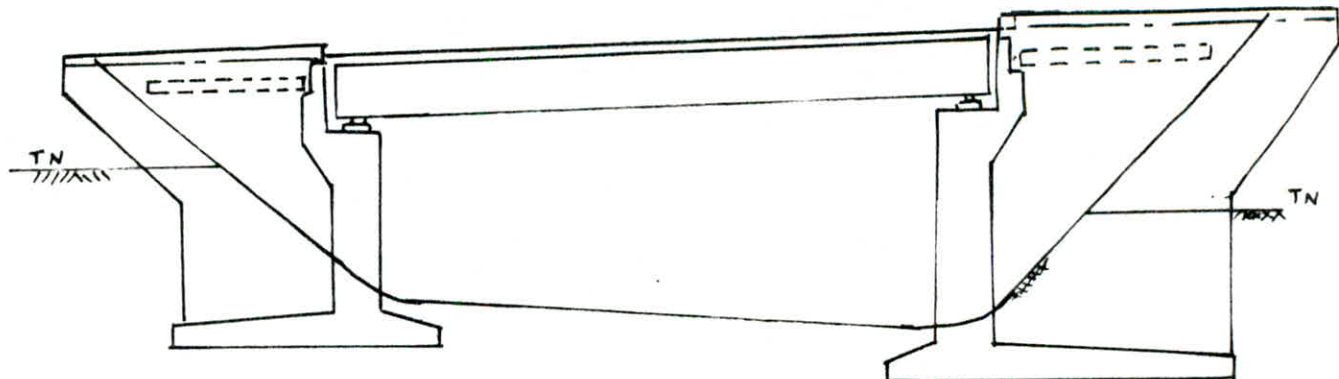
A. PRESENTATION DE L'OUVRAGE

L'ouvrage d'art proposé par la S.A.E.T.I entre dans le cadre de l'étude de la pénétrante des annassers nord.

Concernant les caractéristiques essentielles de cet ouvrage, celui-ci est un pont dalle en béton précontraint à une seule travée donc isostatique. Il présente en outre un bâti géométrique de 75,7311 grd (68°16'), transversalement ce pont à une largeur de 14,55m et comporte deux (02) encorbellement de 2,40m chacun supportant deux (02) trottoirs de 2,50m chacun. La largeur de la chaussée est de 10,25m, la longueur bâtie du pont est 25,543m



Coupe transversale



Coupe Longitudinale

B. HYPOTHESE ET PRINCIPE DES PONTS DALLE A LARGE ENCORBELLEMENT

Pour de telles structures, il convient de faire une distinction entre les parties en encorbellement et la nervure centrale que nous appellerons dalle centrale. Nous considérons par ailleurs que les encorbellements ont pour origine la première discontinuité sur l'intrados ainsi nous pouvons considérer que :

- les encorbellements travaillent comme des consoles encastrées dans la dalle centrale, il est donc

de connaître, dans les sections d'enca斯特rement, les moments fléchissants et les efforts tranchants produits par les charges et surcharges placées sur les encorbellements

- La dalle centrale, supposée indépendante des encorbellements, fonctionne comme une dalle isotrope pour laquelle la méthode de M.M GUYON et MASSONNET est applicable

1) Dimensionnement de la dalle à encorbellement (conforme au PSI-DP.63)

Nous allons substituer à la dalle avec encorbellement, la dalle équivalente de section rectangulaire de même hauteur que la dalle centrale et présentant la même inertie de flexion que l'ensemble de la structure étudiée.

La largeur ($2b$) de la dalle équivalente est donnée par : $2b = \frac{12 I_x}{h^3}$ avec : $\left. \begin{array}{l} h : \text{hauteur de la dalle centrale} \\ I_x : \text{inertie totale de la structure} \end{array} \right\}$

$$\text{on a : } I_x = 1,697 \text{ m}^4$$

$$h = 1,20 \text{ m}$$

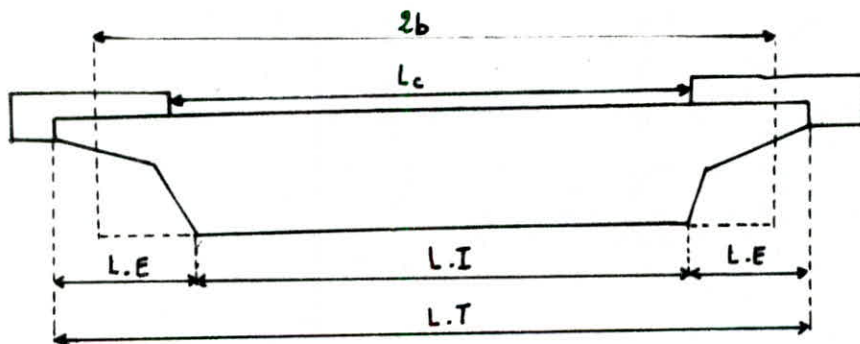
$$S = 13,770 \text{ m}^2$$

$$y_b = 0,653 \text{ m}$$

$$v_s = 0,547 \text{ m (fibre supérieure)}$$

$$v_i = 0,653 \text{ m (fibre inférieure)}$$

$$\text{d'où on tire : } 2b = 11,785 \text{ m}$$



L.I : largeur de l'intrados (nervure)

L.C : largeur chargeable

L.T : largeur totale utile de l'ouvrage

2b : largeur de la dalle rectangulaire équivalente

Les encorbellements doivent satisfaire aux critères suivants :

- La largeur de la nervure est supérieure à la moitié de la largeur utile totale de l'ouvrage $L.I > 0,5 L.T$
- La largeur droite de l'encorbellement le plus important n'excède pas 1/5 de la portée biaise déterminante $L.E < 0,2 L$
- La dalle rectangulaire équivalente élargie de 5% de chaque côté recouvrira entièrement la largeur surchargeable de la voie portée $2b \times 1,10 > L.C$

Vérification de ces conditions

$$L = 25,543 \text{ m} ; L_c = 10,25 \text{ m} ; L_I = 9,75 \text{ m} ; L_E = 2,40 \text{ m} ; L_T = 14,55 \text{ m} ; 2b = 11,785 \text{ m}$$

- $L_I = 9,75 \text{ m} > 0,5 L_T = 0,5 \times 14,55 = 7,275 \text{ m} \rightarrow \text{c'est vérifié'}$

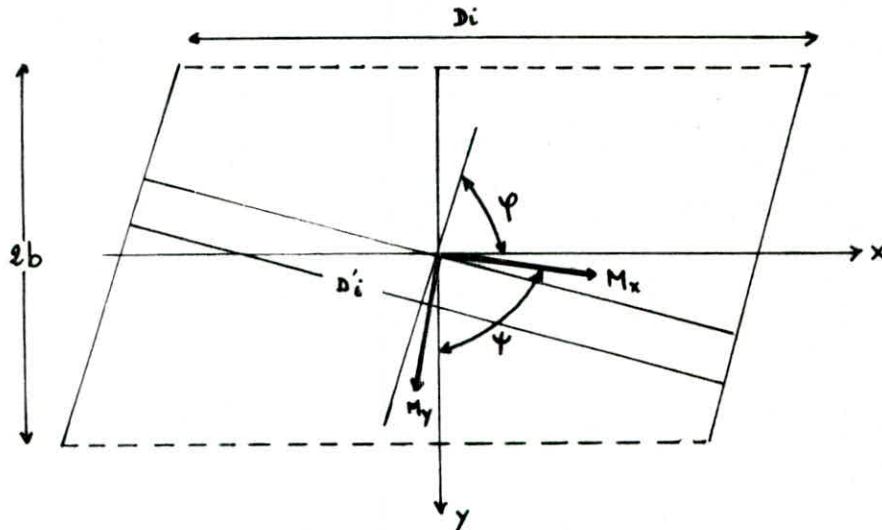
- $L_E = 2,40 \text{ m} < 0,20L = 0,2 \times 25,543 = 5,109 \text{ m} \rightarrow \text{c'est vérifié'}$

- $2b \times 1,10 = 11,785 \times 1,10 = 13,964 \text{ m} > L_c = 10,25 \text{ m} \rightarrow \text{c'est vérifié'}$

2) Etude du biais

- Biais géométrique Ψ : c'est l'angle que fait l'axe longitudinal du pont avec la largeur biaisee; $\Psi = 75,731 \text{ grad}$

- Biais mécanique Ψ : c'est l'angle que fait la largeur droite avec la direction du moment principal



Relation entre le biais géométrique et mécanique

$$\Psi = \Psi \quad \text{pour } \eta < 0,5$$

$$\Psi = \Psi + \frac{\eta - 0,5}{2,2} (100 - \Psi) \quad \text{pour } 0,5 \leq \eta \leq 2,7$$

$$\Psi = 100 \quad \text{pour } \eta > 2,7$$

avec $\eta = \frac{\text{Portée droite}}{\text{largeur droite}} = \frac{D_i \sin \Psi}{2b}$

Dans notre cas on a: $\Psi = 75,731 \text{ grad}$

$$\left. \begin{array}{l} D_i = 25,543 \text{ m} \\ 2b = 11,785 \text{ m} \end{array} \right\} \rightarrow \eta = 2,011$$

on a donc: $0,5 < \eta < 2,7 \rightarrow \Psi = \Psi + \frac{\eta - 0,5}{2,2} (100 - \Psi) \Rightarrow \Psi = 92,399 \text{ grad}$

CARACTÉRISTIQUES MÉCANIQUES DES MATERIAUX

I. Béton Armé

1) béton :

le béton est dosé à 450 kg/m^3 en ciment C.P.A 325 avec un contrôle strict. La résistance nominale de compression à 28 jours est $\sigma_n' = 350 \text{ bars}$ pour la dalle et $\sigma_n' = 270 \text{ bars}$ pour les culées. Dans le cas de la traction on a : $\sigma_n = \gamma + \frac{\delta}{100} \sigma_n'$ donc on a, $\sigma_n = 28 \text{ bars}$ pour la dalle et $\sigma_n = 23,2 \text{ bars}$ pour les culées

2) Contrainte de compression admissible (Art 9.4 CC8A 68)

$$\sigma_b' = f_b \sigma_n' \text{ avec } f_b' = \alpha \beta \gamma \delta E$$

(*) $\alpha = 1$ dépend de la classe du ciment utilisé (C.P.A. 325)

(*) $\beta = 1$ dépend de l'efficacité du contrôle (strict)

(*) $\gamma = 1$ dépend des épaisseurs relatives des éléments et des dimensions des granulats (grasseur des granulats ($g = 5/15 \text{ mm}$))

(**) δ dépend de la nature de la sollicitation

- compression simple $\rightarrow \delta = 0,3$

- flexion simple $\rightarrow \delta = 0,6$

- flexion composite $\rightarrow \delta = 0,6$ si l'effort normal est une traction

$$\delta = \begin{cases} 0,30(1 + \frac{e_0}{3c_1}) & \text{si } \delta < 0,6 \\ 0,6 & \text{si } \delta \geq 0,6 \end{cases}$$

où e_0 : excentricité de la force extérieure dans le plan radial passant par le centre de la section du béton seul

c_1 : rayon vecteur de même signe que e_0 , du noyau central située dans le même plan radial

(**) $E = 1 \rightarrow$ section rectangulaire soumise à la flexion simple ou la compression simple

- Contraintes admissibles en compression simple

$$\text{dalle : } \bar{\sigma}_b' = \alpha \cdot \beta \cdot \gamma \cdot \delta \cdot E \cdot \sigma_{2g}' = 1 \cdot 1 \cdot 1 \cdot 0,3 \cdot 1 \cdot 350 = 105 \text{ bars}$$

$$\text{culées : } \bar{\sigma}_b' = \alpha \cdot \beta \cdot \gamma \cdot \delta \cdot E \cdot \sigma_{2g}' = 1 \cdot 1 \cdot 1 \cdot 0,3 \cdot 1 \cdot 270 = 91 \text{ bars}$$

- Contraintes admissibles en flexion simple

$$\text{Dalle : } \bar{\sigma}_b' = \alpha \cdot \beta \cdot \gamma \cdot \delta \cdot E \cdot \sigma_{2g}' = 1 \cdot 1 \cdot 1 \cdot 0,6 \cdot 1 \cdot 350 = 210 \text{ bars}$$

$$\text{culées : } \bar{\sigma}_b' = \alpha \cdot \beta \cdot \gamma \cdot \delta \cdot E \cdot \sigma_{2g}' = 1 \cdot 1 \cdot 1 \cdot 0,6 \cdot 1 \cdot 270 = 162 \text{ bars}$$

b) Contraintes admissibles en traction

$$\bar{\sigma}_b = f_b \sigma_{28} \quad \text{avec } f_b = \alpha \cdot \beta \cdot \gamma \cdot \theta$$

α, β, γ ayant les mêmes significations et valeurs que précédemment et θ est lié à la résistance nominale du béton par la formule $\theta = 0,018 + \frac{s_1}{\sigma_{28}}$ (sollicitation du 1^{er} genre)

$$\text{Pour la dalle} \rightarrow \theta = 0,024 \implies \bar{\sigma}_b = 1.1.1.0,024.350 = 8,4 \text{ bars}$$

$$\text{Pour les culées} \rightarrow \theta = 0,026 \implies \bar{\sigma}_b = 1.1.1.0,026.270 = 6,96 \text{ bars}$$

2) Aciers

Aciers longitudinaux et transversaux : armatures à haute adhérence \rightarrow Acier E 40A

$$E 40A \rightarrow \sigma_{en} = \sigma_{en}^* = \begin{cases} 4120 \text{ bars} \\ 4200 \text{ kg/cm}^2 \quad \text{Pour } \phi \leq 20 \\ 3820 \text{ bars} \\ 4000 \text{ kg/cm}^2 \quad \text{Pour } \phi > 20 \end{cases}$$

- Contrainte de traction imposé par la condition de fissuration (Art 49.22 CCNA 68)

la valeur maximale de la contrainte de traction est limitée à la plus grande des valeurs suivantes exprimées en bars

$$\sigma_1 = k \frac{\eta}{\phi} \frac{\tilde{\omega}_f}{1 + 10\tilde{\omega}_f} \quad \text{contrainte de fissuration systématique}$$

$$\sigma_2 = 2,4 \sqrt{\frac{\eta}{\phi} k \cdot \bar{\sigma}_b} \quad \text{contrainte de fissuration accidentelle}$$

$\eta = 1,6$ ----- coefficient de fissuration pour les armatures H.A

$k = 1,10^6$ ----- pour une fissuration préjudiciable

ϕ ----- diamètre nominal exprimé en mm de la plus grosse des barres tendues

$\tilde{\omega}_f$ ----- pourcentage de fissuration défini par : $\tilde{\omega}_f = \frac{A_f}{B_f} = \frac{\text{section des armatures tendues}}{\text{aire de la section d'enrobage}}$

$\bar{\sigma}_b$ ----- contrainte de traction de référence du béton

pour limiter la fissuration on doit avoir $\bar{\sigma}_a \leq \min \left\{ \frac{2\eta}{3} \sigma_{en}, \max(\sigma_1, \sigma_2) \right\}$

II Béton Précontraint

1) introduction

les constructions précontraintes sont des constructions soumises à un système d'efforts permanents créé artificiellement dans le but de déterminer des contraintes permanentes qui, combinées avec les contraintes dues aux charges permanentes et surcharges, engendrent des contraintes totales comprises entre les limites que le matériau peut supporter indéfiniment en toute sécurité.

2) caractéristiques du béton

2) résistances nominales

A la compression : $\sigma_n' = \sigma_{28}' = 350$ bars

A la traction : $\sigma_n = \sigma_{28} = 28$ bars

b) contraintes admissibles

(*) contraintes de compression admissible en service : Elle est fixée au 42% de la résistance nominale à 28 jours

$$\bar{\sigma}' = 0,42\sigma_n' = 147 \text{ bars}$$

(*) contraintes de compression admissible en période de construction : Elle est fixée au 55% de la résistance nominale atteinte à ce même jour j $\bar{\sigma}_j' = 0,55\sigma_j'$

pour un âge supérieur à 28 jours, on adoptera pour σ_j , la valeur de résistance à 28 jours $\bar{\sigma}' = 0,55\sigma_n' = 192,5$ bars

(**) contrainte de traction admissible : $\bar{\sigma}_b = 0$ (nous n'admettrons aucune traction dans le béton
le béton est supposé non fissuré)

3) Modules de déformation du béton

(*) module de déformation instantané : $E_i = 21000\sqrt{\sigma_j'} = 21000\sqrt{350} = 392874$ bars

(**) module de déformation différée : $E_v = \frac{1}{3} E_i = 7000\sqrt{\sigma_j'} = 130958$ bars

4) caractéristiques des armatures de précontrainte

les câbles utilisés sont du type **7T15 DYWIDAG TOR III** tirés deux deux extrémités (actif - actif)

• Section utile d'un câble -----	$w = 9,73 \text{ cm}^2$
• Contrainte de rupture garantie -----	$R_G = 18000 \text{ kg/cm}^2$
• Contrainte caractéristique de déformation garantie -----	$T_G = 16000 \text{ kg/cm}^2$
• Module d'élasticité -----	$E_a = 2 \cdot 10^6 \text{ kg/cm}^2$
• Diamètre intérieur de la gaine d'un câble -----	$\phi_i = 6 \text{ cm}$
• Diamètre extérieur de la gaine d'un câble -----	$\phi_e = 6,7 \text{ cm}$
• Coefficient de frottement -----	$f = 0,2$
• Perte de tension relative par mètre -----	$\varphi = 0,0016 \text{ rd/m}$
• Perte par blocage d'ancre -----	$g = 7 \text{ mm}$
• Relaxation à 1000h -----	$f_{1000} = 0,03$
• Relaxation à 3000h -----	$f_{3000} = 0,035$

CHARGES ET SURCHARGES

les moments fléchissants sont calculés sous l'effet de :

- la charge permanente
 - Surcharge A et B
 - Surcharge M_c 120
- } selon fascicule n° 61 titre II

A. CHARGE PERMANENTE

le poids propre au mètre linéaire pour toute la dalle

$$\text{• Dalle : } S_{\text{totale}} \times f_b = \left[(10,05 \times 1,20) - 2 \cdot \frac{1}{2} 0,45 \times 0,6 + 2 \cdot \frac{0,35 \times 0,6}{2} \cdot 2 \times 25 \right] 2,5 = \dots \quad 34,425 \text{ t/mel}$$

$$\text{• Revêtement et chape : } (0,09 \times 10,25) 2 \times 2 = \dots \quad 1,804 \text{ t/mel}$$

$$\text{• trottoirs : } \left[2 \left[\frac{0,35 + 0,25}{2} \times 2,50 + 0,35 \times 0,20 \right] - 2 \pi \frac{0,1^2}{4} \right] 2,5 = \dots \quad 4,25 \text{ t/mel}$$

$$\text{• Garde corps : } 0,10 \times 2 = \dots \quad 0,2 \text{ t/mel}$$

$$\text{• Gliissière : } 0,06 \times 2 = \dots \quad 0,12 \text{ t/mel}$$

le poids total sera donc : $\underline{\underline{q_G = 40,8 \text{ t/mel}}}$

B. SURCHARGES

1) Caractéristiques propres du Pont

• le pont possède deux trottoirs donc la largeur roulable est égale à la largeur chargeable $L_R = L_c$

$$L_R = L_c = 10,25 \text{ m}$$

• le nombre de voies de circulation N est égal à la partie entière du rapport $L_c / 3$

$$N = E\left(\frac{L_c}{3}\right) = E\left(\frac{10,25}{3}\right) = 3 \longrightarrow 3 \text{ voies de circulation}$$

• classe du pont : $L_R = 10,25 \text{ m} > 7 \text{ m} \longrightarrow$ Pont de 1^{re} classe

$$\text{• largeur d'une voie : } v = \frac{L_c}{N} = \frac{10,25}{3} = 3,417 \text{ m}$$

2) Surcharge A (Art 4 du C.P.C.)

C'est une surcharge uniformément répartie, elle peut être disposée sur une ou plusieurs voies ainsi que sur une longueur L de façon à produire l'effort maximum. Cette longueur L est arrêtée par la ligne d'influence au droit de la section étudiée de façon à avoir l'aire maximum de la ligne d'influence.

$$A = a_1 \cdot a_2 \cdot A(L) \quad [\text{kg/mt}] \quad \text{avec } A(L) = 230 + \frac{36000}{L + 12}$$

- a_1 dépend de la classe du pont et du nombre de voies chargées

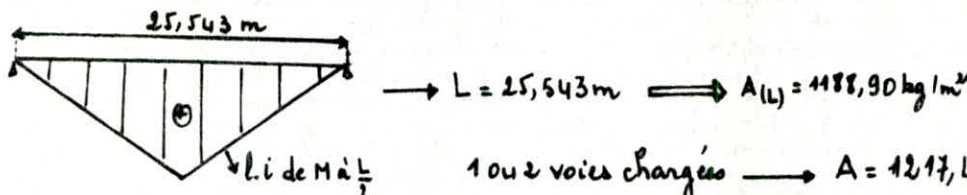
nombre de voies chargées	1	2	3
Pont de 1 ^{re} classe	1	1	0,9

- a_2 dépend du nombre de voies chargées

v_0 dépend de la classe du pont : Pont de 1^{re} classe $\rightarrow v_0 = 3,5$

v : largeur d'une voie $\rightarrow v = 3,417 \text{ m}$

$$a_2 = \frac{v_0}{v} = \frac{3,5}{3,417} = 1,024 \quad \rightarrow a_2 = 1,024$$

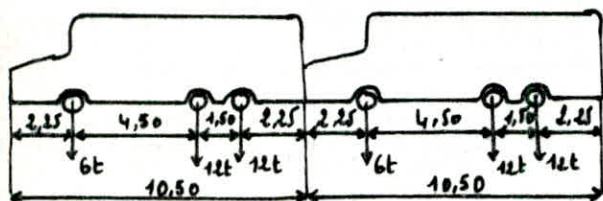


1 ou 2 voies chargées $\rightarrow A = 1217,43 \text{ kg/m}^2 = 1,21 \text{ t/m}^2$

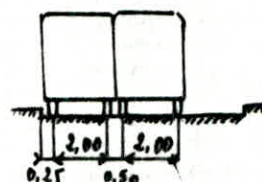
3 voies chargées $\rightarrow A = 1095,69 \text{ kg/m}^2 = 1,10 \text{ t/m}^2$

3) Surcharge B (Art 5 du C.P.C)

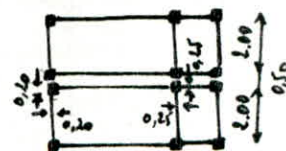
a) Système Bc longitudinalement



transversalement



en plan



On dispose sur la chaussée au plus autant de files ou de convois de camions que la chaussée comporte de voies de circulation et l'on place toujours ces files dans la situation la plus défavorable pour l'élément considéré. Dans le sens longitudinal, le nombre de camions par file est limité à deux. Dans le sens transversal chaque file est supposée circulant dans l'axe d'une bande longitudinale de 2,50m de largeur. Les Surcharges Bc seront multipliées par le coefficient bc donné en fonction du nombre de voies chargées et de la classe du pont.

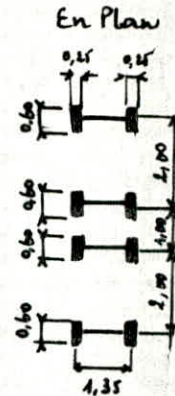
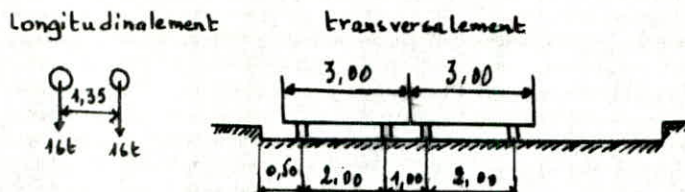
nombre de files considérées	1	2	3
Pont de 1 ^{re} classe	1,2	1,10	0,95

Dans notre cas on a trois (03) voies de circulation donc on peut y disposer trois (03) files de deux (02) camions du type Bc.

b) Système bt

Pour les Ponts supportant au moins deux voies, deux tandem au plus sont disposés de front sur la chaussée.

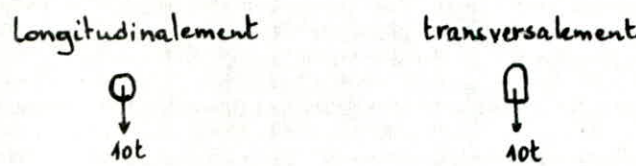
Au sens longitudinal un seul B_f , au sens transversal deux B_f au maximum.



La valeur de B_f doit être multipliée par le coefficient b_f qui dépend de la classe du pont

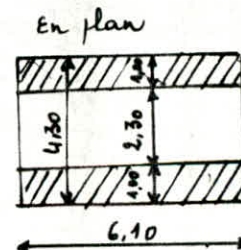
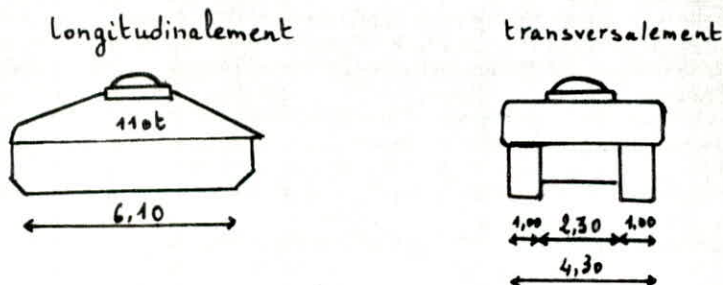
Pont de 1^{re} classe $\rightarrow b_f = 1,0$

c) Système B_f



Roue isolée de 10t, dont le rectangle d'impact dispose normalement à l'axe longitudinal de la chaussée, peut-être placée n'importe où sur la largeur roulable pour avoir l'effet le plus défavorable

4) Surcharge Militaire M_c 120



Les véhicules du système M_c 120 peuvent circuler en convoi ; dans le sens transversal un seul convoi est supposé circuler quelle que soit la largeur de la chaussée. Dans le sens longitudinal, le nombre des véhicules du convoi n'est pas limité et la distance des deux véhicules successifs est déterminée pour produire l'effet le plus défavorable, la distance libre entre leurs points de contact avec la chaussée devant être au moins égale à 30,50m.

5) Surcharges du trottoir

(*) on considérera sur le trottoir les surcharges suivantes

- Surcharges locales

. surcharge uniforme de 450 kg/m^2

. Une roue isolée de 6t de surface d'impact ($0,25 \times 0,25$) disposée de façon à avoir l'effet le plus défavorable

- Surcharges générales

. c'est une charge uniforme de 150 kg/m^2

(*) . pour l'étude de la flexion longitudinale on considérera les surcharges générales

. Pour la flexion transversale, on considérera les surcharges locales.

6) Calcul du coefficient de majoration dynamique (Art 5.5 du C.P.C)

Les charges du système B sont frappées de majorations dynamiques et le coefficient de majoration applicable aux trois systèmes B_c, B_t, B_r est le même pour chaque élément d'ouvrage. Le coefficient dynamique est déterminé par la formule

$$S = 1 + \frac{0,4}{1 + 0,2L} + \frac{0,6}{1 + 4 \frac{G}{S}}$$

L : longueur de l'élément exprimée en m $L = 25,543 \text{ m}$

G : charge permanente de l'élément $G = 1042,154 \text{ t}$

S : Surcharge maximale que l'on peut disposer sur le tablier. Cette surcharge est multipliée dans le cas du système B par b_c ou b_t

	Système B			$M_c 120$
	B_c	B_t	B_r	
S	$6 \times 30 \times 0,95 = 171 \text{ t}$	$2 \times 32 \times 1,0 = 64 \text{ t}$	10 t	110 t
S	1,079	1,075	1,067	1,081

METHODE DE GUYON ET MASSONNET

A- INTRODUCTION

Cette théorie a tout d'abord traité le cas des plaques minces, homogènes et isotropes. Par la suite elle a pu être appliquée aux calculs des dalles anisotropes et orthotropes. Pour rendre son application plus commode on transforme les charges réelles appliquées sur l'ouvrage en charges sinusoidales. Cette méthode approximative des coefficients de répartition est basée sur deux hypothèses principales

- La construction réelle est remplacée par une dalle orthotrope ayant les mêmes rigidités moyenne de flexion et de torsion, d'épaisseur constante et ayant les mêmes modules de Young (E_x, E_y)
- La répartition transversale réelle du chargement sera remplacée par celle qui naît sous une charge répartie le long de l'axe x de la construction suivant la sinusoidale de la forme $p(x) = p_1 \sin \frac{\pi x}{l}$ où p_1 c'est la valeur constante du chargement

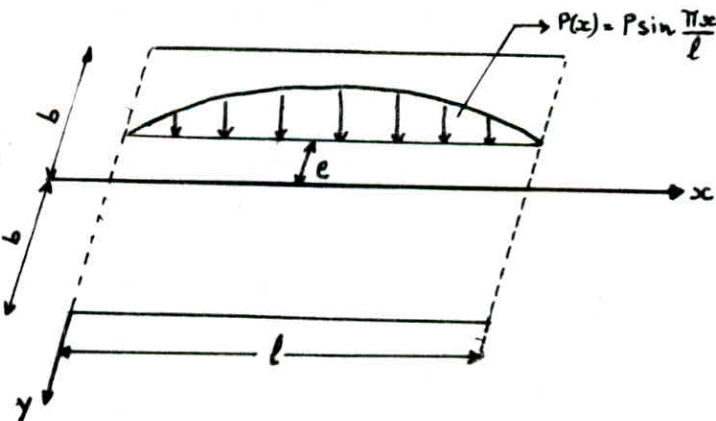
Les hypothèses citées n'influencent que le calcul de la répartition transversale de la charge. La répartition transversale une fois déterminée, les autres calculs obéissent aux règles ordinaires de la stabilité des constructions.

B- FLEXION LONGITUDINALE

$P(x)$: charge répartie suivant la sinusoidale dans le sens de la portée et répartie uniformément sur la largeur de la construction

Le moment de flexion longitudinal par unité de largeur dans la section x , produit par une charge linéaire réelle, sinusoidale dans le sens " x " et d'excentricité " e " est donnée par : $M_x(x, y) = K(y) M_0(x)$ où :

- $M_0(x)$: moment fléchissant longitudinal par unité de largeur produit par la charge $P(x)$ dans la section " x "
- $K(y)$: coefficient de répartition transversal



On définit ce coefficient ($K(y)$) comme étant le rapport du déplacement vertical $w(x, y)$ d'un point de la construction sous l'effet d'une charge linéaire $P(x)$ d'excentricité " e " à celui $w_0(x)$ du même point mais sous l'effet de la charge uniformément répartie sur la largeur ($2b$) du pont

$$K(y) = \frac{W(x,y)}{W_0(x)} = \frac{\frac{w(y) \sin \frac{\pi y}{l}}{W_0 \sin \frac{\pi x}{l}}}{\frac{w(y)}{W_0}} = \frac{w(y)}{W_0}$$

Le coefficient de répartition $K(x)$ dépend des paramètres suivants :

- Paramètre d'entretorsement θ
- Paramètre de torsion α
- l'excentricité relative e/b
- De l'ordonnée relative y/b du point considéré de la construction.

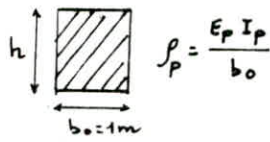
La flèche moyenne de la section transversale est donnée par $w_0 = \frac{1}{2b} \int_{-b}^b w(y) dy$. En divisant membre à membre cette égalité par w_0 et en introduisant la définition de K on aura : $\frac{1}{2b} \int_{-b}^b K(y) dy = 1$ ce qui signifie que l'ordonnée moyenne de la ligne d'influence de $K_m = \frac{w}{w_0} = 1$

(*) Détermination des paramètres sans dimensions

1) Paramètre d'entretorsement "θ"

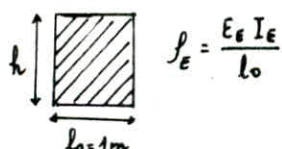
$$\theta = \frac{b}{l} \sqrt{\frac{f_p}{f_e}}$$

• rigidité flexionnelle par unité de longueur



$$f_p = \frac{E_p I_p}{b_0}$$

$$f_p = f_E \text{ et } I_p = I_E = \frac{1 \cdot h^3}{12} \text{ avec : } \begin{cases} h = 1,20 \text{ m} \\ b_0 = l_0 = 1 \text{ m} \end{cases}$$



$$f_E = \frac{E_E I_E}{l_0}$$

$$\theta = \frac{b}{l} = \frac{\text{demi largeur droite}}{\text{longueur biaise}} \Rightarrow \theta = \frac{11,785}{2 \times 25,543} = 0,230$$

2) Paramètre de torsion

$$\alpha = \frac{\gamma_p + \gamma_E}{2 \cdot \sqrt{f_p \cdot f_E}}$$

• rigidité torsionnelle par unité de longueur (γ_p, γ_E)

$$\gamma_p = \frac{C_p}{l_0} = G \frac{I_p^t}{l_0} \quad b_0 = 1 \text{ m} \longrightarrow \gamma_p = G \times \frac{I_p^t}{1 \text{ m}} \quad \left. \begin{array}{l} \\ \end{array} \right\} I_p^t = I_E^t = \frac{1 \times h^3}{6} = I$$

$$\gamma_E = \frac{C_E}{l_0} = G \frac{I_E^t}{l_0} \quad l_0 = 1 \text{ m} \longrightarrow \gamma_E = G \frac{I_E^t}{1 \text{ m}} \quad \Rightarrow \gamma_p = \gamma_E = G \cdot I$$

Dans le cas général, nous pouvons calculer par cette formule, le paramètre de torsion α . L'évaluation des rigidités de torsion γ_p, γ_E étant très difficiles, il faudrait introduire des hypothèses simplificatrices

et se contenter d'une valeur approximative de α

$$\alpha = \frac{\gamma_p + \gamma_E}{2\sqrt{f_E \cdot f_p}} = \frac{2\gamma_p}{2f_p} = \frac{Gh^3/6}{Eh^3/12} = \frac{2G}{E} \text{ avec } G = \frac{E}{2(1+\nu)} \quad \nu: \text{ coefficient de poisson}$$

$$\text{on prend une valeur de } \nu = 0,2 \implies \alpha = \frac{1}{1+\nu} \implies \alpha = 0,833$$

(*) Pour faire un calcul rigoureux du coefficient de répartition K , on doit appliquer les formules établies par SATTLER et qui dépendent de la valeur de θ

$$0 < \theta \leq 0,1 \implies K_\alpha = K_0 + (K_1 - K_0) \alpha^{0,05}$$

$$0,1 < \theta \leq 1 \implies K_\alpha = K_0 + (K_1 - K_0) \alpha^{(1 - e^{\frac{0,065-\theta}{0,663}})}$$

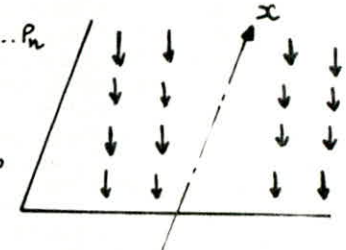
$$\theta > 1 \implies K_\alpha = K_0 + (K_1 - K_0) \sqrt{\alpha}$$

les valeurs $K_0 = K(\alpha=0; \theta; c/b; y/b)$ et $K_1 = K(\alpha=1; \theta; c/b; y/b)$ sont données par les tableaux de Massonet établis pour θ variant de 0 à 5

(*) charges concentrées

Supposons le pont chargé de plusieurs files parallèles de charges concentrées P_1, \dots, P_n .
chaque file sera représentée par la sinusoidale de la forme $P(x) = P_k \sin \frac{\pi x}{l}$
avec $k \in [1, n]$. Dans notre cas présent, toutes les charges sont égales dans le sens transversal (système B_c, B_t) donc :

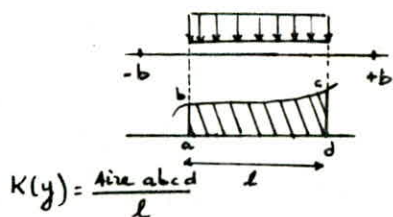
$$P_1 = P_2 = \dots = P_n = P \text{ d'où : } K(y) = \frac{\sum P_i K_i(y)}{\sum P_i} = \frac{P \sum K_i(y)}{nP} = \frac{\sum K_i(y)}{n}$$



(*) charges uniformément réparties

le calcul de $K(y)$ se fera par la formule des trapèzes et celle en divisant la construction dans le sens de la largeur en huit (08) bandes de même largeur.

$$K(y) = \frac{\text{Surface de la ligne d'influence due à la charge}}{\text{la largeur de la charge répartie}}$$



C. FLEXION TRANSVERSALE

le moment de flexion transversal par unité de largeur est donné par l'expression :

$$M_y(x, y) = \sum_{m=1}^{\infty} M_{y_m}(x, y) = \frac{1}{\sin \varphi} \sum_{m=1}^{\infty} \mu_{dm} P_m \cdot b \cdot \sin \frac{m \pi x}{l}$$

Le coefficient M_d s'exprime en fonction de M_0 et M_1 par les relations suivantes :

$$0 < \theta \leq 0,1 \longrightarrow M_d = M_0 + (M_1 - M_0) \alpha^{0,05}$$

$$0,1 < \theta \leq 1 \longrightarrow M_d = M_0 + (M_1 - M_0) \alpha^{\left(1 - \frac{0,065 - \theta}{0,663}\right)}$$

$$\theta > 1 \longrightarrow M_d = M_0 + (M_1 - M_0) \sqrt{\alpha}$$

- On se contente des cinq premiers termes d'un développement en série de Fourier d'où :

$$M_y(x, y) = \frac{1}{\sin \varphi} \sum_{m=1}^{\infty} M_{dm} P_m b \cdot \sin \frac{m\pi x}{l}$$

- le moment M_y est maximum au milieu de la portée ($x = l/2$) et dans ce cas on a : $M_2 = M_4 = 0$
- les valeurs $M_0 = M(d=0; \theta; e/b; y/b)$ et $M_1 = (d=1; \theta; e/b; y/b)$ sont données par les tableaux de Marsonnet en prenant θ pour le calcul de M_{d1} ; 30 pour le calcul de M_{d3} et 50 pour le calcul de M_{d5} avec :

$$\theta = \frac{\text{demi longeur hachuré}}{\text{portée droite}} = \frac{b}{l \sin \varphi} = 0,35$$

1) Cas de charges concentrées

On dispose les convois transversalement, dans un premier temps au droit des ordonnées positives des lignes d'influence de M_d ; pour avoir le moment maximum positif, puis au droit des ordonnées négatives des lignes d'influence de M_d pour avoir le moment maximum négatif

2) Cas de charge uniformément répartie

On emploie la même méthode que précédemment (calcul de K_d) en prenant pour valeur de M_d , l'aire de la partie correspondante de la ligne d'influence de M_d

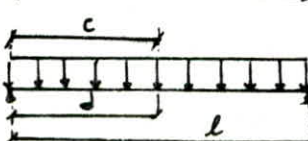
3) Cas de charges uniformément réparties sur un rectangle $2c \times 2c'$

On prend pour valeur de M_d , l'ordonnée moyenne de la ligne d'influence correspondant à la largeur $2c'$

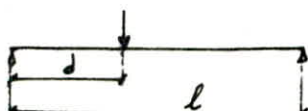
Détermination de P_m pour les différents cas de charges



$$P_m = \frac{4P}{m\pi} \sin \frac{m\pi c}{l} \sin \frac{m\pi d}{l}$$



$$P_m = \frac{4\pi}{m\pi} \sin^2 \frac{m\pi}{2}$$



$$P_m = \frac{2P}{l} \sin \frac{m\pi d}{l}$$

V. CALCUL DU COEFFICIENT K_α

On calculera K_α avec $\theta = 0,23$ et $\alpha = 0,833$

$$0,1 < \theta \leq 1 \rightarrow K_\alpha = K_0 + (K_1 - K_0) \alpha^{(1 - e^{\frac{0,663-\theta}{0,663}})}$$

les valeurs de K_0 et K_1 sont déterminées par interpolation entre les tableaux donnant K_0 et K_1 avec $\theta = 0,20$ et $\theta = 0,25$

(*) tableau donnant K_0 et K_1 pour $\theta = 0,23$ en fonction de l'excentricité "e" et l'ordonnée "y"

$y \backslash e$	-b	$-\frac{3}{4}b$	$-\frac{1}{2}b$	$-\frac{1}{4}b$	0	$\frac{1}{4}b$	$\frac{1}{2}b$	$\frac{3}{4}b$	b	
0	K_0	0,9784	0,9904	1,0016	1,0106	1,0144	1,0106	1,0016	0,9904	0,9784
	K_1	0,9852	0,9931	1,0009	1,0075	1,0104	1,0075	1,0009	0,9931	0,9852
$\frac{1}{4}b$	K_0	0,2354	0,4803	0,6251	0,8190	1,0106	1,1976	1,3781	1,5548	1,7304
	K_1	0,9291	0,9473	0,9673	0,9973	1,0075	1,0239	1,0347	1,0422	1,0494
$\frac{1}{2}b$	K_0	-0,5045	-0,1263	0,2491	0,6251	1,0016	1,3781	1,7527	2,1235	2,4927
	K_1	0,8765	0,9052	0,9353	0,9673	1,0009	1,0347	1,0662	1,0931	1,1175
$\frac{3}{4}b$	K_0	-1,2348	-0,6809	-0,1263	0,4303	0,9904	1,5548	2,1235	2,6945	3,2650
	K_1	0,9292	0,8662	0,9052	0,9473	0,9931	1,0422	1,0931	1,1436	1,1915
b	K_0	-1,9672	-1,2347	-0,5045	0,2354	0,9784	1,7304	2,4927	3,2650	4,0439
	K_1	0,7945	0,8292	0,8765	0,9291	0,9852	1,0484	1,1175	1,1915	1,2623

(*) tableau donnant les valeurs du coefficient K_α en fonction de l'excentricité "e" et l'ordonnée "y"

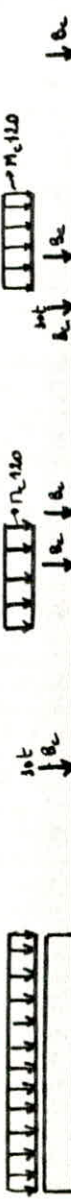
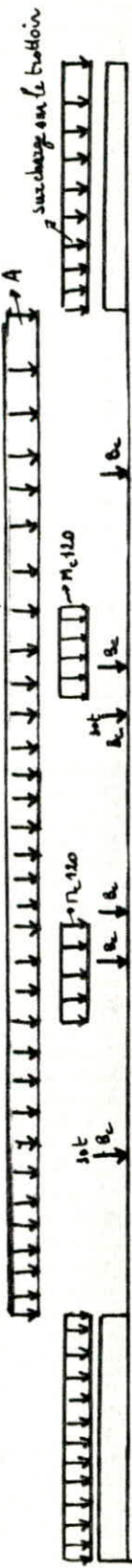
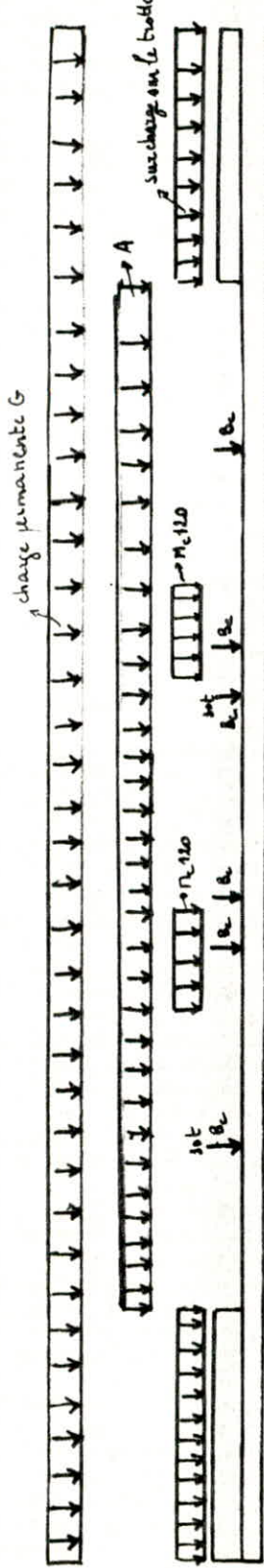
$y \backslash e$	-b	$-\frac{3}{4}b$	$-\frac{1}{2}b$	$-\frac{1}{4}b$	0	$\frac{1}{4}b$	$\frac{1}{2}b$	$\frac{3}{4}b$	b
0	0,9849	0,9930	1,0009	1,0076	1,0106	1,0076	1,0009	0,9930	0,9849
$\frac{b}{4}$	0,9011	0,9271	0,9540	0,9872	1,0076	1,0307	1,0481	1,0622	1,0750
$\frac{b}{2}$	0,7229	0,8650	0,9095	0,9540	1,0009	1,0481	1,0930	1,1333	1,1711
$\frac{3b}{4}$	0,487	0,8059	0,8650	0,9271	0,9930	1,0622	1,1333	1,2041	1,2724
b	0,6732	0,7487	0,8227	0,9011	0,9749	1,0350	1,1711	1,2724	1,3765

les valeurs du coefficient K_a trouvées, nous permettrons de tracer les lignes d'influences pour les différentes valeurs de "y". On disposera à chaque fois les charges et surcharges de la manière la plus défavorable afin d'obtenir les valeurs maximales du coefficient K_a . Nous tracerons les lignes d'influences pour les différentes fibres ($y=0$; $y=b/4$; $y=b/2$; $y=3b/4$; $y=b$). Les positions transversales des différentes surcharges sont représentées sur les graphes.

(*) tableau donnant les différentes valeurs du coefficient K_a correspondant à chaque type de chargement

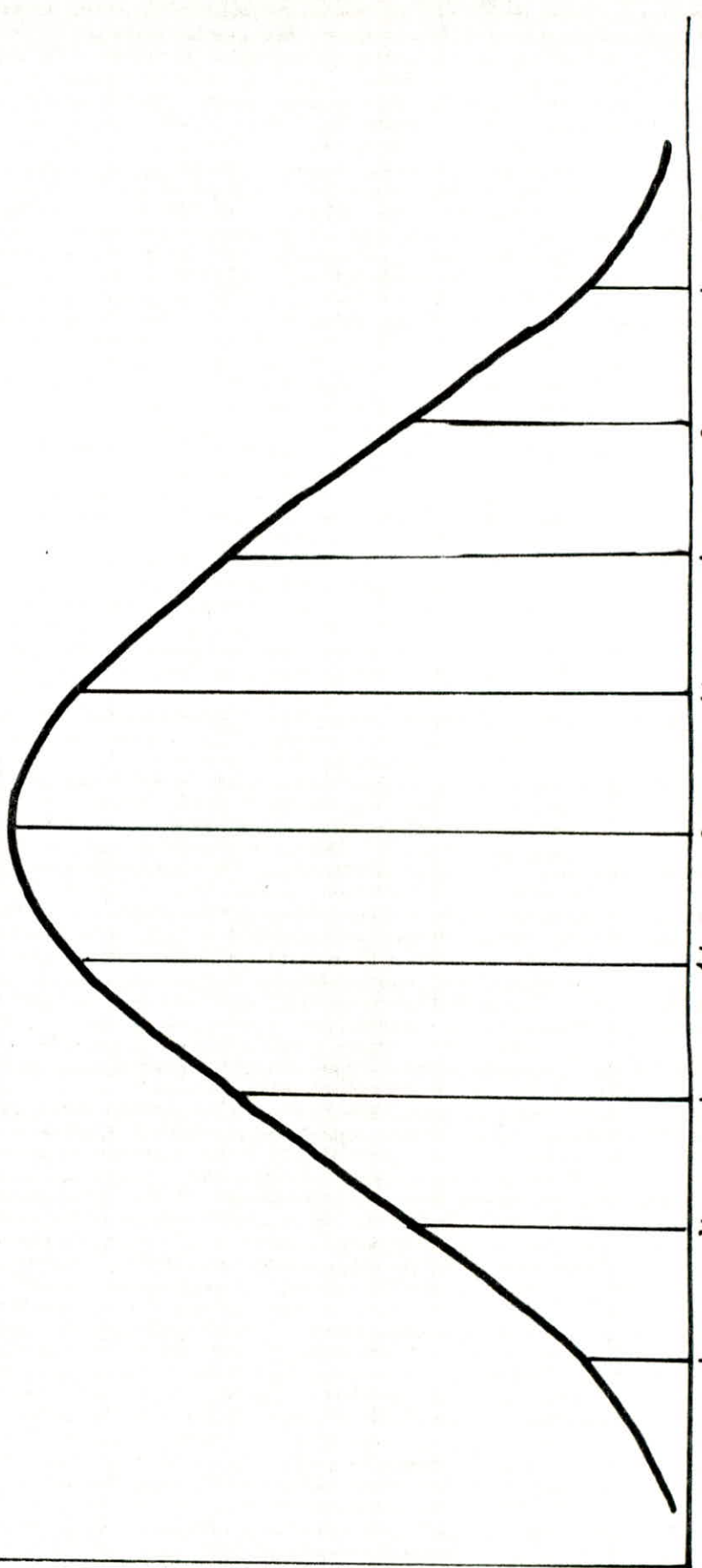
<i>charge</i>	<i>y</i>	0	$\frac{1}{4}b$	$\frac{1}{2}b$	$\frac{3}{4}b$	b
G		1	1	1	1	1
B_c	1 convoi	1,0094	1,0561	1,1139	1,1680	1,2333
	2 convois	1,0074	1,0417	1,0767	1,1098	1,1490
	3 convois	1,0054	1,0234	1,0382	1,0532	1,0746
A	1 voie	1,0096	1,0656	1,1314	1,1560	1,1951
	2 voies	1,0065	1,0316	1,0668	1,0703	1,0994
	3 voies	1,0026	1,0167	1,0069	0,9962	1,0029
$M_c 120$		1,0069	1,0453	1,0883	1,1272	1,1688
1 trottoir chargé		0,9718	1,0780	1,1779	1,2951	1,4078
2 trottoirs chargés		0,9718	0,9843	0,9991	1,0165	1,0346

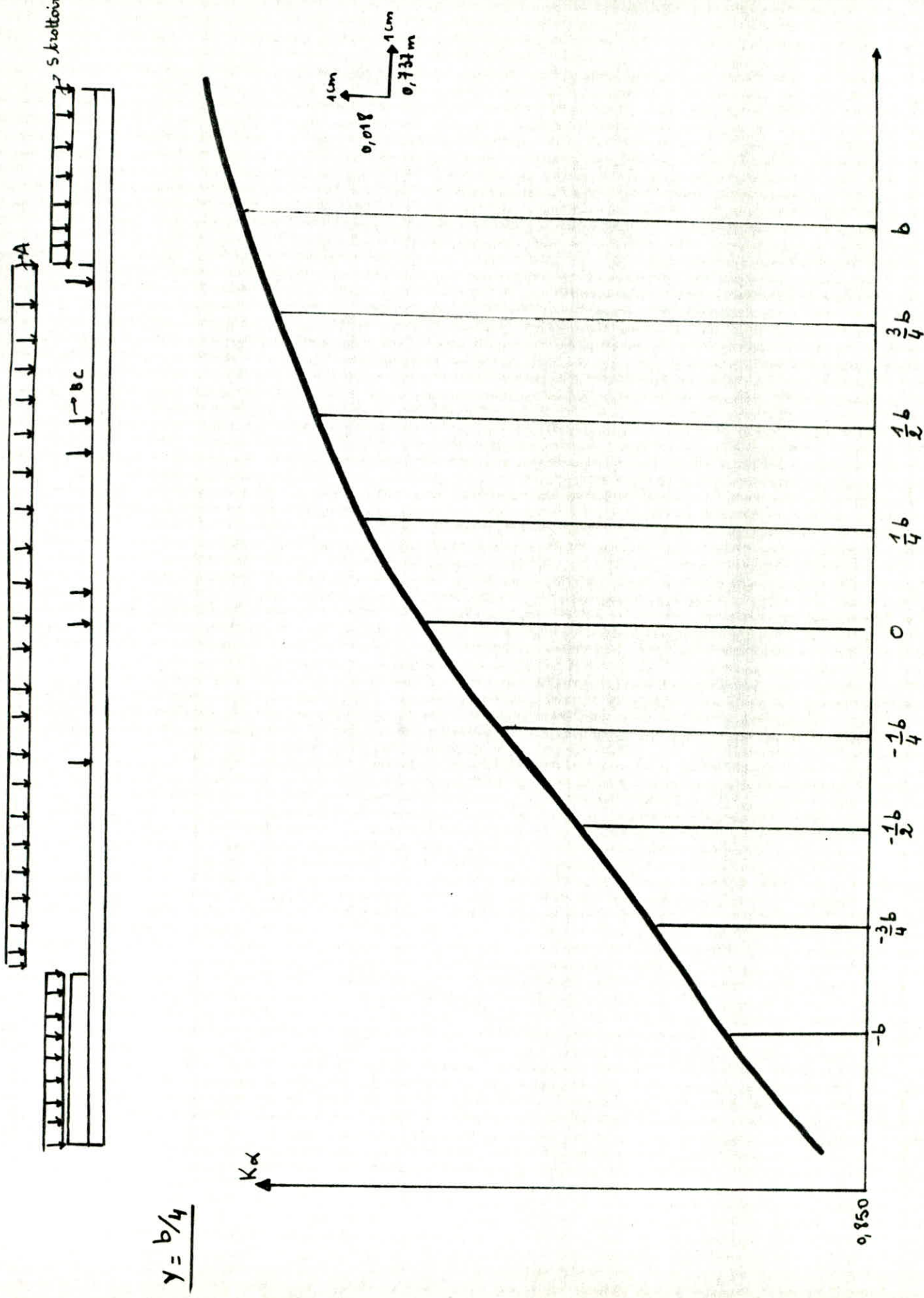
les valeurs de K_a trouvées seront prise en compte pour le calcul des moments longitudinaux dans différentes sections.

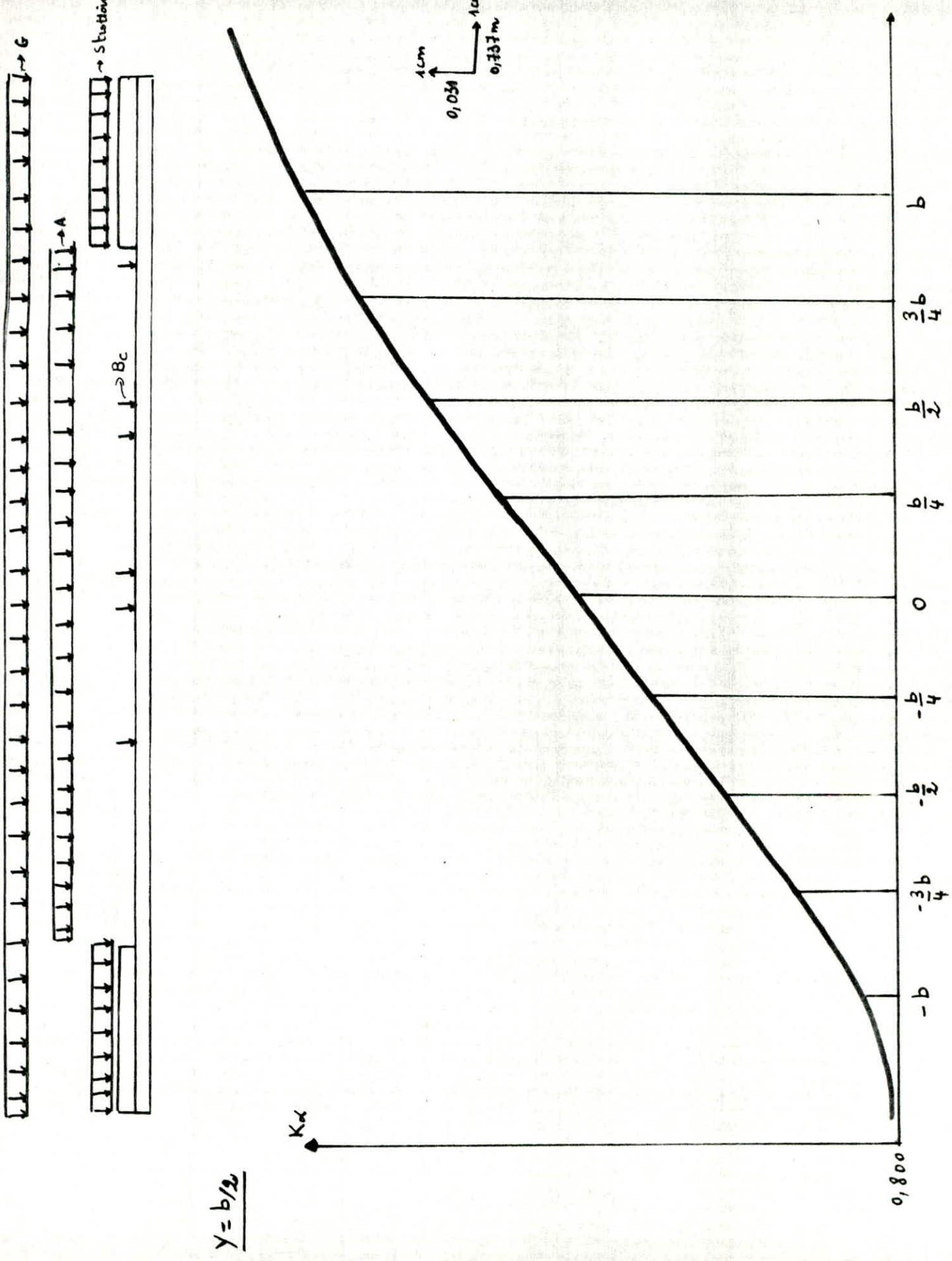


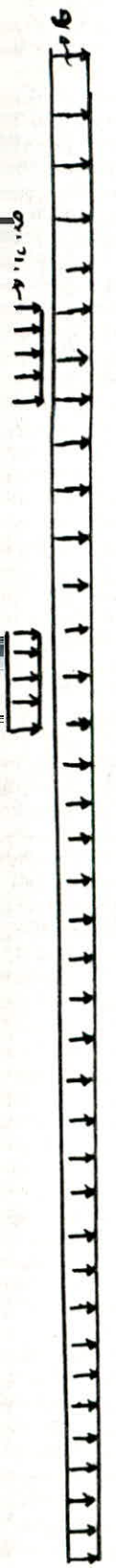
$$\underline{y = 0}$$

1 cm
0,980



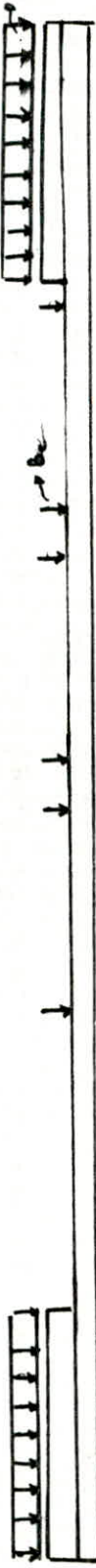






A

S. Notion

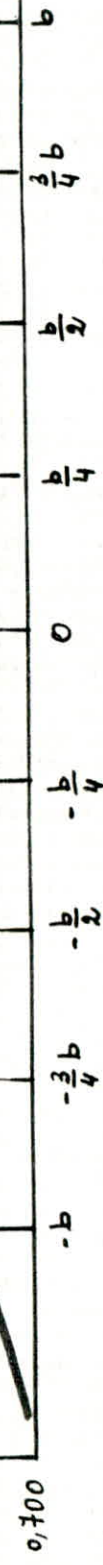


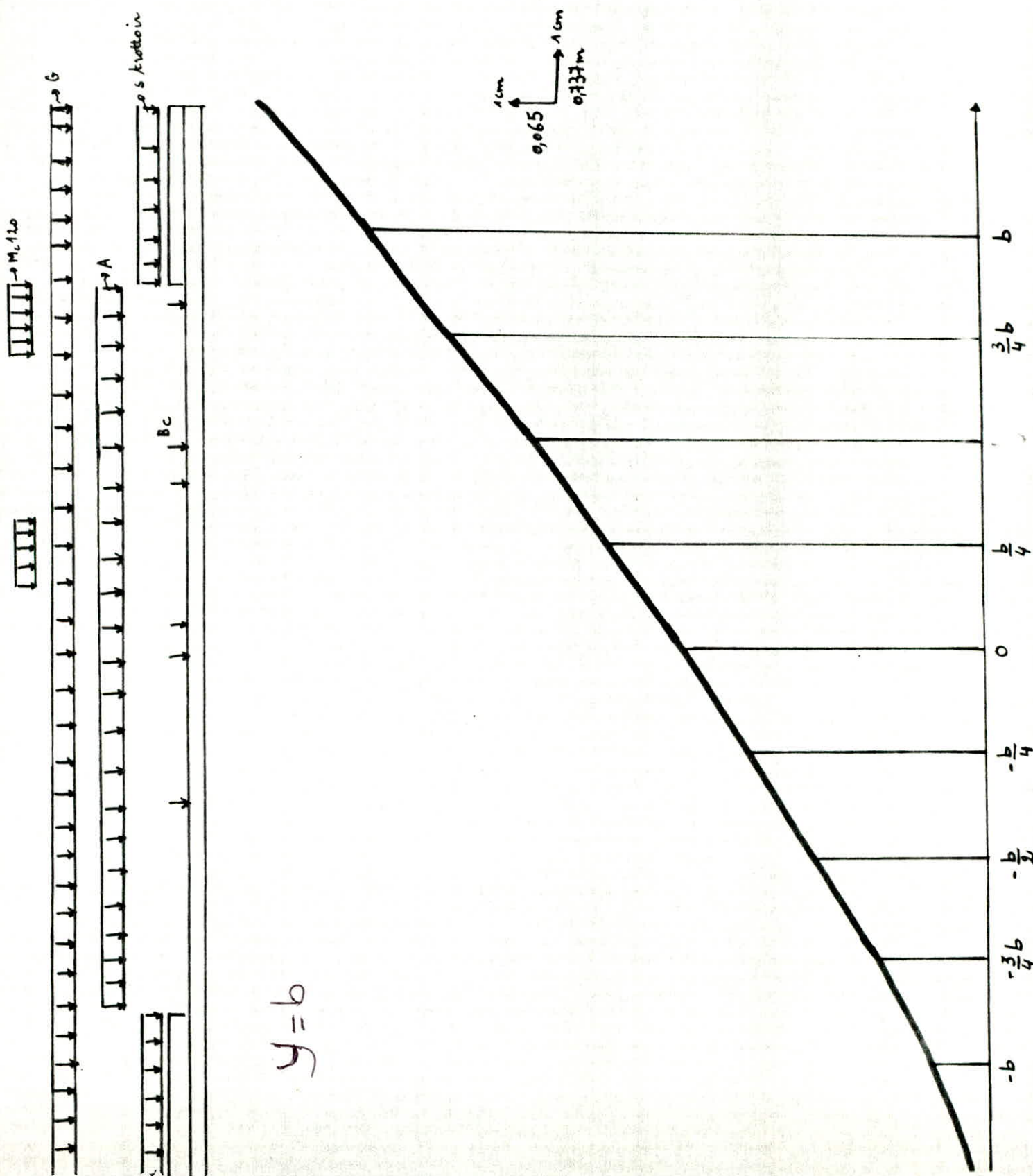
$$\gamma = \frac{3}{4} b$$

K₄

K₄

1cm
0,048
0,737m





CALCUL DES EFFORTS LONGITUDINAUX SOUS L'EFFET DES CHARGES ET SURCHARGES

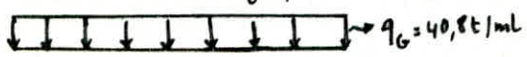
(*) Dans le cas des Ponts dalles à large encorbellement du type PSI.DP69, les moments prépondérants sont obtenus sous les surcharges suivantes :

- Poids propre de la superstructure
- Surcharge uniformément répartie A
- Surcharge Bc
- Surcharge militaire M_c 120
- Surcharge du trottoir

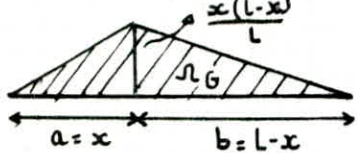
(*) on déterminera les moments et les efforts tranchants pour les sections suivantes :
 0L (à l'appui) ; 0,1L ; 0,2L ; 0,3L ; 0,4L ; 0,5L où L est la portée de notre travée

A. CALCUL DES MOMENTS LONGITUDINAUX

1) Sous la charge permanente G :



$$\mathcal{R}_G = \frac{1}{2} L \cdot x \cdot \frac{L-x}{2} = \frac{x(L-x)}{2}$$



$$M_G = q_G \cdot \mathcal{R}_G$$

$a = x \text{ (m)}$	0	0,1L	0,2L	0,3L	0,4L	0,5L
$M_G \text{ (t.m)}$	0	1197,989	2129,580	2795,074	3194,370	3327,469

2) Sous l'effet de la surcharge A

1 ou 2 voies chargées $\rightarrow A = 1,21 \text{ t/m}^2$

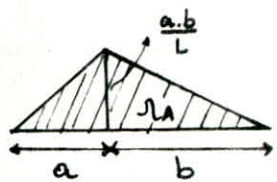
3 voies chargées $\rightarrow A = 1,10 \text{ t/m}^2$

Nous tracerons la ligne d'influence pour chaque section à étudiée et nous déterminerons le moment au droit de celle-ci

1 voie chargée $\rightarrow q = A \cdot l_v = 1,21 \cdot 3,447 = 4,135 \text{ t/ml}$

2 voies chargées $\rightarrow q = 2 \cdot A \cdot l_v = 2 \cdot 1,21 \cdot 3,447 = 8,269 \text{ t/ml}$

3 voies chargées $\rightarrow q = 3 \cdot A \cdot l_v = 3 \cdot 1,10 \cdot 3,447 = 11,276 \text{ t/ml}$



$$M = q \cdot \mathcal{R}_A \text{ (t.m)}$$

a (m)	0	0,1L	0,2L	0,3L	0,4L	0,5L
b (m)	L	0,9L	0,8L	0,7L	0,6L	0,5L
A_A (m^2)	0	29,360	52,196	68,507	78,293	81,556
M (t.m) 1 voie chargée	0	121,404	215,829	283,276	323,743	337,134
M (t.m) 2 voies chargées	0	242,778	431,609	566,484	647,405	674,387
M (t.m) 3 voies chargées	0	331,063	588,563	772,485	882,832	919,625

3) Sous l'effet de la surcharge B_C

a) détermination de la section dangereuse:

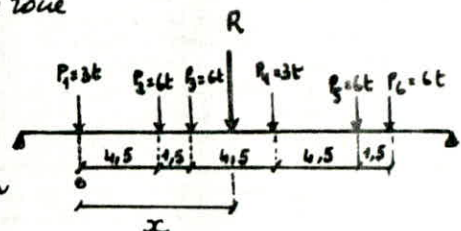
Pour déterminer cette section, on applique le théorème de BARRE : $\sum_{k=1}^{n-1} P_k \leq \frac{R}{2} \leq \sum_{k=1}^n P_k$

Cette relation nous permet de trouver la charge sous laquelle la section est dangereuse. On placera symétriquement à la résultante R par rapport à la section médiane.

Remarque: pour le calcul, on considère une seule file de roue

$$\sum V = 0 \rightarrow R = 30$$

$$\sum M/0 = 0 \rightarrow R \cdot x = 6 \cdot 4,5 + 6 \cdot 6 + 3 \cdot 10,5 + 6 \cdot 15 + 6 \cdot 16,5 \rightarrow x = 9,45 \text{ m}$$



En utilisant la relation de BARRE pour chaque surcharge P_i , nous obtenons les résultats suivants

$$i=1 \quad (P_1) \rightarrow 0 \leq 15 \leq 3 \text{ faux}$$

$$i=4 \quad (P_4) \rightarrow 15 \leq 15 \leq 18 \text{ vrai}$$

$$i=2 \quad (P_2) \rightarrow 3 \leq 15 \leq 9 \text{ faux}$$

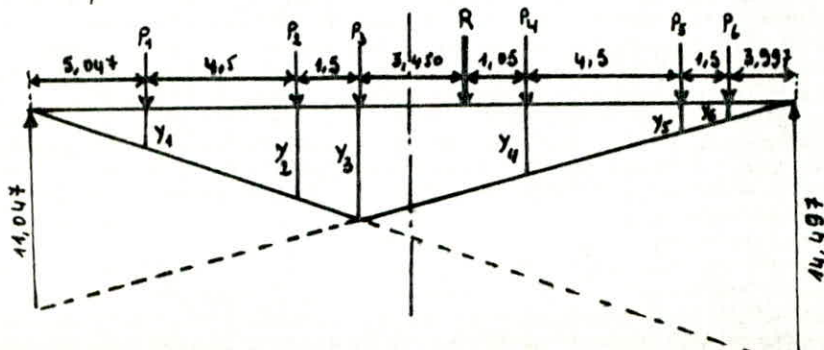
$$i=5 \quad (P_5) \rightarrow 19 \leq 15 \leq 24 \text{ faux}$$

$$i=3 \quad (P_3) \rightarrow 9 \leq 15 \leq 15 \text{ vrai}$$

$$i=6 \quad (P_6) \rightarrow 24 \leq 15 \leq 30 \text{ faux}$$

Il apparaît que l'une des deux charges P_3 ou P_4 qui peuvent produire le moment maximum.

a) on place P_3 symétriquement à R par rapport à la médiane



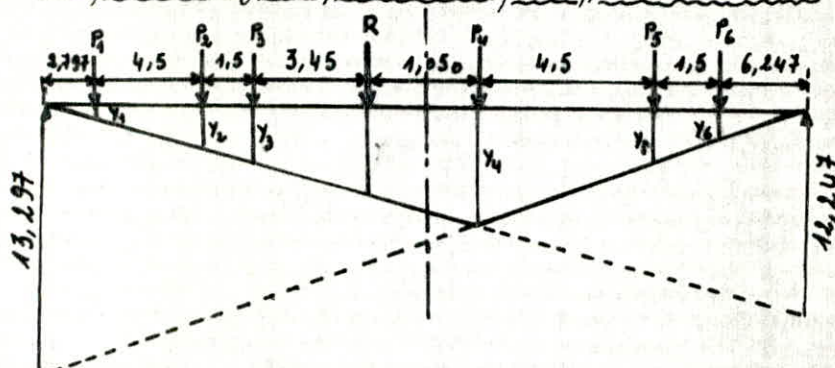
$$\begin{aligned} y_1 &= 2,864 & y_4 &= 4,324 \\ y_2 &= 5,418 & y_5 &= 2,377 \\ y_3 &= 6,270 & y_6 &= 1,729 \end{aligned}$$

Pour 1 voie chargée : $M^{\max} = 2 \sum P_i y_i = 232,656 \text{ t.m}$

Pour 2 voies chargées : $M^{\max} = 4 \sum P_i y_i = 465,312 \text{ t.m}$

Pour 3 voies chargées : $M^{\max} = 6 \sum P_i y_i = 697,968 \text{ t.m}$

b) Nous placons P_4 symétriquement à R par rapport à la médiane



$$y_1 = 1,341$$

$$y_4 = 6,375$$

$$y_2 = 3,499$$

$$y_5 = 4,033$$

$$y_3 = 4,218$$

$$y_6 = 3,258$$

Pour 1 voie chargée : $M^{\max} = 2 \sum P_i y_i = 232,656 \text{ t.m}$

Pour 2 voies chargées : $M^{\max} = 4 \sum P_i y_i = 465,312 \text{ t.m}$

Pour 3 voies chargées : $M^{\max} = 6 \sum P_i y_i = 697,960 \text{ t.m}$

On conclut donc que le moment maximum est provoqué par la charge $P_3 = 6 \text{ t}$ à la section $x = 11,047 \text{ m}$, c'est la section dangereuse recherchée

b) Calcul des moments sous Bc pour les différentes sections

Une charge P_i au droit d'une section à une distance " a " de l'appui gauche provoque un moment maximum, si elle vérifie les deux inéquations suivantes

$$\frac{1}{a} \sum_{\alpha=1}^i P_\alpha \geq \frac{1}{b} \sum_{\alpha=i+1}^n P_\alpha \quad \text{lorsque } P_i \text{ est placée à gauche de la section}$$

$$\frac{1}{a} \sum_{\alpha=1}^{i-1} P_\alpha < \frac{1}{b} \sum_{\alpha=i}^n P_\alpha \quad \text{lorsque } P_i \text{ est placée à droite de la section}$$

(*) Au droit de la section se situant à $0,1L$ ($a = 0,1L = 2,5543 \text{ m}$, $b = 0,9L = 22,9987 \text{ m}$)

$$P_1 = 6t \begin{cases} \frac{6}{2,5543} = 2,349 > \frac{24}{22,9987} = 1,044 \\ \frac{0}{2,5543} = 0 < \frac{30}{22,9987} = 1,305 \end{cases} \rightarrow \text{Vrai}$$

$$P_4 = 6t \begin{cases} \frac{24}{2,5543} = 9,221 \geq \frac{9}{22,9987} = 0,391 \\ \frac{15}{2,5543} = 5,872 < \frac{9}{22,9987} = 0,658 \end{cases} \rightarrow \text{faux}$$

$$P_2 = 6t \begin{cases} \frac{12}{2,5543} = 4,698 \geq \frac{19}{22,9987} = 0,773 \\ \frac{6}{2,5543} = 2,349 < \frac{24}{22,9987} = 1,044 \end{cases} \rightarrow \text{faux}$$

$$P_5 = 6t \begin{cases} \frac{27}{2,5543} = 10,570 \geq \frac{3}{22,9987} = 0,130 \\ \frac{21}{2,5543} = 8,221 < \frac{9}{22,9987} = 0,391 \end{cases} \rightarrow \text{faux}$$

$$P_3 = 3t \begin{cases} \frac{15}{2,5543} = 5,872 \geq \frac{16}{22,9987} = 0,656 \\ \frac{18}{2,5543} = 7,048 < \frac{19}{22,9987} = 0,773 \end{cases} \rightarrow \text{faux}$$

$$P_6 = 3t \begin{cases} \frac{30}{2,5543} = 11,745 > 0 \\ \frac{24}{2,5543} = 9,570 < \frac{3}{22,9987} = 0,130 \end{cases} \rightarrow \text{faux}$$

Seule la surcharge $P_1 = 6t$ est susceptible de provoquer un moment maximum au droit de la section 0,1L

De la même manière, nous déterminerons pour chaque section la surcharge P_i qui au droit de celle-ci provoque un moment maximum.

Section	0,1L	0,2L	0,3L	0,4L	0,5L
P_i	$P_1 = 6t$	$P_1 = 6t$	$P_2 = 6t$	$P_3 = 6t$	$P_3 = 3t$

(*) Dans le tableau suivant, nous résumons les résultats des moments maximum en différentes section sous l'effet des surcharges B_c pour les positions les plus défavorables

Section	M_{\max} (t.m) 6 files de roues
0,1L	 $y_1 = 2,299 \quad y_4 = 1,249$ $y_2 = 2,149 \quad y_5 = 1,099$ $y_3 = 1,699 \quad y_6 = 0,649$ 286,920
0,2L	 $y_1 = 4,087 \quad y_4 = 1,987$ $y_2 = 3,787 \quad y_5 = 1,687$ $y_3 = 4,887 \quad y_6 = 0,787$ 481,860
0,3L	 $y_1 = 4,314 \quad y_4 = 2,664$ $y_2 = 5,364 \quad y_5 = 2,214$ $y_3 = 4,094 \quad y_6 = 0,864$ 611,820
0,4L	 $y_1 = 5,230 \quad y_4 = 2,530$ $y_2 = 6,130 \quad y_5 = 1,930$ $y_3 = 4,330 \quad y_6 = 0,930$ 649,800
0,5L	 $y_1 = 3,386 \quad y_4 = 4,136$ $y_2 = 4,136 \quad y_5 = 3,386$ $y_3 = 6,386 \quad y_6 = 1,136$ 676,980

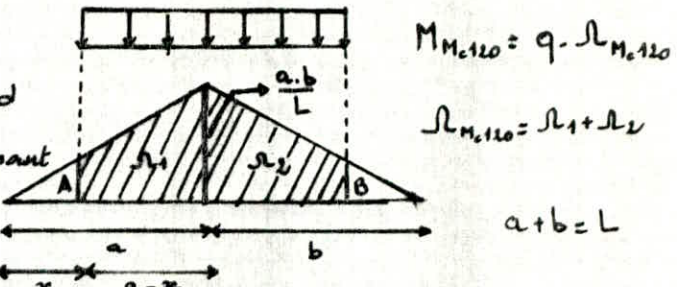
(**) Nous résumons dans ce tableau les différentes valeurs des moments

Section	0	0,1L	0,2L	0,3L	0,4L	0,5L	Sur dangerouse 0,432L
1 convolu; $b_{c1}=1,6$ $\delta=1,076$	0	123,490	207,393	263,327	279,674	291,372	300,405
$M_{\max} \times \delta \times b_c$ 2 convolu; $b_{c2}=1,1$ $\delta=1,076$	0	223,082	383,047	496,356	516,548	538,154	554,737
3 convolu; $b_{c3}=0,95$ $\delta=1,076$		296,933	498,508	632,958	672,251	700,370	722,093

4) Sous l'effet de la surcharge $M_c 120$

le poids total des chenilles pour un véhicule $M_c 120$ est de 110 t sur une longueur de 6,10 m

$$q = \frac{110}{6,10} = 18,033 \text{ t/m}$$



Pour chaque section (Position "a") correspond une disposition ("X") de la surcharge $M_c 120$ donnant une aire $R_{M_c 120}$. On déterminera l'aire $R_{M_c 120}$ donnant le moment $M_{M_c 120}^{max}$

(*) détermination de la valeur "x" donnant la valeur $R_{M_c 120}^{max}$ en fonction de a, b

$$\text{on pose: } \frac{a \cdot b}{L} = \alpha$$

$$R_1 = \left(A + \frac{a \cdot b}{L} \right) \left(\frac{a-x}{2} \right) \rightarrow R_1 = (A+\alpha) \left(\frac{a-x}{2} \right)$$

$$R_2 = \left(B + \frac{a \cdot b}{L} \right) \left(\frac{x+6,1-a}{2} \right) \rightarrow R_2 = (B+\alpha) \left(\frac{x+6,1-a}{2} \right)$$

$$\text{triangles semblables} \rightarrow \frac{A}{x} = \frac{\alpha}{a} \Rightarrow A = \frac{\alpha}{a} x \quad \text{et} \quad \frac{B}{L-6,1-x} = \frac{\alpha}{b} \Rightarrow B = \frac{\alpha(L-6,1-x)}{b}$$

$$\text{ce qui donne: } R_1 = \left(\frac{\alpha}{a} x + \alpha \right) \left(\frac{a-x}{2} \right) \rightarrow R_1 = \frac{\alpha}{2} \left[\frac{(a+x)(a-x)}{a} \right]$$

$$R_2 = \left[\frac{\alpha}{b} (L-6,1-x) + \alpha \right] \left(\frac{x+6,1-a}{2} \right) \rightarrow R_2 = \frac{\alpha}{2} \left(\frac{19,443-x}{b} + 1 \right) (x+6,1-a)x$$

$$R_{M_c 120} = R_1 + R_2 = \frac{\alpha}{2} \left[\frac{a^2-x^2}{a} + \left(\frac{19,443+b-x}{b} \right) (6,1+x-a) \right]$$

pour que $R_{M_c 120}$ soit maximale, il faut que: $\frac{dR}{dx} = 0$

$$\frac{dR}{dx} = \frac{\alpha}{2} \left[-\frac{2x}{a} + \left(\frac{19,443+b-x}{b} \right) - \frac{6,1+x-a}{b} \right]$$

$$\frac{dR}{dx} = 0 \rightarrow -\frac{2x}{a} + \frac{19,443+b-x}{b} - \frac{6,1+x-a}{b} = 0$$

$$\text{d'où: } x = \frac{19,433a}{a+b} \rightarrow x = \frac{19,433}{1+\frac{b}{a}}$$

(*) tableau donnant les valeur des moments sous l'effet de $M_{t2,0}$ aux différentes sections

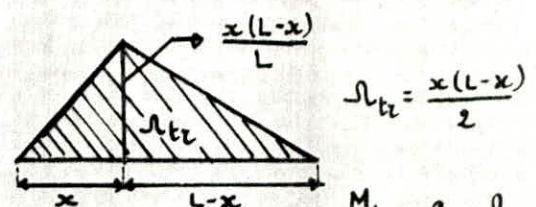
Section	0.L	0,1L	0,2L	0,3L	0,4L	0,5L
a (m)	0	2,5543	5,1086	7,6629	10,2172	12,7715
b (m)	25,543	22,9887	20,4544	17,9801	15,3258	12,7715
b/a	0	9	4	2,3330	1,5	1
X	0	1,9443	3,8886	5,8330	7,7720	9,7215
$\Delta M_{t2,0}$	0	12,349	21,953	28,8140	32,9300	34,302
M (kNm)	0	222,683	395,881	549,5940	593,8220	618,565
$M \times S$	0	240,721	427,948	561,6820	614,9220	668,669

5) Sous les surcharges du trottoir

$$q_t = 0,15 \text{ t/m}^2$$

$$1 \text{ trottoir chargé } (2,15 \text{ m}) \rightarrow q_t = 0,15 \cdot 2,15 = 0,3225 \text{ t/m}^2$$

$$2 \text{ trottoirs chargés} \rightarrow q_t = 2 \cdot 0,15 \cdot 2,15 = 0,645 \text{ t/m}^2$$



$$M_{t2} = q_t \cdot \Delta_{t2}$$

(*) tableau donnant les moments aux différentes sections

Section x (m)	0.L	0,1 L	0,2 L	0,3 L	0,4 L	0,5L
$\Delta_{t2} (\text{m}^2)$	0	29,360	52,196	68,507	78,293	80,981
M_{t2} (kNm)	0	9,469	16,833	22,093	25,250	26,116
g trottoir chargé	0	18,937	33,666	44,187	50,499	52,233

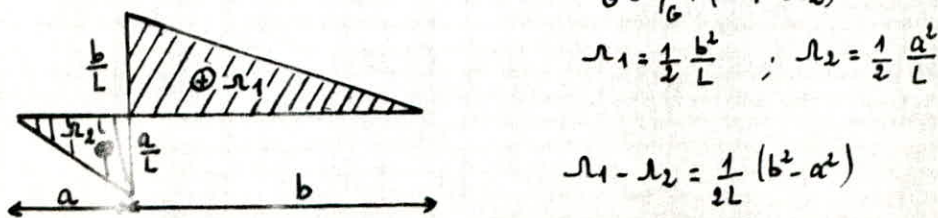
B. CALCUL DES EFFORTS TRANCHANTS

1) Sous la charge permanente G



$$T_G = q_G \times (\lambda_1 - \lambda_2)$$

$$\lambda_1 = \frac{1}{2} \frac{b^2}{L} ; \quad \lambda_2 = \frac{1}{2} \frac{a^2}{L}$$

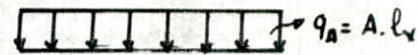


a (m)	0.L	0,1L	0,2 L	0,3 L	0,4 L	0,5 L
b (m)	L	0,9L	0,8L	0,7L	0,6L	0,5L
Δ_1 (m^2)	12,772	10,343	8,174	6,258	4,598	3,193
Δ_2 (m^2)	0	0,128	0,511	1,149	2,043	3,193
$\Delta_1 - \Delta_2$	12,772	10,215	7,663	5,109	2,555	0
T (t)	512,098	416,772	312,650	208,447	104,244	0

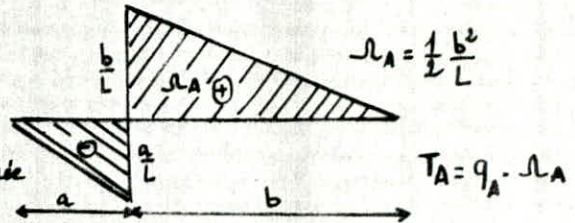
2) Sous la surcharge A

$$A = a_1 \cdot a_2 \cdot A(L) \quad [\text{kg/m}^2] \quad \text{avec } A(L) = 230 + \frac{36000}{L+12}$$

1 ou 2 voies chargées ($a_1 = 1$; $a_2 = 1,024 \rightarrow A = 1,024 A(L)$)



3 voies chargées ($a_1 = 0,9$; $a_2 = 1,024 \rightarrow A = 0,922 A(L)$)



Pour obtenir le cas le plus défavorable, on doit charger uniquement l'aire positive de la ligne d'influence à la portion considérée

$$\text{avec: } T_A = q_A \cdot \Delta_A$$

$$1 \text{ voie chargée} \rightarrow q_A = A(1) \cdot b_v$$

$$2 \text{ voies chargées} \rightarrow q_A = A(2) \cdot 2 b_v \quad (b_v = 3,417 \text{ m})$$

$$3 \text{ voies chargées} \rightarrow q_A = A(3) \cdot 3 b_v$$

a (m)	0.L	0,1L	0,2 L	0,3 L	0,4 L	0,5 L
$L = b$ (m)	25,543	22,989	20,434	17,880	15,326	12,772
$A(L)$ [kg/m^2]	1188,9	1258,895	1339,946	1434,819	1651,464	1693,254
A (kg/m^2)	1 voie chargée	1247,434	1289,108	1372,105	1469,255	1691,099
	2 voies chargées	1247,434	1289,108	1372,105	1469,255	1691,099
	3 voies chargées	1096,966	1160,701	1235,430	1322,903	1522,650
q_A t/m^2	1 voie chargée	4,160	4,405	4,698	5,020	5,778
	2 voies chargées	8,320	8,810	9,377	10,041	11,612
	3 voies chargées	11,237	11,798	12,664	13,561	15,609
Δ_A (m^2)	1 voie chargée	12,772	10,345	8,174	6,258	4,598
	2 voies chargées	106,263	94,139	76,648	62,837	53,592
	3 voies chargées	143,519	123,085	103,516	84,865	71,770
T_A (t)	1 voie chargée	53,134	45,570	38,320	31,415	26,567
	2 voies chargées	106,263	94,139	76,648	62,837	53,592
	3 voies chargées	143,519	123,085	103,516	84,865	71,770

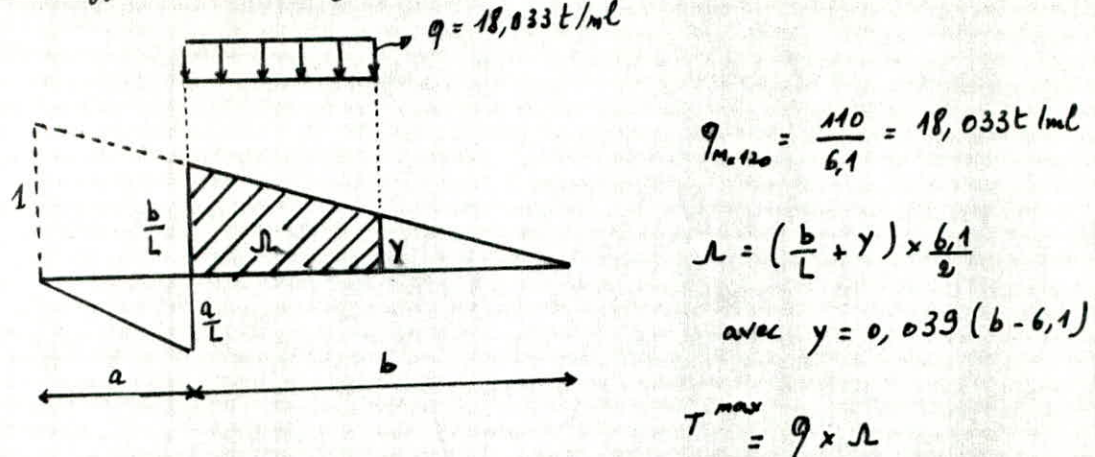
3) Sous l'effet de la surcharge B_c

Section	Position défavorable						$T^{\max} (t)$ 3 intervalles	
0, L		$y_1 = 1$	$y_4 = 0,589$	$y_2 = 0,941$	$y_5 = 0,530$	$y_3 = 0,765$	$y_6 = 0,354$	130,302
0, 1 L		$y_1 = 0,9$	$y_4 = 0,489$	$y_2 = 0,841$	$y_5 = 0,430$	$y_3 = 0,665$	$y_6 = 0,254$	112,302
0, 2 L		$y_1 = 0,8$	$y_4 = 0,389$	$y_2 = 0,741$	$y_5 = 0,330$	$y_3 = 0,565$	$y_6 = 0,154$	94,302
0, 3 L		$y_1 = 0,7$	$y_4 = 0,289$	$y_2 = 0,641$	$y_5 = 0,230$	$y_3 = 0,465$	$y_6 = 0,054$	76,302
0, 4 L		$y_1 = 0,6$	$y_4 = 0,189$	$y_2 = 0,541$	$y_5 = 0,130$	$y_3 = 0,365$	$y_6 = 0$	59,130
0, 5 L		$y_1 = 0,5$	$y_4 = 0,089$	$y_2 = 0,441$	$y_5 = 0,030$	$y_3 = 0,265$	$y_6 = 0$	42,930

(*) Tableau résumant les valeurs de l'effort tranchant majoré sous la surcharge B_c

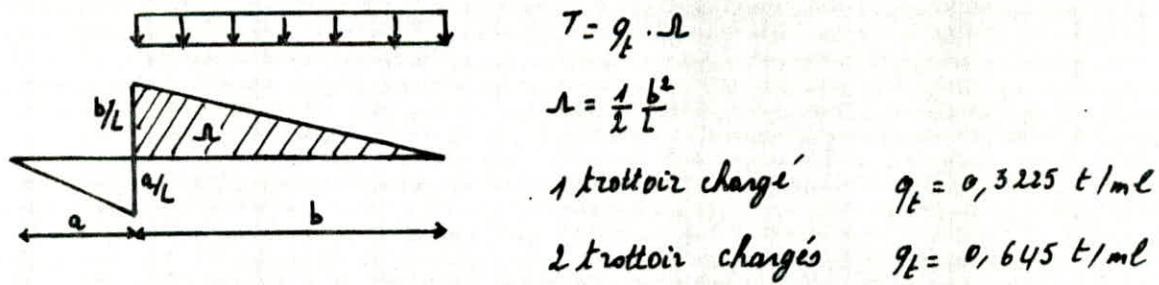
Section	0, L	0, 1 L	0, 2 L	0, 3 L	0, 4 L	0, 5 L	
$T = T^{\max} \cdot S \cdot b_c$	$S = 1,076$ $b_c = 1,2$ 1 interval	56,082	48,335	40,588	32,840	25,450	18,477
	$S = 1,084$ $b_c = 4,1$ 2 intervalles	108,581	89,273	74,964	60,655	47,004	34,126
	$S = 1,093$ $b_c = 0,95$ 3 intervalles	131,804	116,182	97,560	78,938	61,173	44,413

4) Sous l'effet de la surcharge $M_c 120$



$a \text{ (m)}$	0, L	0, 1 L	0, 2 L	0, 3 L	0, 4 L	0, 5 L
$b \text{ (m)}$	25,543	22,989	20,434	17,880	15,326	12,772
$y \text{ (m)}$	0,758	0,659	0,559	0,459	0,360	0,260
R	5,362	4,755	4,145	3,535	2,928	2,318
$T^{\max} \text{ (t)}$	96,693	85,747	74,747	63,747	52,801	41,800
$T = T^{\max} \cdot S$	104,525	92,693	80,802	68,911	57,078	45,186

5) Sous l'effet de trottoirs



$a \text{ (m)}$	0, L	0, 1 L	0, 2 L	0, 3 L	0, 4 L	0, 5 L
$b \text{ (m)}$	L	0,9L	0,8L	0,7L	0,6L	0,5L
$R \text{ (m²)}$	12,772	10,345	8,174	6,258	4,598	3,19
T_{b_2} (t)	1 trottoir chargé	4,119	3,336	2,686	2,018	1,483
	2 trottoirs chargés	8,238	6,673	5,272	4,036	2,966
						2,05

(*) tableau donnant les valeurs des moments fléchissants majorés dans les différentes sections pour l'effet des différents cas de charges et surcharges

chargement Section	G	A	Bc	M _c 120	trottoir
0. L	0	0	0	0	0
0,1 L	1197,889	381,063	296,833	240,721	18,937
0,2 L	2129,580	588,562	498,508	427,947	33,666
0,3 L	2795,074	772,485	632,958	561,682	44,187
0,4 L	3194,370	882,832	672,251	614,922	50,499
0,5 L	3327,469	919,625	700,370	668,669	52,233
Section dangereuse 0,432L = 4,047 m	3266,801	902,854	722,083	656,447	51,644

(*) tableau donnant les moments longitudinaux, en tenant compte du coefficient de répartition transversal correspondant à chaque cas de charge et surcharge

chargement Section	G	A	Bc	M _c 120	trottoir
K _a	1	1,0167	1,0746	1,1688	1,0346
0. L	0	0	0	0	0
0,1 L	1197,889	336,592	318,977	281,355	19,592
0,2 L	2129,580	598,391	535,697	500,186	34,831
0,3 L	2795,074	785,385	690,177	656,494	45,716
0,4 L	3194,370	897,575	722,401	718,721	52,246
0,5 L	3327,469	934,983	752,618	781,540	54,040
Section dangereuse 0,432L = 4,047 m	3266,801	917,932	775,950	767,255	53,431

PRECONTRAINTE

A. INTRODUCTION

Dans notre cas nous avons une dalle que l'on peut assimiler à une poutre en T reposant sur deux appuis libres, les moments M_G et M_Q sont maximums positifs dans la zone centrale et vont en diminuant vers les appuis où ils s'annulent ; il convient donc dans ce cas que le moment de précontrainte soit maximal et négatif dans la zone centrale et diminue en allant vers les appuis où il devra approximativement s'annuler.

On procédera par post-tension, c'est à dire précontrainte par câbles tendus après durcissement du béton.

Dans la partie centrale : la totalité des câbles est placée à l'excentricité maximale négative. Entre la partie centrale et l'appui, une zone de relevage des câbles, donc une diminution de la valeur absolue de l'excentricité par relevage du centre de gravité de l'ensemble des câbles, d'où une diminution progressive du moment de précontrainte $M_p = N \cdot e$

A l'appui : les câbles sortent ordinairement sur la face d'about, suivant une répartition à peu près uniforme de façon que leur centre de gravité coïncide approximativement avec le centre de gravité de la section, ainsi l'excentricité étant presque nulle, le moment de précontrainte s'annule à l'appui
(*) calcul des différentes contraintes

Il faut vérifier que dans tous les états de charges, les contraintes totales en tout point de la section restent comprises entre les limites admissibles $\bar{\sigma}$ (compression) et $\bar{\sigma}'$ (traction) d'où :

$$\text{service à vide} \quad \left\{ \begin{array}{l} \text{- fibre supérieure } \sigma = \sigma_p + \sigma_G \\ \text{- fibre inférieure } \sigma' = \sigma'_p + \sigma'_G \end{array} \right\} \quad \bar{\sigma}' \leq \sigma \leq \bar{\sigma}$$
$$\text{service à charge} \quad \left\{ \begin{array}{l} \text{- fibre supérieure } \sigma = \sigma_p + \sigma_G + \sigma_Q \\ \text{- fibre inférieure } \sigma' = \sigma'_p + \sigma'_G + \sigma'_Q \end{array} \right\} \quad \bar{\sigma}' \leq \sigma' \leq \bar{\sigma}$$

B. CALCUL DE LA PRECONTRAINTE

1) caractéristiques géométriques

$$\left. \begin{array}{l} I_x = 1,697 \text{ m}^4 \\ V_i = 0,653 \text{ m} \\ V_s = 0,547 \text{ m} \\ S = 13,770 \text{ m}^3 \end{array} \right\} \quad i^2 = \frac{I}{S} = 0,123239 \text{ m}^2$$

2) Contraintes sous l'effet du poids propre G:

- Sur la fibre supérieure $\sigma_G = + \frac{M_G \cdot V_i}{I_x} = + \frac{3347,469 \cdot 10^5 \times 54,7}{1,697 \cdot 10^8} = 107,26 \text{ kg/cm}^2$ (compression)
- Sur la fibre inférieure $\sigma'_G = - \frac{M_G \cdot V_i}{I_x} = - \frac{3347,469 \cdot 10^5 \times 65,3}{1,697 \cdot 10^8} = - 128,04 \text{ kg/cm}^2$ (traction)

3) contraintes sous l'effet des surcharges (A+trottoir)

- Sur la fibre supérieure $\sigma_Q = + \frac{M_Q \cdot V_i}{I_x} = + \frac{(334,973 + 54,040) \cdot 10^5 \times 54,7}{1,697 \cdot 10^8} = 31,880 \text{ kg/cm}^2$
- Sur la fibre inférieure $\sigma'_Q = - \frac{M_Q \cdot V_i}{I_x} = - \frac{(334,973 + 54,040) \cdot 10^5 \times 65,3}{1,697 \cdot 10^8} = - 38,057 \text{ kg/cm}^2$

Pour ne pas avoir de contrainte de traction, il convient que la précontrainte en service provoque sur la fibre inférieure une contrainte supérieure à $\sigma'_Q + \sigma'_G$ donc : $\sigma_P \geq \sigma'_Q + \sigma'_G$

4) contrainte sous précontrainte

- Sur la fibre supérieure $\sigma_P = \frac{N}{B} \left(1 + \frac{e \cdot V_i}{i^2} \right)$
- Sur la fibre inférieure $\sigma'_P = \frac{N}{B} \left(1 + \frac{e \cdot V'_i}{i^2} \right)$

$$\text{avec } e = -(V_i - d) \quad (V_i = v_i)$$

et $6 \text{ cm} \leq d \leq 15 \text{ cm}$, d : distance du point de passage de la résultante des forces de précontrainte à la force la plus voisine \rightarrow on prend $d = 11,5 \text{ cm}$

$$\text{ce qui nous donne } e = -(65,3 - 11,5) = -53,8 \text{ cm}$$

$$i^2 = \frac{I}{B} = 1232,39 \text{ cm}^2$$

$$\sigma'_P = \frac{N}{B} \left(1 - \frac{e \cdot V'_i}{i^2} \right) \geq \sigma'_G + \sigma'_Q \implies N \geq \frac{B(\sigma'_G + \sigma'_Q)}{\left(1 - \frac{e \cdot V'_i}{i^2} \right)} = \frac{13,77 \cdot 10^4 (128,04 + 38,057)}{\left(1 + \frac{53,8 \times 65,3}{1232,39} \right)} = 5939,627 \text{ t}$$

$$\implies N \geq 5939,627 \text{ t}$$

Nous estimons les pertes à 25% alors on aura: $N \geq 7424,534 \text{ t}$

$P = \min(0,75 F_{Rg}, 0,925 F_{Tg})$ avec P : force maximale à l'ancre

En prenant des câbles de 7T15, la section d'un câble est $w = 9,73 \text{ cm}^2$

$$P = \min(0,95 \cdot 18000 \cdot 9,73 \cdot 10^{-3}, 0,925 \cdot 16000 \cdot 9,73 \cdot 10^{-3}) \implies P = 144 \text{ t} \text{ (par câble)}$$

ce qui nous donne comme nombre de câbles n :

$$n = \frac{N}{P} = \frac{7424,534}{144} = 51,56$$

On prend $n = 52$ câbles de 7T15 $\implies N = 52 \cdot 144 = 7488 \text{ t}$

5) tracé du câble

On utilisera deux mappes de 26 câbles chaînes, le tracé du câble sera parabolique pour les deux mappes de façon à avoir une excentricité nulle à l'about et une autre maximale à la section médiane. Pour le câble équivalent, vu que le moment des charges permanentes et surcharges est maximal au milieu, et décroît progressivement pour s'annuler aux abouts

- équation de la parabole : $y = ax^2$

- détermination du coefficient "a"

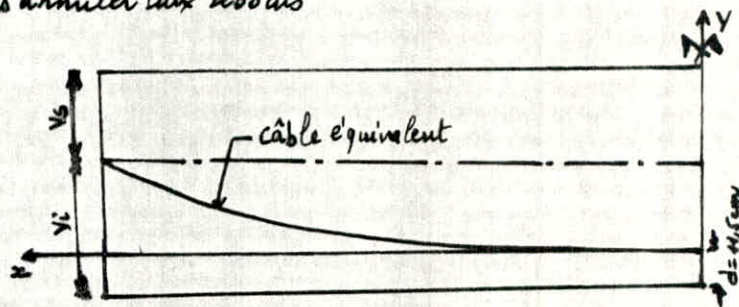
on a $y = e$ pour $x = \frac{L}{2}$, en remplaçant dans l'équation on aura : $e = a\left(\frac{L}{2}\right)^2 \Rightarrow e = a\frac{L^2}{4}$

$$\Rightarrow a = \frac{4e}{L^2}$$

donc on aura l'équation : $y = \frac{4e}{L^2}x^2$

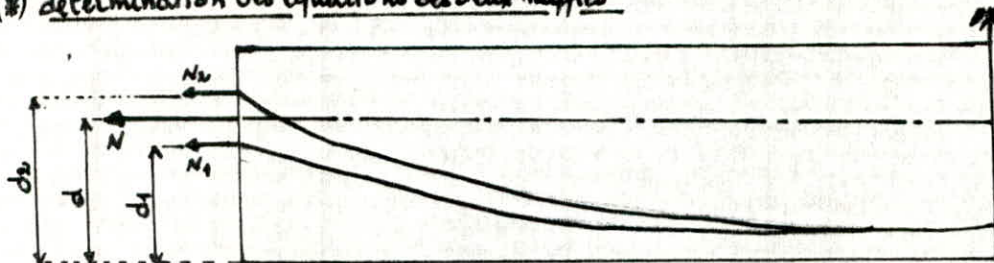
- $\operatorname{tg} \alpha = \frac{dy}{dx} = y' = \frac{8e}{L^2}x \Rightarrow \alpha = \arctg \frac{8e}{L^2}x$

- $d = y + 11,5$ avec $y = \frac{4 \cdot 53,8}{(25,543)^2 \cdot 10^4} x^2 = 32,983 \cdot 10^{-6} x^2$



section	0	0,1 L	0,2 L	0,3 L	0,4 L	0,5 L
x (cm)	1277,15	1021,72	766,29	510,86	255,43	0
y (cm)	53,799	34,431	19,368	8,608	2,152	0
α ($^{\circ}$)	4,816	3,856	2,894	1,930	0,965	0
d (cm)	65,30	45,931	30,868	20,108	13,652	11,50

(*) détermination des équations des deux mappes



- équilibre des moments : $N \cdot d = N_1 d_1 + N_2 d_2$ avec $N_1 = N_2 = \frac{N}{2} = 26 P$ et $N = 52 P$

$$N_1 = N_2 = 26 \cdot 144 = 3744 t$$

- $d_1 > 18,5 \text{ cm}$ (enrobage minimum à l'about) on prend $d_1 = 50 \text{ cm}$ de telle sorte qu'il soit à l'intérieur

du fuseau limite

$$\cdot d_2 = \frac{52d - 26d_1}{26} = \frac{52 \cdot 65,3 - 26 \cdot 50}{26} = 80,6 \text{ cm}$$

- équation des câbles de la 1^{re} nappe:

$$y_1 = \frac{4(d_1 - 11,5)}{L^2} x^2 = \frac{4(60 - 11,5)}{25,545^2} x^2 \implies y_1 = 23,603 \cdot 10^{-6} x^2$$

$$\alpha_1 = \arctg(47,207 \cdot 10^{-6} x)$$

- équation des câbles de la 2^{me} nappe:

$$y_2 = \frac{4(d_2 - 11,5)}{L^2} x^2 = \frac{4(80,6 - 11,5)}{25,545^2} x^2 \implies y_2 = 42,363 \cdot 10^{-6} x^2$$

$$\alpha_2 = \arctg(84,727 \cdot 10^{-6} x)$$

nous avons $\left. \begin{array}{l} N_1 \text{ agit sur la 1^{re} nappe} \\ N_2 \text{ agit sur la 2^{me} nappe} \end{array} \right\} N = N_1 \cos \alpha_1 + N_2 \cos \alpha_2 ; N \text{ agit sur la nappe équivalente}$

Section	0	0,1L	0,2L	0,3L	0,4L	0,5L
x (cm)	1277,15	1021,72	766,29	510,86	255,43	0
y ₁ (cm)	38,499	24,639	13,860	6,160	1,540	0
y ₂ (cm)	69,099	44,223	24,876	11,056	2,764	0
α_1°	3,450	2,761	2,072	1,381	0,691	0
α_2°	6,176	4,948	3,715	2,478	1,240	0
$\cos \alpha_1$	0,9982	0,9997	0,9993	0,9997	0,9999	1,0
$\cos \alpha_2$	0,9949	0,9963	0,9979	0,9991	0,9998	1,0
$N_1 \cos \alpha_1$	3737,26	3739,51	3741,38	3742,88	3743,63	3744,0
$N_2 \cos \alpha_2$	3722,28	3730,15	3736,14	3740,63	3743,25	3744,0
N (t)	7459,54	7469,66	7477,52	7483,51	7486,88	7489,0
d (cm)	65,30	45,931	30,868	20,108	13,652	11,50

Béton: $S = 13,44 \text{ m}^2$

$$\sigma_{2g} = 350 \text{ bars} = 350 \text{ kg/cm}^2$$

$$\bar{\sigma} = 0,42 \sigma_{2g} = 0,42 \cdot 350 = 147 \text{ kg/cm}^2 \longrightarrow \bar{\sigma} = 147 \text{ kg/cm}^2$$

$$\rho = \frac{i^2}{V_s \cdot V_i} \text{ rendement géométrique de la section}$$

1^{er} fuseau limite:

c'est le fuseau à l'intérieur duquel doit se trouver le tracé du câble équivalent pour qu'il n'y ait pas de traction (quelque soit le cas de chargement) sur l'une ou l'autre des fibres extrêmes

$$a = \rho \cdot V_s = \frac{i^2}{V_s \cdot V_i} V_s = \frac{i^2}{V_i} \longrightarrow a = 18,87 \text{ cm}$$

$$a' = -\rho V_i = -\frac{i^2}{V_s \cdot V_i} V_i = -\frac{i^2}{V_s} \longrightarrow a' = -22,53 \text{ cm}$$

$$e_s = a - \frac{M_G + M_Q}{N}$$

$$e_i = a' - \frac{M_G}{N}$$

2^{em} fuseau limite

c'est le fuseau à l'intérieur duquel doit se trouver le câble équivalent pour que la contrainte maximale reste inférieure ou égale à $\bar{\sigma}$ (contrainte admissible de compression) sur l'une ou l'autre des fibres extrêmes quelque soit le cas de chargement

• sur la fibre supérieure: $\sigma_p + \sigma_Q + \sigma_G \leq \bar{\sigma}$ (service en charge)

$$\Rightarrow \frac{N}{B} \left(1 + \frac{e V_s}{V_i} \right) + \frac{(M_G + M_Q)}{B} \frac{V_s}{V_i} \leq \bar{\sigma} \Rightarrow e \leq \left(\frac{\bar{\sigma} \cdot B}{N} - 1 \right) \frac{i^2}{V_s} - \frac{M_G + M_Q}{N} = S_{sup}$$

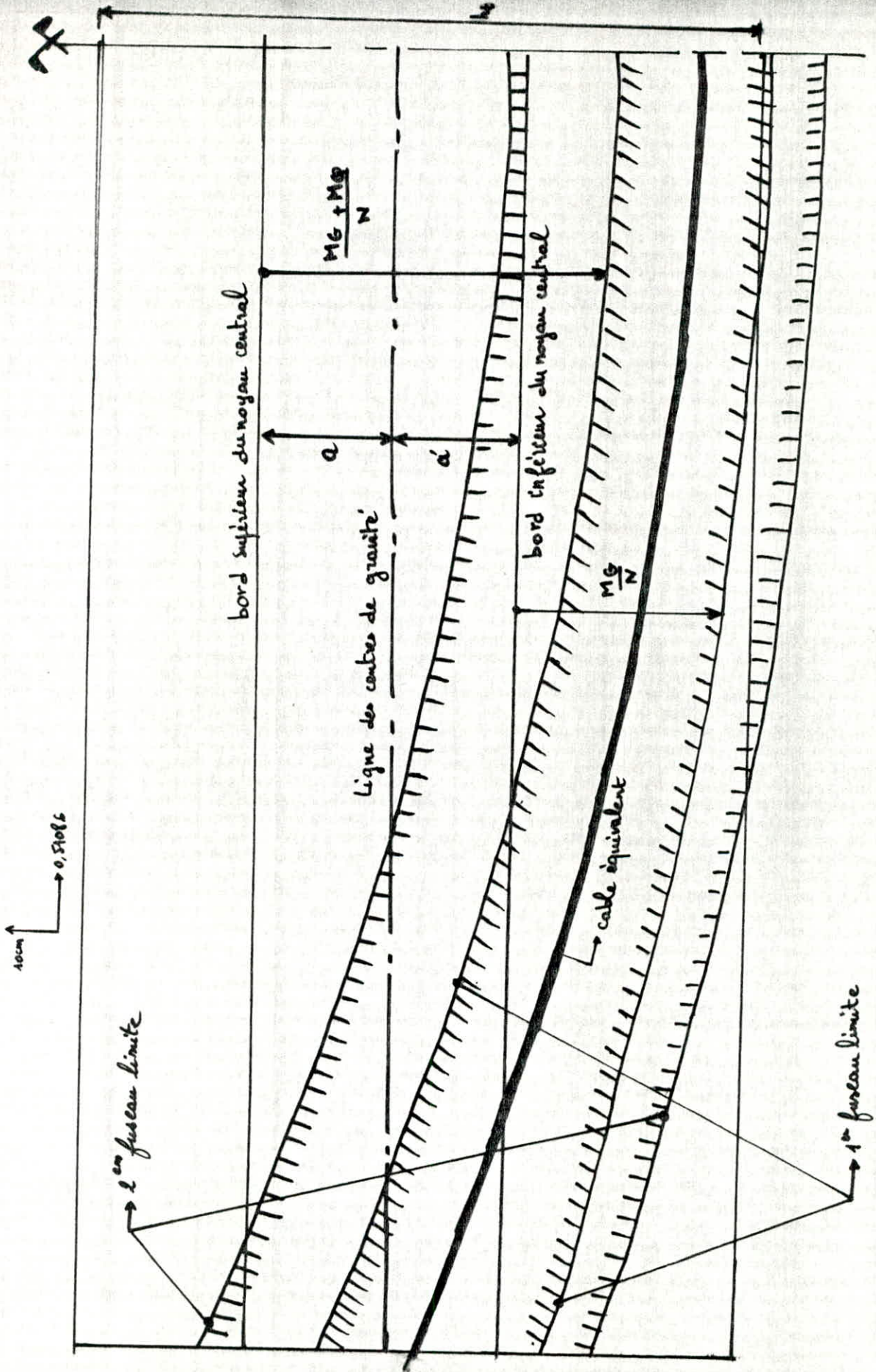
• Sur la fibre inférieure: $\sigma'_p + \sigma'_Q \leq \bar{\sigma}$ (service à vide)

$$\Rightarrow \frac{N}{B} \left(1 - \frac{e V_i}{i^2} \right) - \frac{M_G}{B} \frac{V_i}{i^2} \leq \bar{\sigma} \Rightarrow e \geq - \left(\frac{\bar{\sigma} \cdot B}{N} - 1 \right) \frac{i^2}{V_i} - \frac{M_G}{N} = S_{inf}$$

Le tracé de ces deux fuseaux limites sera particulièrement en cas de relevage des câbles.
Le câble équivalent doit rester dans la zone commune à ces deux fuseaux.

Section	0	0,1 L	0,2 L	0,3 L	0,4 L	0,5 L
$N(t)$	7459,54	7469,66	7477,52	7483,51	7486,81	7488,00
$M_G(t \cdot m)$	0	1197,879	2129,580	2795,074	3194,370	3327,469
$M_Q(t \cdot m)$	0	356,184	633,22	831,101	949,821	989,023
$M_G + M_Q(t \cdot m)$	0	1554,073	2762,802	3626,175	4144,821	4316,496
$M_G/N(\text{cm})$	0	16,4	28,48	37,35	42,67	44,44
$(M_G + M_Q)/N(\text{cm})$	0	20,81	36,95	48,46	55,35	57,65
$e_i(\text{cm})$	-22,53	-38,93	-51,01	-59,17	-65,20	-66,97
$e_s(\text{cm})$	18,87	-1,94	-18,08	-29,59	-36,48	-38,78
$e = d - V_i(\text{cm})$	0	-19,37	-34,43	-45,19	-51,65	-53,80
$S_{\text{sup}}(\text{cm})$	38,61	17,71	1,51	-10,05	-16,97	-19,28
$S_{\text{inf}}(\text{cm})$	-32,34	-48,67	-60,70	-69,53	-74,82	-76,58

on remarque que quel que soit la section on a toujours : $\begin{cases} e_i \leq e \leq e_s \\ \text{et} \\ S_{\text{inf}} \leq e \leq S_{\text{sup}} \end{cases}$



PERTES ET CHUTES DE TENSION

les conditions de sécurité de l'ouvrage en période dite "en service" ayant permis de définir la tension nécessaire permanente dite tension "de service", on doit alors tenir compte des pertes et chutes de tension qui vont se produire entre l'instant de la mise en tension et la période de service, afin d'en déduire la tension initiale à réaliser à la mise en tension. On a les pertes instantanées et les pertes différences

1) Pertes instantanées

Elles sont propres au dispositif mécanique d'application de la précontrainte.

2) Pertes par frottements :

La mise en tension d'un câble produit un déplacement du câble par rapport à sa gaine et ce mouvement relatif s'accompagne inévitablement de frottement, en conséquence, la force dans le câble diminue à mesure qu'on s'éloigne de la section. Il faut donc réaliser à l'ancrage une tension de valeur supérieure

$$\text{En un point, la tension est : } \sigma_m = \sigma_0 (1 - f\alpha - \gamma l) \text{ soit en contrainte : } \sigma_m = \sigma_0 e^{-(f\alpha + \gamma l)}$$

A : point d'ancrage

α : angle de relevage (en degré)

Si on veut réaliser une contrainte σ_{pm} en un point M, il faudra réaliser en A une tension σ_{pa} supérieure à σ_{pm} compte tenu de la perte par frottement entre A et M

(*) formule générale donnant la perte par frottement dans un câble entre l'ancrage A et un point M de ce câble : $\sigma_{pm} = \sigma_{pa} e^{-(f\alpha + \gamma l)} = \sigma_0 e^{-(f\alpha + \gamma l)}$

$$\text{on a par approximation : } \sigma_{pm} = \sigma_0 [1 - (f\alpha + \gamma l)] \text{ d'où : } \Delta\sigma_f = \sigma_0 (f\alpha + \gamma l)$$

. f : coefficient de frottement fil sur gaine = 0,2

. γ : déviateur angulaire parasite $\gamma = 0,0016 \text{ rad/m}$

. $\sigma_{pa} = \sigma_0$: contrainte initiale à l'ancrage $\sigma_0 = \min(0,75R_G; 0,92T_G) = 14720 \text{ kg/cm}^2 = 147,2 \text{ kg/mm}^2$

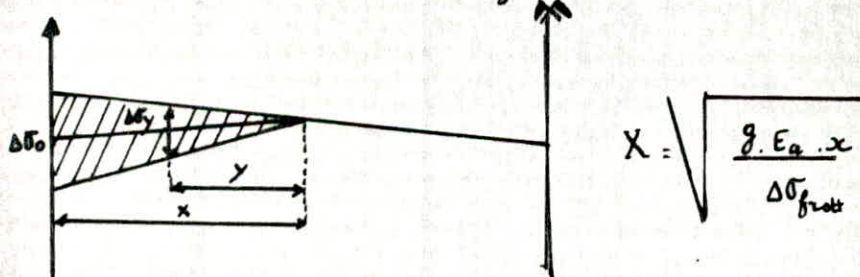
. l : longueur courbe donnée par la formule suivante :

$$l = \frac{1}{4\alpha} \left[2ax \sqrt{1 + (2ax)^2} + \ln(2ax + \sqrt{1 + (2ax)^2}) \right]$$

	Section	0	0,1 L	0,2 L	0,3 L	0,4 L	0,5 L
câble de la 1 ^{re} nappe	x (m)	0	2,5543	5,1086	7,6629	10,2172	12,7715
	l (m)	0	2,5544	5,1091	7,6646	10,2213	12,7795
	α (rad)	0	0,0121	0,0241	0,0362	0,0482	0,0602
	$f\alpha + 4l$	0	0,00651	0,01399	0,0195	0,0259	0,0324
câble de la 2 ^{em} nappe	$\Delta \sigma_{f_z}$ (kg/mm ²)	0	0,9583	1,9121	2,8704	3,8257	4,7825
	l (m)	0	2,5545	5,1102	7,6682	10,2297	12,7960
	α (rad)	0	0,0216	0,0433	0,0648	0,0864	0,1078
	$f\alpha + 4l$	0	0,00841	0,0168	0,0252	0,0336	0,0420
	$\Delta \sigma_{f_z}$	0	1,2380	2,4788	3,7139	4,9533	6,1968
	$\Delta \sigma_{f_z}$ moyen (kg/mm ²)	0	1,0981	2,1955	3,2922	4,3895	5,4847

b) Perte par recul d'ancreage

La perte par recul d'ancreage est celle qui apparaît lorsque la force de traction de l'armature exercée par le vérin est reportée directement au béton par l'ancreage, elle intervient donc au moment où l'ancreage de l'armature étant constitué, la tension du vérin étant relâchée, le recul d'ancreage g est défini par : $g = \int_0^x \Delta \sigma dx$ représentant l'aire hachurée du triangle



La valeur de $\Delta \sigma_y$ est déterminée à partir du diagramme : $\Delta \sigma_y = \frac{y}{x} \Delta \sigma_0$

$$1^{\text{re}} \text{ nappe} : X_1 = \sqrt{\frac{0,007 \cdot 2 \cdot 10^4 \cdot 12,7795}{4,7825}} = 19,34 \text{ m}$$

$$2^{\text{em}} \text{ nappe} : X_2 = \sqrt{\frac{0,007 \cdot 2 \cdot 10^4 \cdot 12,796}{6,1968}} = 17,016 \text{ m}$$

$$1^{\text{re}} \text{ nappe} : X_1 \rightarrow \Delta \sigma_1 = \Delta \sigma_0 (f \cdot \frac{\alpha_1}{l} + 4) X_1 = 2,147,2 \left(0,2 \frac{0,0602}{25,543} + 0,0016 \right) 19,341 = 11,794 \text{ kg/mm}^2$$

$$2^{\text{em}} \text{ nappe} : X_2 \rightarrow \Delta \sigma_2 = \Delta \sigma_0 (f \cdot \frac{\alpha_2}{l} + 4) X_2 = 2,147,2 \left(0,2 \frac{0,1078}{25,543} + 0,0016 \right) 17,016 = 12,243 \text{ kg/mm}^2$$

x	0	0,1 L	0,2 L	0,3 L	0,4 L	0,5 L
1 ^{er} nappage	y	19,341	16,7867	14,2324	11,6781	9,1238
	$\Delta \sigma_y$ kg/mm ²	11,794	10,2364	8,6789	7,1213	5,5637
2 nd nappage	y	17,016	14,4617	11,9074	9,3531	6,7988
	$\Delta \sigma_y$ kg/mm ²	12,243	10,4052	8,5674	6,7296	4,8917
	$\Delta \sigma_{\text{recule}}$ kg/mm ²	12,0185	10,3208	8,6232	6,9255	5,2277
						3,530

c) Perte par raccourcissement

Lorsque dans un élément, plusieurs armatures sont tendues successivement, le raccourcissement instantané du béton s'effectue au fur et à mesure que la tension des différentes armatures, et la mise en tension de la i^{me} armature provoque un raccourcissement du béton au droit des $i-1$ premières armatures, et par conséquent une diminution de leur force de traction. Dans le cas de n armatures identiques, donnant lieu chacune à un raccourcissement unitaire du béton E_i/n , la perte de tension totale a pour valeur : $\Delta \sigma_{\text{rac}} = \frac{E_i}{n} \cdot E_a \cdot A \left[(n-1) + (n-2) + \dots + 2 + 1 \right] = \frac{1}{2} (n-1) E_i \cdot E_a \cdot A$

A : section d'une armature.

Cette perte de tension peut être assimilée à une perte moyenne affectant chacune des armatures et égale dans la section à : $\Delta \sigma_{\text{rac}} = \frac{1}{2} \frac{\sigma_b'}{E_i} E_a$ avec : E_i : module d'élasticité longitudinal

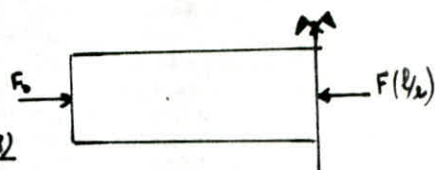
σ_b' : contrainte probable du béton au niveau du centre de gravité des armures

$$F(4L) = F_0 (1 - f \alpha - 4L) = 144 (1 - 0,2 \cdot 0,084 - 0,0016 \times 12,79775) = 138,6345 t$$

soit F_m la force moyenne : $F_m = \frac{F_0 + F(4L)}{2} = 141,317 t$

$$\sigma_b' = \frac{F_m}{S} + \frac{F_m \cdot E^2}{I} \cdot \frac{M_c \cdot c}{I} \longrightarrow \sigma_b' = \frac{141,317}{13,77} + \frac{141,317}{1,697} (0,538)^2 = \frac{3337,468}{1,697} (0,538)$$

$$\sigma_b' = 1020,54 t/m^2 \longrightarrow \sigma_b' = 102,054 \text{ kg/cm}^2$$



donc on a : $\Delta \sigma_{\text{rac}} = \frac{1}{2} \frac{102,054 \cdot 2 \cdot 10^6}{392874} = 259,76 \text{ kg/cm}^2 \longrightarrow \Delta \sigma_{\text{rac}} = 259,76 \text{ kg/cm}^2$

2) Perthes différences (IP2 tome 1)

a) retrait du béton

Le retrait du béton occasionne une déformation en raccourcissement qui est évaluée à $\frac{\Delta l}{l} = E_r$, les câbles qui suivent cette même déformation $\frac{\Delta l}{l}$ subissent donc de ce fait une chute de tension telle que:

$$\frac{\Delta \sigma_{ret}}{E_a} = \frac{\Delta l}{l} = E_r \text{ avec :}$$

$$E_r = k_b \cdot E_c \cdot k_{e_1} \cdot k_p$$

- le coefficient k_b dépend de la composition du béton ; diagramme $\rightarrow k_b = f(\xi, D) = 0,90$
- le coefficient E_c dépend des conditions climatiques ; diagramme $\rightarrow E_c = 27,5 \cdot 10^{-5}$
- le coefficient k_{e_1} dépend de l'épaisseur fictive de la pièce ; diagramme $\rightarrow e_m = 0,90 \text{ m} \rightarrow k_{e_1} = 0,50$
- le coefficient k_p dépend du pourcentage de armatures $\tilde{\omega} = \frac{A}{B} \rightarrow k_p = 0,9311$

ce qui nous donne donc : $E_r = 1,15 \cdot 10^{-4} \rightarrow \frac{\Delta l}{l} = E_r = 1,15 \cdot 10^{-4}$

on a donc : $\Delta \sigma_{ret} = E_a \cdot \frac{\Delta l}{l} \rightarrow \Delta \sigma_{ret} = 2 \cdot 10^6 \cdot 1,15 \cdot 10^{-4} = 230 \text{ kg/cm}^2 \rightarrow \Delta \sigma_{ret} = 230 \text{ kg/cm}^2$

b) flUAGE du béton :

$$\frac{\Delta \sigma_f}{E_a} = 2 \frac{\Delta l}{l} = 2 E_{ff} \text{ avec } E_{ff} = \frac{\sigma'_b}{\epsilon_i} k_{ff} \cdot \tau(t)$$

$$k_{ff} = k_b \cdot k_c \cdot k_d \cdot k_{e_2}$$

- le coefficient k_b dépend de la composition du béton ; diagramme $\rightarrow k_b = 0,90$
- le coefficient k_c dépend des conditions climatiques ; diagramme $\rightarrow k_c = 2,3$
- le coefficient k_d dépend du durcissement du béton à l'âge de la mise en charge $\rightarrow k_d(28 \text{ jours}) = 1,00$
- le coefficient k_{e_2} dépend de l'épaisseur fictive e_m de la pièce : $e_m = 0,9 \rightarrow k_{e_2} = 0,7$
- $\tau(t)$ exprime le développement de la déformation différences en fonction du temps ; diagramme $\rightarrow \tau(t) = 0,1$

ce qui nous donne : $E_{ff} = \frac{147}{393874} \cdot 1,449 \cdot 0,1 = 0,643 \cdot 10^{-4}$ avec $k_{ff} = 1,449$

donc : $\Delta \sigma_{ff} = 2 \cdot E_{ff} \cdot E_a = 2 \cdot 0,643 \cdot 10^{-4} \cdot 2 \cdot 10^6 = 246,8 \text{ kg/cm}^2 \rightarrow \Delta \sigma_{ff} = 246,8 \text{ kg/cm}^2$

c) relaxation

La relaxation est fonction de la contrainte initiale de l'acier et du temps. L'évaluation de la relaxation d'une armature tendue à sa tension initiale $\sigma_{p_i}(t)$ est calculée par la formule.

$$\Delta \sigma_{relax} = \max \left\{ \begin{array}{l} \frac{2,4 f_{1000}}{100} \times \frac{\sigma_{p_i} - 0,55 R_B}{0,25 R_B} \sigma_{p_i} \quad \text{avec } f_{1000} = 0,03 ; f_{3000} = 0,035 \\ \frac{f_{3000} + 2,5}{100} \times \frac{\sigma_{p_i} - 0,55 R_B}{0,25 R_B} \sigma_{p_i} \quad \text{et } R_B = 180 \text{ kg/mm}^2 \end{array} \right.$$

les valeurs de $\Delta\sigma_{relax}$ à chaque section sont données dans le tableau qui suit

(*) Lorsqu'une pièce est soumise, à partir de sa mise en précontrainte à des actions de longue durée, peu variables par la suite, la valeur finale de la partie de tension différée au point d'abscisse x est prise égale à :

$$\left\{ \begin{array}{l} \Delta\sigma_d = \Delta\sigma_{ret} + \Delta\sigma_{fl} + \Delta\sigma_{relax} - \frac{\Delta\sigma_{relax}(\Delta\sigma_{ret} + \Delta\sigma_{fl})}{\sigma_p(x) - 0,55R_G} \quad \text{si } \Delta\sigma_{ret} + \Delta\sigma_{fl} < \sigma_p(x) - 0,55R_G \\ \text{ou a :} \\ \Delta\sigma_d = \Delta\sigma_{ret} + \Delta\sigma_{fl} \quad \text{dans le cas contraire} \end{array} \right.$$

$$\sigma_p(x) = \sigma_p - \Delta\sigma_i(x) \longrightarrow \sigma_p(x) = \sigma_p - (\Delta\sigma_{frott} + \Delta\sigma_{ret} + \Delta\sigma_{relax})$$

(**) tableau récapitulatif des pertes de contraintes correspondant à un temps infini

Section	0	0,1L	0,2L	0,3L	0,4L	0,5L
$\Delta\sigma_{frott}$	0	1,0982	2,1965	3,2922	4,3895	5,4847
$\Delta\sigma_{ret}$ kg/mm ²	12,0185	10,3207	8,6232	6,9255	5,2277	3,530
$\Delta\sigma_{relax}$ kg/mm ²	2,5976	2,5976	2,5976	2,5976	2,5976	2,5976
$\sigma_p(x)$ kg/mm ²	132,58	133,18	133,78	134,38	134,99	135,59
$\Delta\sigma_{ret}$ kg/mm ²	2,3	2,3	2,3	2,3	2,3	2,3
$\Delta\sigma_{fl}$ kg/mm ²	2,168	2,168	2,168	2,168	2,168	2,168
$\Delta\sigma_{relax}$ kg/mm ²	7,1233	7,2833	7,4446	7,6070	7,7733	7,938
$\Delta\sigma_{différée}$ kg/mm ²	10,6435	10,7992	10,9562	11,1143	11,2763	11,437

(*) contraintes à rencontrer dans les différentes phases

- Contrainte dans les armatures après la mise en tension : $\sigma_p = \sigma_0 - \Delta\sigma_{instantané}$
- Contrainte de service à 90 jours : $\sigma_{90j} = \sigma_p - \Delta\sigma_{diff_{90j}}$
- Contrainte à un temps infini : $\sigma_{\infty} = \sigma_p - \Delta\sigma_{diff_{\infty}}$
avec $\Delta\sigma_{diff_{90j}} = \Delta\sigma_{relax_{90j}} + \Delta\sigma_{ret_{90j}} + \Delta\sigma_{fl_{90j}}$

on estime les pertes à :

$$\text{relaxation à 90 jours} \quad \Delta\sigma_{relax_{90j}} = 0,55 \Delta\sigma_{relax_{\infty}}$$

$$\text{retrait à 90 jours} \quad \Delta\sigma_{ret_{90j}} = 0,45 \Delta\sigma_{ret_{\infty}}$$

$$\cdot \text{flage à 90 jours : } \Delta \sigma_{fl,90j} = 0,45 \Delta \sigma_{fl,0}$$

(*) tableau donnant les pertes de contraintes différences à 90 jours

Section	0	0,1L	0,2L	0,3L	0,4L	0,5L
$\Delta \sigma_{relax,90j} \text{ kg/mm}^2$	3,9178	4,0058	4,0945	4,1839	4,2753	4,3660
$\Delta \sigma_{ret,90j} \text{ kg/mm}^2$	1,0350	1,0350	1,0350	1,0350	1,0350	1,0350
$\Delta \sigma_{fl,90j} \text{ kg/mm}^2$	0,9756	0,9756	0,9756	0,9756	0,9756	0,9756
$\Delta \sigma_{diff,90j} \text{ kg/mm}^2$	5,9284	6,0164	6,1051	6,1945	6,2839	6,3470

EFFORT TRANCHANT

Définition

Dans une section quelconque à plan moyen fléchie, l'effort tranchant est la composante normale à la fibre moyenne de la résultante des forces par coupe au droit de la section. Nous écrivons de façon générale $F = F_G + F_Q + F_P$

F_G et F_Q désignent respectivement les efforts tranchants dûs aux actions permanentes et surcharges et F_P l'effort tranchant de précontrainte.

(*) tableau donnant l'effort tranchant pour les différents changements aux sections considérées

section \ chargement	G	A (3voies)	Bc (3voies)	Mc 120	trottoirs (2)
0	512,098	143,519	134,804	104,525	8,238
0,1L	416,772	123,085	116,182	92,693	6,673
0,2L	312,650	103,516	97,560	80,802	5,272
0,3L	208,447	84,865	78,993	68,911	4,036
0,4L	104,244	71,770	61,173	57,078	2,966
0,5L	0	50,797	44,413	45,186	2,05

(**) même tableau en tenant compte du coefficient K_d

chargement \ section	G	A	Bc	Mc 120	trottoirs
0	512,098	145,916	144,860	122,169	8,523
0,1L	416,772	125,141	124,849	108,340	6,904
0,2L	312,650	105,245	104,838	94,441	5,454
0,3L	208,447	86,282	84,827	80,543	4,176
0,4L	104,244	72,969	65,737	66,713	3,069
0,5L	0	51,645	47,726	52,813	2,121

(*) tableau donnant l'effort tranchant dû à la précontrainte à 90 jours

sections	0	0,1L	0,2L	0,3L	0,4L	0,5L
α (rd)	0,0841	0,0673	0,0505	0,0337	0,0168	0
$F_p(t)$	6407,98	6433,79	6459,59	6485,90	6511,71	6539,179
$F_p \sin \alpha$	538,28	432,67	326,07	218,53	109,39	0

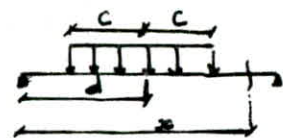
(*) tableau donnant l'effort tranchant dû à la précontrainte à un temps infini

sections	0	0,1L	0,2L	0,3L	0,4L	0,5L
α (rd)	0,0841	0,0673	0,0505	0,0337	0,0168	0
$F_p(t)$	6169,524	6192,495	6214,403	6236,767	6259,434	6281,645
$F_p \sin \alpha$	518,25	416,44	313,69	201,17	104,77	0

ETUDE DE LA TORSION

les efforts dû à la torsion seront déterminés comme pour les efforts transversaux et longitudinaux, c'est à dire par la méthode de Guyon et Massonet. L'expression du moment de torsion dans les deux sens est donnée par l'expression : $M_{xy} = -M_{yx} = \sum_{m=1}^{\infty} T_{xm} \sin \frac{n\pi x}{l} \cos \frac{m\pi x}{l} \times \frac{1}{m\pi}$

avec $P = \frac{P}{2c}$ où c : demi-étalement de la charge



T_{xm} : coefficient de répartition relatif à la torsion

charges \	charge permanente G	surcharge de traction	A	Bc	M _c 120
2C (m)	25,543	25,543	25,545	3,07	6,1
P (kN/m)	40,8	0,968	11,275	3,91	18,033

On déterminera les moments dans les différentes sections. Le moment extérieur est obtenu lorsque la charge est centrée sur la section médiane, c'est à dire pour $d = b/2$, on ne considérera que la 1^{re} harmonique ($m=1$)

$$M_{xy} = -M_{yx} = T_a \times \frac{4P}{\pi} \times \sin \frac{\pi c}{l} \times \cos \frac{\pi x}{l} \times \frac{1}{\pi}$$

Pour déterminer les différentes valeurs de T_a correspondant aux différents cas de charges, nous devons tracer les lignes d'influence de T_a qui dépend de :

- α : paramètre de torsion
 - θ : paramètre d'entretoisement
 - e/b : excentricité relative de la charge linéaire
 - y/b : ordonnée relative du point considéré de la construction
- on a : $\theta = 0,25$ et $a = 0,833$

(*) Tableau donnant les valeurs de T_a pour $\theta = 0,25$

$y \backslash e$	-b	$-\frac{3}{4}b$	$-\frac{1}{2}b$	$-\frac{b}{4}$	0	$\frac{1}{4}b$	$\frac{1}{2}b$	$\frac{3}{4}b$	b
0	-0,224506	-0,178622	-0,138990	-0,099355	0	0,071835	0,128990	0,178622	0,224506
$\frac{1}{4}b$	-0,200615	-0,163946	-0,134353	-0,077418	-0,021873	0,050501	0,125605	0,189923	0,249235
$\frac{1}{2}b$	-0,180216	-0,149415	-0,116260	-0,077737	-0,030647	0,029645	0,105729	0,193705	0,243001
$\frac{3}{4}b$	-0,165882	-0,138264	-0,108538	-0,074205	-0,038174	0,021440	0,091620	0,184796	0,239194
b	-0,160409	-0,133741	-0,105994	-0,072042	-0,036001	0,019934	0,077321	0,176704	0,236057

(*) tableau donnant les valeurs de $\gamma_a = \gamma_1 \sqrt{a} = 0,913 \gamma_1$

$y \setminus e$	-b	$-\frac{3}{4}b$	$-\frac{1}{2}b$	$-\frac{1}{4}b$	0	$\frac{1}{4}b$	$\frac{1}{2}b$	$\frac{3}{4}b$	b
0	-0,204974	-0,163082	-0,117767	-0,066038	0	0,066038	0,117767	0,163082	0,204974
$\frac{1}{4}b$	-0,193161	-0,149693	-0,108540	-0,049590	-0,019070	0,046190	0,114677	0,173400	0,227591
$\frac{1}{2}b$	-0,164587	-0,136416	-0,106109	-0,071029	-0,017081	0,027066	0,099270	0,176853	0,248357
$\frac{3}{4}b$	-0,151450	-0,126285	-0,099095	-0,067749	-0,029871	0,019575	0,083649	0,168719	0,263961
b	-0,146453	-0,121133	-0,095969	-0,061774	-0,028852	0,018200	0,079724	0,161331	0,270300

on disposera les surcharges sur les lignes d'influences de γ_a de telle sorte à obtenir les valeurs du coefficient de répartition relatif à la tension maximales

charge \ y	0	$\frac{1}{4}b$	$\frac{1}{2}b$	$\frac{3}{4}b$	b
G	0	0,07828	0,17386	0,50664	0,31725
Bc	1 convoi	0,29007	0,29930	0,29922	0,27898
	2 convois	0,37211	0,3835	0,355	0,31668
	3 convois	0,27249	0,2925	0,23075	0,19981
A	1 voie	0,43051	0,4331	0,42456	0,41223
	2 voies	0,43051	0,38109	0,34398	0,31702
	3 voies	0	-- ^{<0}	-- ^{<0}	-- ^{<0}
M _c 120	0,22268	0,2145	0,2059	0,19227	0,17756
surcharge trottoir : 450 kg/m ²	0,50233	0,57687	0,63456	0,66918	0,76235

(**) Pour le calcul du moment M_{zy} , les coefficients γ_a utilisés sont résumés dans le tableau suivant

charge \ y	0	$\frac{1}{4}b$	$\frac{1}{2}b$	$\frac{3}{4}b$	b
G	0	0,0728	0,17386	0,50667	0,31725
A	0,43051	0,4331	0,42456	0,41223	0,38909
Bc	0,37211	0,3835	0,3550	0,31667	0,29143
M _c 120	0,22268	0,21450	0,2059	0,19227	0,17756
surcharge trottoir : 450 kg/m ²	0,50233	0,57687	0,63456	0,66918	0,76235

(*) tableau donnant les moments M_{xy} en t.m/ml pour les différentes charges et surcharges

Section	Fibre	G	A	B_c	M_c 120	surch trottoir 450 kg/m ²
$x = 0$	$y = 0$	0	14,706	2,827	15,231	2,014
	$y = b/4$	2,016	14,794	2,913	14,671	2,312
	$y = b/2$	4,1815	14,502	2,697	14,083	2,544
	$y = 3/4b$	14,033	14,081	2,406	13,151	2,682
	$y = b$	8,787	13,291	2,214	12,145	3,056
$x = 0,1L$	$y = 0$	0	13,985	2,687	14,485	1,915
	$y = b/4$	1,918	14,069	2,769	13,953	2,199
	$y = b/2$	4,579	13,792	2,563	13,393	2,419
	$y = 3/4b$	13,345	13,891	2,287	12,507	2,551
	$y = b$	8,356	12,640	2,104	11,497	2,906
$x = 0,2L$	$y = 0$	0	11,912	2,290	12,337	1,631
	$y = b/4$	1,633	11,993	2,360	11,884	1,873
	$y = b/2$	3,900	11,747	2,184	11,407	2,060
	$y = 3/4b$	11,367	11,406	1,949	10,652	2,173
	$y = b$	7,106	10,766	1,793	9,837	2,475
$x = 0,3L$	$y = 0$	0	8,624	1,662	8,956	1,184
	$y = b/4$	1,186	8,699	1,713	8,627	1,360
	$y = b/2$	2,831	8,527	1,585	8,281	1,496
	$y = 3/4b$	8,118	8,280	1,414	7,733	1,577
	$y = b$	5,167	7,815	1,302	7,141	1,797
$x = 0,4L$	$y = 0$	0	4,559	0,876	4,721	0,624
	$y = b/4$	0,625	4,586	0,903	4,548	0,717
	$y = b/2$	1,493	4,496	0,836	4,366	0,789
	$y = 3/4b$	4,350	4,365	0,746	4,077	0,832
	$y = b$	2,724	4,120	0,686	3,765	0,948
$x = 0,5L$	$y = 0$	0	0	0	0	0
	$y = b/4$	0	0	0	0	0
	$y = b/2$	0	0	0	0	0
	$y = 3/4b$	0	0	0	0	0
	$y = b$	0	0	0	0	0

(*) détermination des contraintes de cisaillement (τ_{xy})

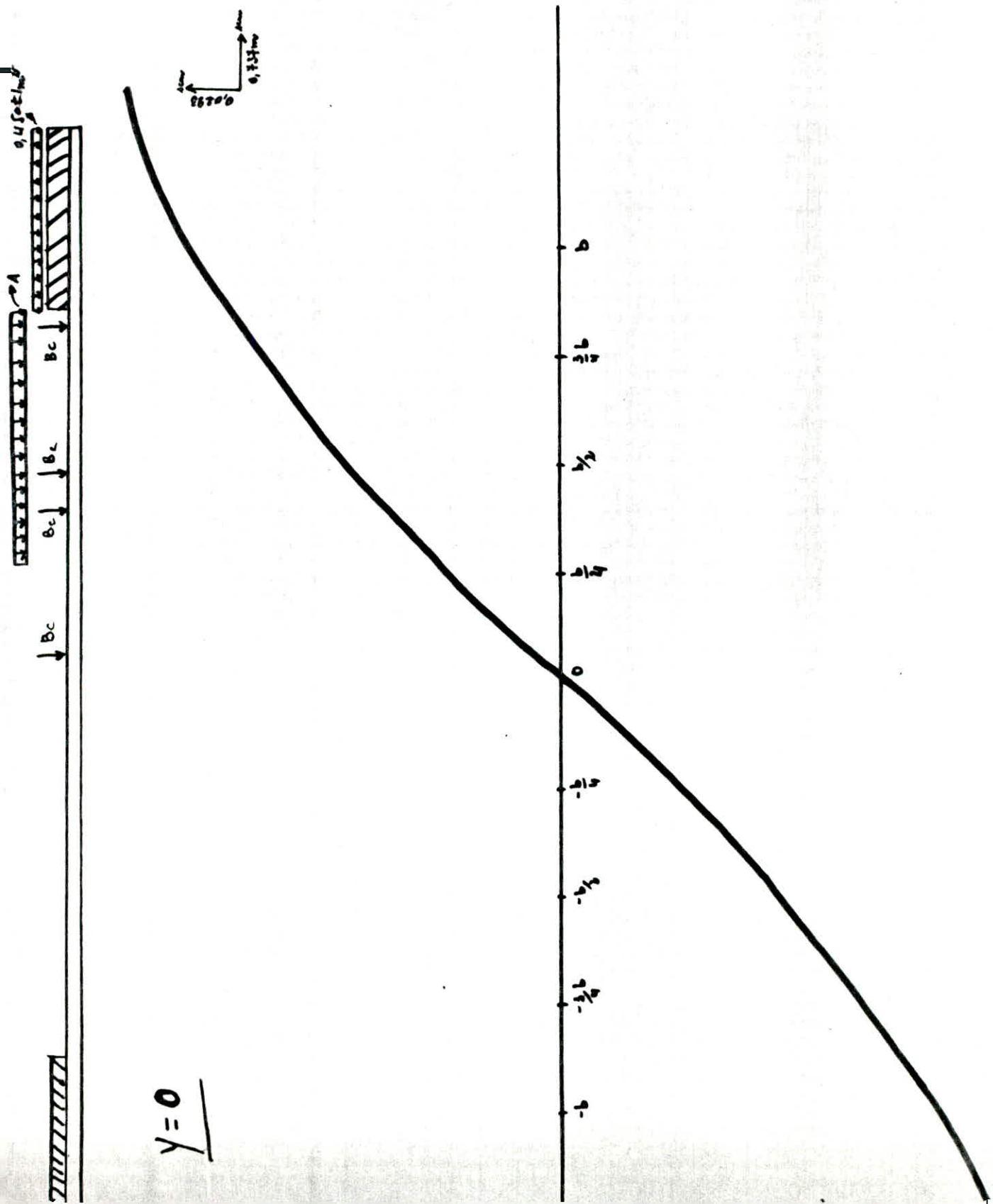
D'après le c.e.B.A 68 art 5.3 pour une section rectangulaire $a \leq b$, la contrainte est maximale au milieu de b

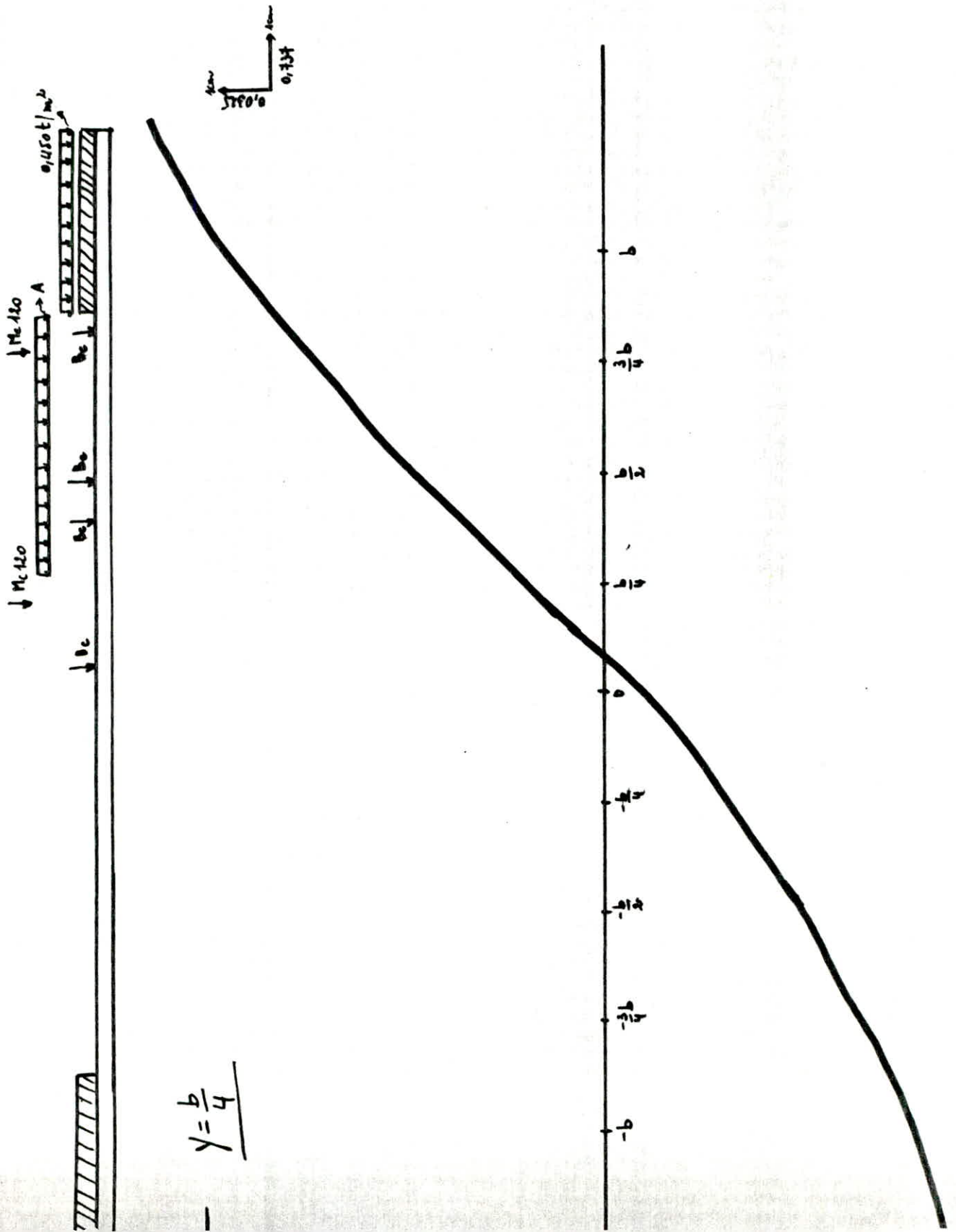
$$\tau_{xy} = \frac{M_{xy}}{a^2 \times b} \left(4,81 - 1,81 \frac{b-a}{\sqrt{8a^2+b^2}} \right) \text{ avec } \begin{aligned} b &= 1,20 \text{ m} \\ a &= 1,00 \text{ m} \end{aligned}$$

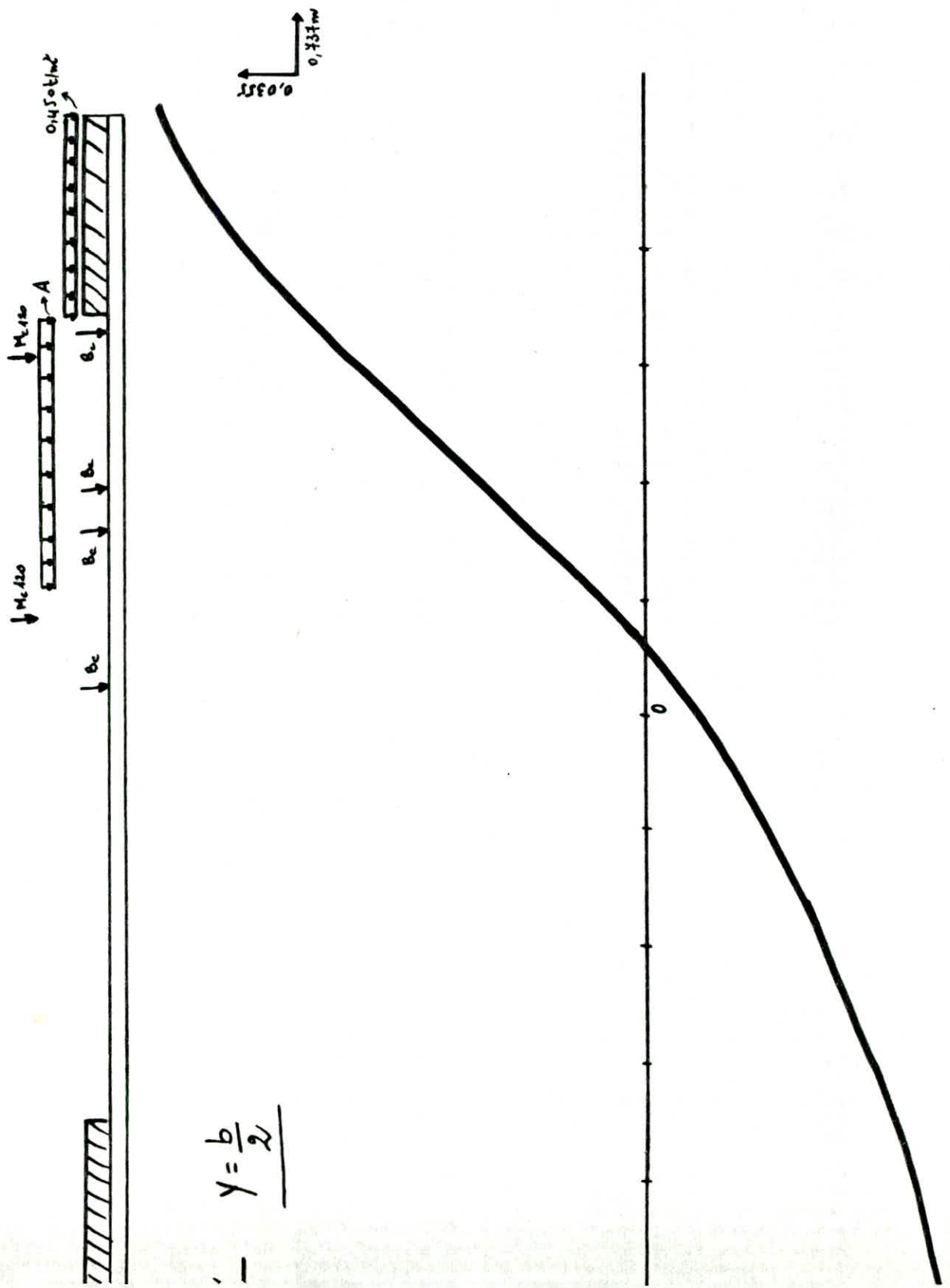
on aura donc: $\tau_{xy} = 3,846 M_{xy}$

Le moment M_{xy} sera déterminé par la combinaison G+1,25, on donne les résultats sous forme de tableau.

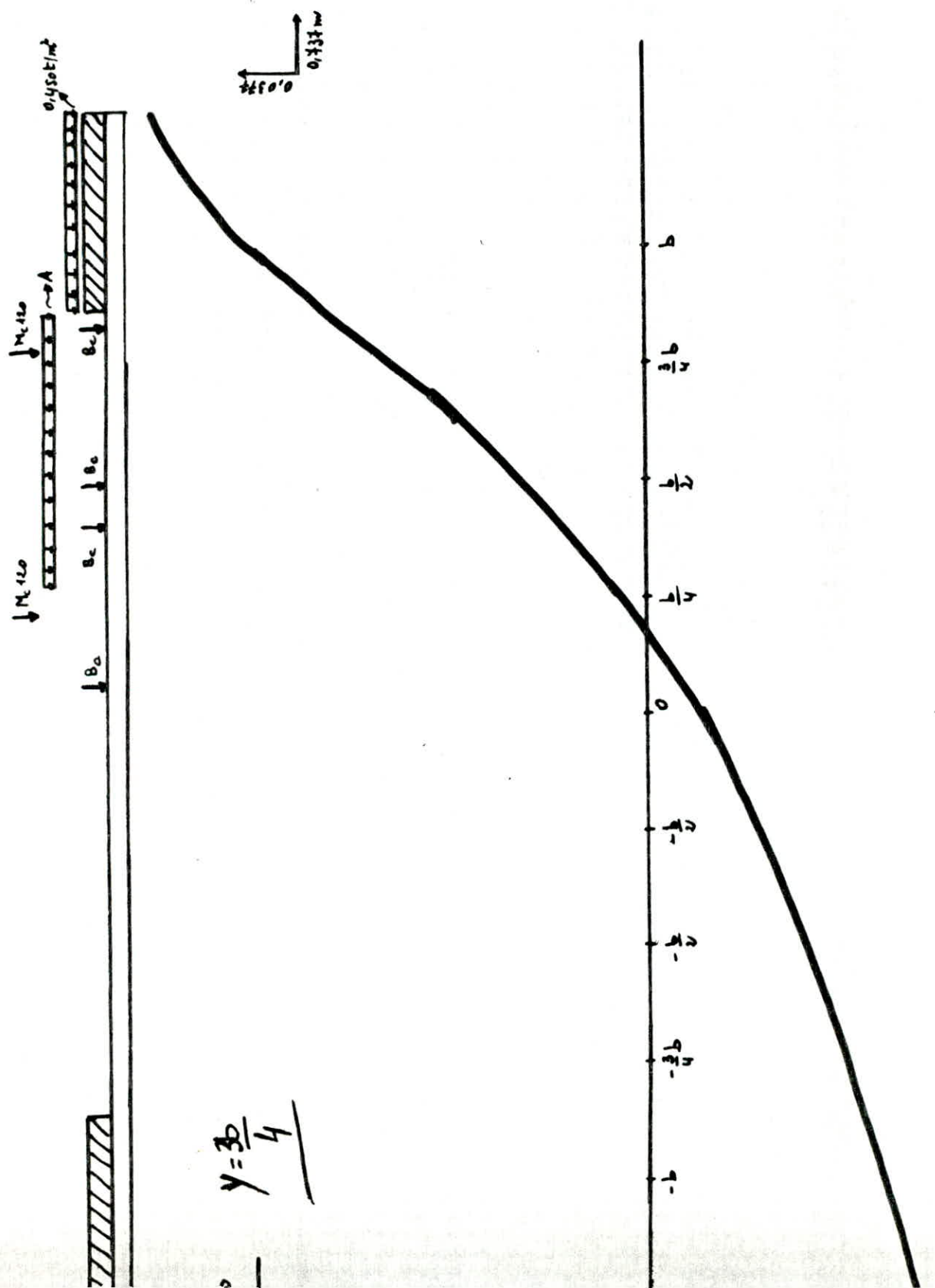
Section	$M_{xy} (G+1,25) (kNm)$	$\tau_{xy} (t/m^2)$
0	$G + 1,2(A+tr) = 34,15$	131,34
0,1L	$G + 1,2(A+tr) = 32,48$	124,92
0,2L	$G + 1,2(A+tr) = 27,66$	106,38
0,3L	$G + 1,2(A+tr) = 20,05$	77,11
0,4L	$G + 1,2(A+tr) = 10,59$	40,73
0,5L	$G + 1,2(A+tr) = 0$	0

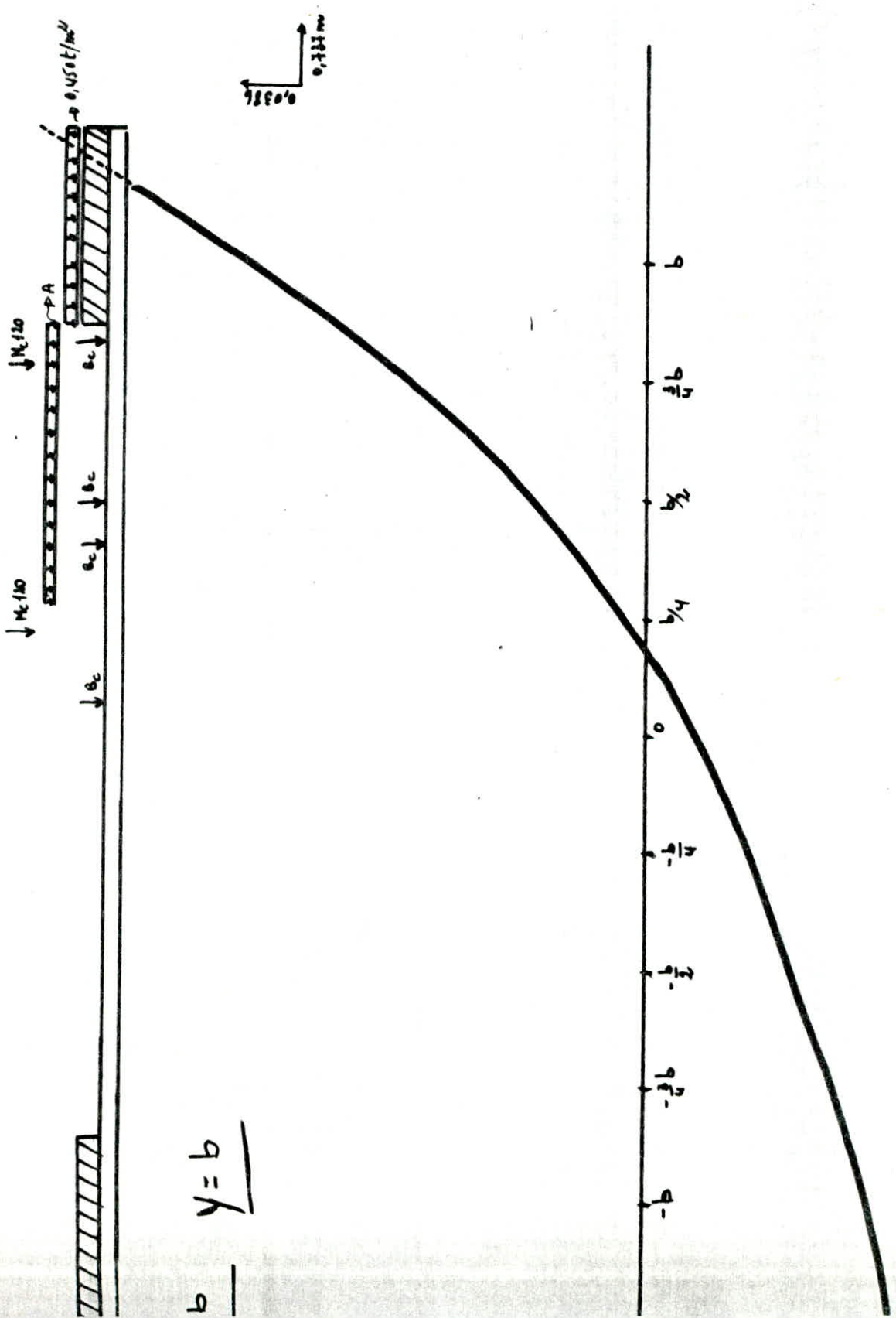






$$y = \frac{b}{2}$$





VERIFICATIONS

A. VERIFICATION DES CONTRAINTES

les vérifications des contraintes se feront suivant les différentes phases correspondant aux différents stades de la construction et sous divers cas de charges et surcharges les plus défavorables

Phase 1

immédiatement après la mise en tension des armatures de précontrainte, les contraintes sont celles engendrées par

- la précontrainte des câbles
- le poids propre de la dalle à vide sans superstructure

Phase 2

On met en place la superstructure et à 90 jours on prendra en compte les contraintes suivantes :

- la précontrainte des câbles
- contraintes dues au poids propre de la dalle avec superstructure (trottoir et garde-corps)

Phase 3

application à 90 jours des surcharges civiles

Phase 4

Au temps infini, les contraintes étant engendrées par :

- la précontrainte des câbles
- le poids propre de la dalle avec superstructure

Phase 5

application au temps infini des surcharges civiles et militaires

On fera les vérifications au niveau des fibres extrêmes pour chaque section.

$$\text{fibre supérieure : } \sigma_s = \frac{N}{S} + \frac{V_s}{I} (M + N.e) \quad \left. \begin{array}{l} \text{Les variables } V_i, V_s \text{ et } e \text{ sont prises} \\ \text{en mesure ou en valeur algébrique} \end{array} \right\}$$

$$\text{fibre inférieure : } \sigma_i = \frac{N}{S} + \frac{V_i}{I} (M + N.e) \quad \left. \begin{array}{l} \text{en mesure ou en valeur algébrique} \end{array} \right\}$$

N: force de précontrainte au temps correspondant

M: moment fléchissant engendré suivant les phases pour les charges et surcharges appliquées (dalle vide, dalle + superstructure, dalle + superstructure + surcharge)

e: excentrement du câble moyen par rapport à la fibre moyenne

I: moment d'inertie net de la section.

(*) contraintes admissibles du béton:

1. A la mise en tension $\rightarrow \begin{cases} \bar{\sigma}_b = 0,55 \sigma_{28} = 1925 \text{ t/m}^2 \\ \bar{\sigma}'_b = 0 \text{ (pas de traction)} \end{cases}$

2. En service $\rightarrow \begin{cases} \bar{\sigma}_b = 0,42 \sigma_{28} = 1470 \text{ t/m}^2 \\ \bar{\sigma}'_b = 0 \text{ (pas de traction)} \end{cases}$

3. A la rupture $\rightarrow \begin{cases} \bar{\sigma}_b = 0,8 \sigma_{28} = 2800 \text{ t/m}^2 \\ \bar{\sigma}'_b = -0,8 \sigma'_{28} = -224 \text{ t/m}^2 \end{cases}$

(**) caractéristiques nettes des différentes sections

$$I_{\text{nette}} = I - S_{\text{trous}} d^2$$

$$\cdot S_{\text{trous}} = 5l \times S_{\text{gaine}} = 0,1470 \text{ m}^3$$

. d : distance du câble équivalent à la fibre moyenne

. h : distance de la fibre inférieure au câble moyen

$$\cdot V_i = \frac{(\sum S_i) V_i - S_{\text{câble}} \times h(x)}{(\sum S_i) - S_{\text{câble}}}$$

Sections	0	0,1L	0,2L	0,3L	0,4L	0,5L
d (cm)	0	19,869	34,432	45,192	51,648	53,900
h (cm)	65,30	45,931	30,868	20,108	13,652	11,5
I (cm ⁴)	1,6970	1,6915	1,6796	1,6670	1,6548	1,6545
V_i (cm)	65,30	65,68	65,98	66,19	66,31	66,35
V_s (cm)	54,70	54,32	54,02	53,81	53,69	53,65

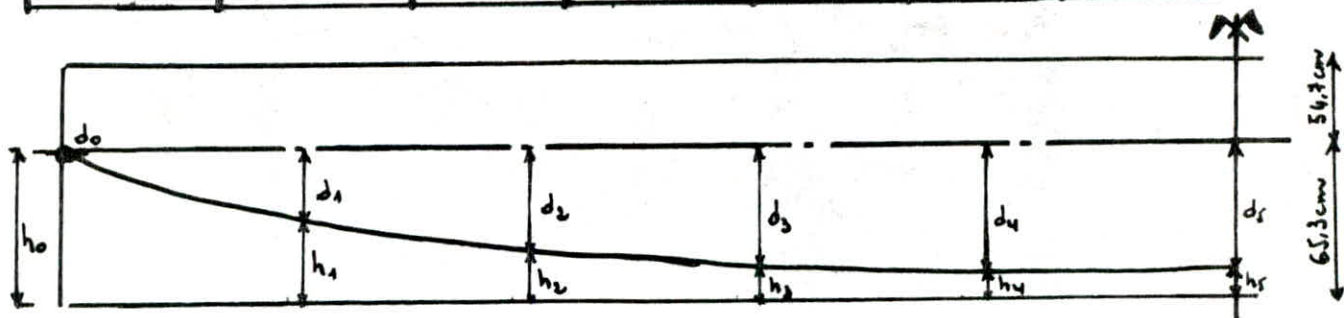


Tableau 1: Contraintes engendrées par la précontrainte et la dalle seulement

Sections	0	0,1L	0,2L	0,3L	0,4L	0,5L
σ_{p_i} (kg/mm²)	132,58	133,18	133,78	134,38	134,99	135,59
N (k)	6708,019	6738,375	6768,733	6799,090	6829,954	6860,312
M (k.m)	0	1063,694	1990,994	2481,980	2836,491	2954,678
σ_s (k/m²)	487,147	441,807	350,165	303,081	272,189	259,491
σ_i (k/m²)	487,147	583,144	664,253	728,311	772,412	793,431

$$N = \sigma_{p_i} \cdot 52 \cdot S_{\text{cables}} = 50596 \sigma_{p_i} \quad \text{et} \quad M = q_6 \frac{x(L-x)}{2} \quad \text{avec } q_6 = 36,229 \text{ k/m²}$$

Tableau 2: contraintes engendrées par : - Précontrainte
- dalle avec superstructure à 90 jours

Sections	0	0,1L	0,2L	0,3L	0,4L	0,5L
$\sigma_{p_i} - \Delta \sigma_{d_{90j}}$	126,65	127,16	127,67	128,19	128,70	129,243
N (k)	6407,98	6433,79	6459,59	6485,90	6511,71	6539,179
M (k.m)	0	1197,899	2129,580	2795,074	3194,370	3321,469
σ_s (k/m²)	465,36	454,731	438,685	427,106	418,224	413,078
σ_i (k/m²)	465,36	485,976	506,262	525,030	540,408	551,325

Tableau 3: contraintes engendrées à 90 jours par: - Précontrainte
- Poids Propre
- surcharges civiles

Sections	0	0,1L	0,2L	0,3L	0,4L	0,5L
$\sigma_{p_i} - \Delta \sigma_{d_{90j}}$	126,65	127,16	127,67	128,19	128,70	129,243
N (k)	6407,98	6433,79	6459,59	6485,90	6511,71	6539,179
M (k.m)	0	1554,073	2762,802	3626,178	4144,191	4316,492
σ_s (k/m²)	465,358	566,444	642,344	695,381	725,835	733,785
σ_i (k/m²)	465,358	347,672	287,543	195,033	160,491	154,700

Tableau 4: contraintes engendrées à un temps infini par : { - Précontrainte
- dalle + superstructure

Sections	0	0,1L	0,2L	0,3L	0,4L	0,5L
$\sigma_{p_i} - \Delta\sigma_{diff,00}$	121,937	122,391	122,824	123,266	123,714	124,153
$N(t)$	6169,524	6192,495	6214,403	6236,767	6259,434	6281,645
$M(t.m)$	0	1197,893	2129,57	2795,074	3194,370	3327,469
$\sigma_s(t/m^2)$	448,041	449,216	448,013	445,356	442,101	439,03
$\sigma_i(t/m^2)$	448,041	450,305	455,293	462,234	469,971	477,059

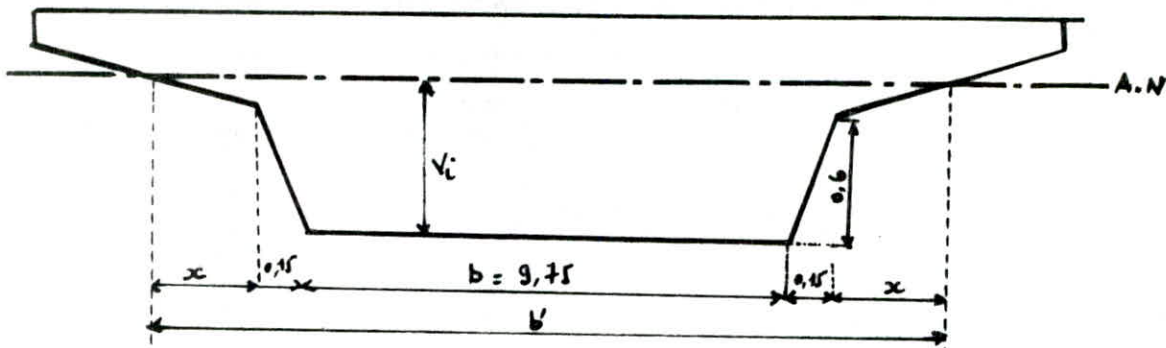
Tableau 5a: contraintes engendrées à un temps infini par : { - Précontrainte
- dalle + superstructure
- surcharge civile

Sections	0	0,1L	0,2L	0,3L	0,4L	0,5L
$\sigma_{p_i} - \Delta\sigma_{diff,00}$	121,937	122,391	122,824	123,266	123,714	124,153
$N(t)$	6169,524	6192,495	6214,403	6236,767	6259,434	6281,645
$M(t.m)$	0	1554,073	2762,802	3626,175	4144,191	4346,492
$\sigma_s(t/m^2)$	448,041	563,599	651,691	713,632	749,713	760,011
$\sigma_i(t/m^2)$	448,041	312,001	206,543	132,236	90,054	80,434

Tableau 5b: contraintes engendrées à un temps infini par : { - Précontrainte
- dalle + superstructure
- surcharge militaire

Sections	0	0,1L	0,2L	0,3L	0,4L	0,5L
$\sigma_{p_i} - \Delta\sigma_{diff,00}^{(hyp)}$	121,937	122,391	122,824	123,266	123,714	124,153
$N(t)$	6169,524	6192,495	6214,403	6236,767	6259,434	6281,645
$M(t.m)$	0	1498,836	2664,587	3497,284	3965,337	4163,049
$\sigma_s(t/m^2)$	448,041	545,861	620,106	672,026	691,788	710,254
$\sigma_i(t/m^2)$	448,041	333,449	245,121	183,414	161,593	141,969

B. VÉRIFICATION DES CONTRAINTES DE CISAILLEMENT



(*) la contrainte de cisaillement est donnée par la formule $\tau_b = \frac{T.S}{I.b}$

détermination de x :

$$\text{triangles semblables : } \frac{0,4}{2,25} = \frac{v_i - 0,6}{x} \Rightarrow x = \frac{2,25}{0,4} (v_i - 0,6)$$

$$\text{donc : } b' = 10,05 + \frac{4,5}{0,4} (v_i - 0,6) \quad \text{avec } b' = \text{largeur de la dalle au niveau du centre de gravité}$$

(**) Contrainte de cisaillement admissible

La contrainte maximale de cisaillement est donnée par la formule $\bar{\tau}^2 = \frac{\bar{\sigma}_b'}{\bar{\sigma}_b} (\bar{\sigma}_b - \bar{\sigma}_G) (\bar{\sigma}_b' + \bar{\sigma}_G)$
avec $\bar{\sigma} = 0,42 \sigma_{28}$ et $\bar{\sigma}' = 0,42 \sigma'_{28}$

$\bar{\sigma}_G$: contrainte de compression du béton au niveau du centre de gravité de la section $\rightarrow \sigma_G = F_S$

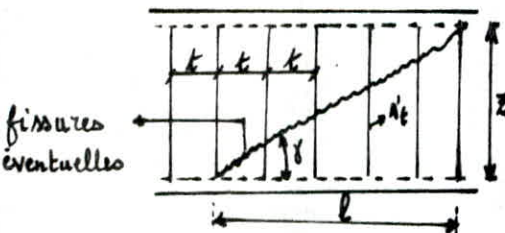
$$\bar{\sigma}_b = 0,42 \sigma_{28} = 1470 \text{ t/m}^2$$

$$\bar{\sigma}_b' = 0,42 \sigma'_{28} = 117,60 \text{ t/m}^2$$

) contraintes de traction admissible des étriers

$$\bar{\sigma}_a' = f_a \cdot \sigma_{en} \quad \text{avec } \sigma_{en} = 4200 \text{ kg/cm}^2$$

$$\text{pour les dalles pas de reprise de bétonnage} \rightarrow f_a = 1 - \frac{1}{3} \left(\frac{\tau_b}{\bar{\tau}_b} \right)^2$$



$$\text{contrainte de compression des bielles } \sigma_b = \frac{2 \tau_b}{\sin 2\gamma}$$

$$\tan 2\gamma = \frac{2 \tau_b}{\sigma_G}$$

• La portion d'étriers par mètre linéaire de tablier pour toute la longeur du pont est :

$$w = \frac{T}{\sigma_a' \cdot 3 \cot \gamma} = \frac{T \tan \gamma}{\sigma_a' Z} \quad \rightarrow w = \frac{6 \tau_b \tan \gamma}{\sigma_a'}$$

• L'espacement t entre deux cours successifs d'étriers sera : $t \leq \min \begin{cases} h_t \left(1,25 - 0,95 \frac{\tau_b}{\bar{\tau}_b} \right) \\ b_0 \left(5 - 2 \frac{\tau_b}{\bar{\tau}_b} \right) \\ 4b_0 \end{cases}$

avec b_0 : largeur de la dalle au niveau du centre de granite

h_t : hauteur totale de la section conoidale

Section	0	0,1L	0,2L	0,3L	0,4L	0,5L
$F_p \sin \alpha$	518,25	416,44	393,69	301,17	104,77	0
F_{G+Q}	666,537	548,817	423,349	298,905	180,282	53,766
F	148,287	132,377	109,659	97,735	75,512	53,766
$b' (m)$	10,6463	10,6890	10,7228	10,7464	10,7599	10,7644
$S (m^3)$	2,0984	2,0709	2,0491	2,0340	2,0254	2,0225
$I (m^4)$	1,6970	1,6915	1,6796	1,6670	1,6578	1,6545
$\bar{I}_b (t/m^4)$	17,22	15,16	12,48	11,10	8,57	6,11
$\bar{\sigma}_G$	448,041	449,709	451,300	452,924	454,570	456,183
$\bar{\sigma}_b$	215,046	215,187	215,321	215,456	215,592	215,724
$t g \gamma$	0,0384	0,0337	0,0277	0,0245	0,0189	0,0134
$\bar{\sigma}_b (t/m^4)$	449,099	450,363	450,897	453,335	453,601	456,052
$\bar{\sigma}'_a (t/m^4)$	41910,230	41791,543	41858,907	41888,525	41933,634	41966,307
$t (m)$	1,409	1,420	1,434	1,441	1,455	1,468
$w \cdot 10^4 (m^2)$	1,680	1,307	0,886	0,698	0,416	0,210

C. SECURITE A LA RUPTURE

I. Sécurité à la rupture en flexion

1) Section rectangulaire

a) calcul du moment de rupture par les aciers

En admettant un bras de levier $\bar{z} = 0,9h$ (h étant la hauteur utile), le moment de rupture des armatures de précontrainte de section w sera égal à : $M_{RA} = 0,9hwR_g$ où R_g = contrainte de rupture garantie pour les aciers

b) calcul du moment de rupture par le béton

Pour une section rectangulaire (dalle ou lame d'une poutre en Té), le moment de rupture du béton sera pris égal à $M_{RB1} = 0,35b_0h^2\sigma_n$

2) Section en Té

On ajoutera au moment de rupture de l'âme (M_{RB1}), le moment de rupture du hourdis de largeur totale b et d'épaisseur h_0 constituant la table de compression. Le moment de rupture du hourdis sera évalué par : $M_{RB2} = \min \begin{cases} M_{RB2.1} = 0,8(b-b_0)h_0(h - \frac{h_0}{2})\sigma_n \\ M_{RB2.2} = 0,35(b-b_0)h^2\sigma_n \end{cases}$

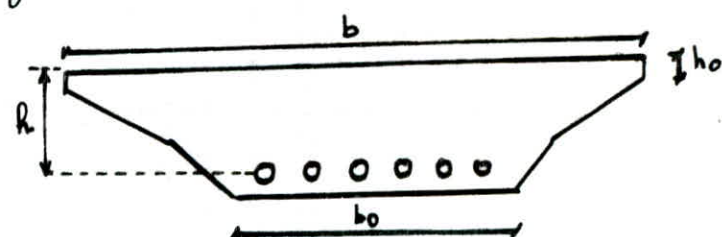
(*) Règles à observer

Le moment dû aux surcharges sera majoré de 80% et l'on calculera le moment total : $M_G + 1,8M_Q$

1) Sécurité par rapport au béton : on devra avoir $M_G + 1,8M_Q \leq 0,4M_{RB}$

2) Sécurité par rapport aux aciers : on devra avoir $M_G + 1,8M_Q \leq \begin{cases} 0,9M_{RA} & \text{si } M_f < M_{RA} \\ 0,9M_{RA} & \text{si } M_f \geq M_{RA} \end{cases}$

M_f : désigne le moment de fissuration qui est en général inférieur à M_{RA}



$$\cdot \sigma_{Pi} = \frac{N}{B} \left(1 + \frac{ev_i}{i} \right)$$

$$\cdot M_f = (\sigma_{Pi} + 2\sigma_n) \times \frac{I}{V_i}$$

$$\cdot M_{RB} = M_{RB1} + M_{RB2}$$

Sections	0	0,1L	0,2L	L	0,4L	0,5L
MRB ₁ (t.m)	3573,68	6552,78	9430,43	11808,83	13508,77	14060,48
MRB ₂ (t.m)	1201,54	1722,202	2127,28	2416,51	2589,89	2647,68
MRB (t.m)	4445,22	8274,98	11614,71	14313,53	16098,66	16708,16
0,7 MRB (t.m)	3342,65	5732,48	7132,39	10018,77	11269,06	11695,71
MRA (t.m)	4483,51	6071,19	7306,41	8188,36	8717,03	8893,26
0P ₀₀ (t.m ²)	448,041	913,929	1283,239	1552,263	1717,809	1777,523
Mf (t.m)	2615,04	3795,91	4692,19	5319,75	5694,69	5888,83
M _G + 1,8 M _R (t.m)	0	1839,02	3269,38	4291,06	4904,05	5107,71
0,9 MRA (t.m)	3576,81	4856,95	5845,43	6530,69	6973,62	7114,61
0,9 MRA (t.m)	4035,16	5464,07	6575,77	7369,52	7845,33	8003,93

Pour les différentes sections, le moment $M_G + 1,8 M_R$ est resté inférieur à $0,7 MRB$ pour le béton et à $0,9 M_{RA}$ pour les aciers, alors la sécurité par rapport aux aciers et au béton, à la rupture en flexion est assurée.

II. Sécurité à la rupture par effort tranchant

les surcharges sont affectées du coefficient 1,8 et on doit vérifier que la contrainte des bielettes ne dépasse pas $0,5 \sigma_{sp}$ et que la contrainte des armatures transversales est inférieure à 1,2 fois la limite élastique. L'effort tranchant sera : $T = T_G + 1,8 T_\phi - T_P$

• contrainte de cisaillement : $\tau = \frac{T \times s}{I \times b}$

• la contrainte admissible de cisaillement est donnée par la formule : $\bar{\tau}_b = \sqrt{\frac{\sigma'_G}{\sigma_{2g}} (\sigma_{2g} - \sigma_G) (\sigma'_{2g} + \sigma_G)}$

avec σ_G : contrainte de compression au niveau du centre de gravité (du béton)

$$\sigma_{2g} = 3500 t/m^2 \text{ et } \sigma'_{2g} = 280 t/m^2$$

En calculant la contrainte des étaiers : $\sigma_a' = \frac{\bar{\tau}_b \cdot b \cdot t_{et}}{w} \rightarrow w = \frac{\bar{\tau}_b \cdot b \cdot t_{et}}{\sigma_a'}$

w : déjà calculé (vérification des contraintes de cisaillement), on remarque que dans tous les cas et dans chaque section considérée, la condition $\sigma_a' \leq 1,2 \sigma_{en}$ n'est pas vérifiée, alors on recalcule w en prenant :

$$\sigma_a' = 1,2 \sigma_{en} = 50400 t/m^2$$

Section	0	0,1L	0,2L	0,3L	0,4L	0,5L
F Sind	518,25	416,44	343,69	201,17	104,77	0
T _G + 1,8 T _Q	790,09	654,45	511,91	371,27	214,11	96,78
T (t)	241,94	238,01	198,32	170,10	109,34	96,78
T _b (t)	31,733	27,260	22,553	19,313	12,415	10,991
σ _G (t/m ²)	448,049	449,709	451,300	452,924	454,57	456,183
T̄ _b (t/m ²)	421,613	421,979	422,328	422,684	423,044	423,396
tg γ	0,0708	0,0606	0,050	0,0424	0,0273	0,0241
w · 10 ⁴ (mt)	4,75	3,50	2,40	1,75	0,78	0,57

(*) En tenant compte de la torsion

Pour la vérification des contraintes de cisaillement, la contrainte de cisaillement due à la torsion doit être composée avec la contrainte de cisaillement due à l'effort tranchant.

- Contrainte de cisaillement : $\gamma = \frac{T \times S}{I \times b} + \tau_{xy}$
- On déterminera la section d'étaiement par métro l'indice de tablier $w = \frac{\tau_b \times b \times \operatorname{tg} \gamma}{\sigma_a}$
- L'épaisseur $t = \min \begin{cases} h_t (1,25 - 0,95 \tau_b / \tau_b) \\ b_{\min} (5 - 2 \tau_b / \tau_b) \\ 4 b_{\min} \end{cases}$
- $\operatorname{tg} \gamma = \frac{2 \tau_b}{\sigma_G}$

(*) Nous présentant ces calculs sous forme de tableau ($\sigma_a = 50400 \text{ t/m}^2$)

Section	b (m)	τ _b (t/m ²)	T̄ _b (t/m ²)	σ _G (t/m ²)	tg γ	t (m)	w · 10 ⁴ (mt)
0	10,6463	163,073	421,613	448,049	0,0708	1,06	84,39
0,1L	10,6890	152,18	421,979	449,709	0,0606	1,09	19,56
0,2L	10,7228	148,933	422,328	451,300	0,050	1,15	13,72
0,3L	10,7464	96,423	422,684	452,924	0,0424	1,24	8,72
0,4L	10,7799	53,145	423,044	454,57	0,0273	1,36	3,1
0,5L	10,7644	10,091	423,396	456,183	0,0241	1,47	0,57

D - VERIFICATION AU SEISME

Pour l'étude du tablier seulement, la combinaison des actions de calcul à considérer ne tient compte que de la composante sismique verticale S_v du fait que cette action est accidentelle. En effet cet effort vertical peut être ascendant ou descendant (plus prépondérant). L'effort est donné par l'expression

$$S_v = \pm E_v (G + 0,5Q)$$

E_v : coefficient de séismicité vertical ($E_v = 0,07$)

G : ossature + superstructure

Q : charges civiles

La sollicitation tenant compte de S_v est celle du 2^{em} sorte, tel que :

$$S = G + Q + S_v = G + Q \pm E_v (G + 0,5Q)$$

• Sous le moment max = M_2 $\longrightarrow S = G + Q + E_v (G + 0,5Q)$

• Sous le moment min = M_1 $\longrightarrow S = G + Q - E_v (G + 0,5Q)$

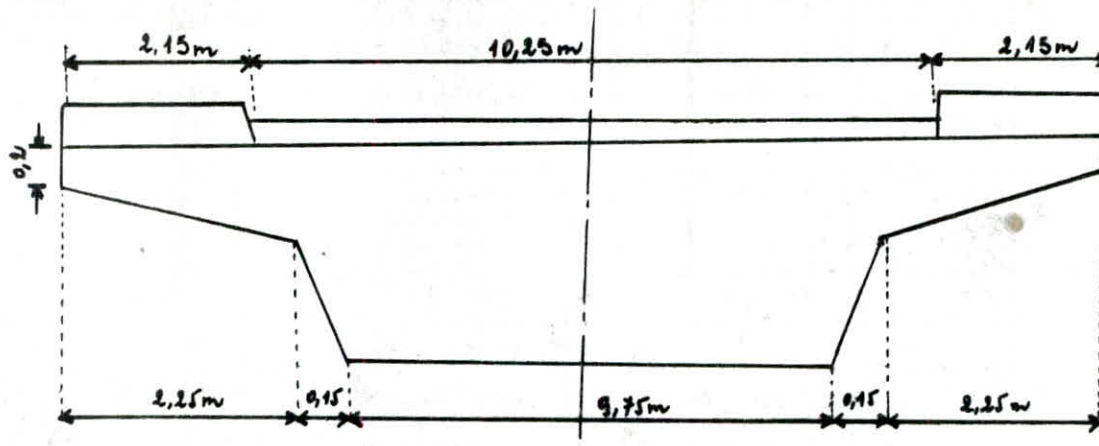
Les contraintes dues à ces deux sollicitations ne doivent dépasser les contraintes admissibles suivantes :

• compression : $\bar{\sigma}_b = 0,42 \sigma_{20} = 1470 \text{ t/m}^2$

• traction $\bar{\sigma}'_b = 0$

Section	M_2	$\bar{\sigma}_s$	$\bar{\sigma}_i$	M_1	$\bar{\sigma}_s$	$\bar{\sigma}_i$
0	0	448,041	448,041	0	448,041	448,041
0,1L	1646,25	593,201	276,269	1264,20	471,474	423,392
0,2L	2934,04	706,765	139,275	2252,79	487,659	406,191
0,3L	3850,92	796,171	42,999	2956,79	497,557	398,083
0,4L	4401,04	832,896	-12,68	3379,19	501,957	369,045
0,5L	4584,03	846,765	-26,156	3519,93	501,679	399,904

ETUDE DE LA FLEXION TRANSVERSALE



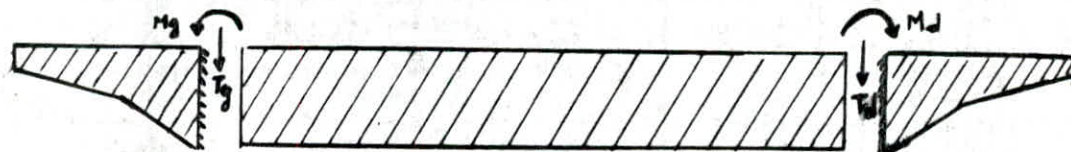
la dalle sera soumise à des efforts dus aux charges placées sur la dalle centrale et sur les encorbellements. Dans le calcul des moments transversaux, on doit distinguer trois cas :

1. les charges placées sur tout l'encorbellement ou sur une partie de celui-ci
2. les éléments de ces charges qui empêchent la dalle centrale
3. les charges placées sur la dalle centrale

Remarque :

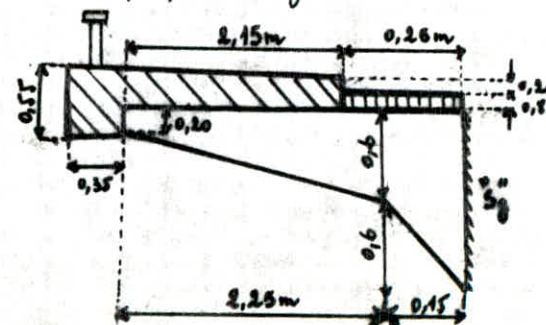
Les moments apportés dans la dalle centrale par les deux premiers cas sont cumulés car ils sont indépendants. Ils s'ajouteront au troisième cas s'ils donnent un effet défavorable.

Comme nous l'avons déjà supposé, les encorbellements sont parfaitement encastrés dans la dalle centrale. Nous avons donc les moments (M_g , M_d) et des efforts tranchants (T_g et T_d) dans les sections (S_g , S_d) respectivement



A. ETUDE DES ENCORBELLEMENTS

Les deux encorbellements ainsi que les deux trottoirs sont identiques, donc on fera l'étude d'un seul encorbellement (droite ou celui de gauche)



1) Efforts dûs au poids propre

	Poids Propre de l'encorbellement	trottoir	garde corps	revêtement	glaçage
Poids / m ²	2,5875	2,125	0,10	0,044	0,06
e (m)	0,955	1,628	2,5	0,125	0,75

avec e : excentricité de la résultante par rapport à la section d'encastrement "Sg"

$$M_G = 0,955 \times 2,5875 + 2,125 \times 1,628 + 0,10 \times 2,5 + 0,044 \times 0,125 + 0,06 \times 0,75 = -6,231 \text{ t.m/m}$$

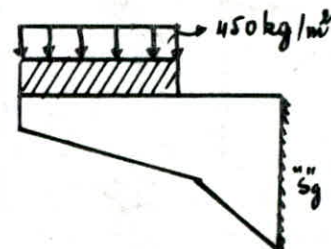
$$T_G = -4,916 \text{ t/m}$$

2) Efforts dûs aux surcharges de trottoir

a) Surcharge uniforme de 450 kg/m²

$$M^{sg} = -0,450 \times 2,15 \left(\frac{2,15}{2} + 0,25 \right) = -1,283 \text{ t.m/m}$$

$$T^{sg} = -0,450 \times 2,15 = -0,968 \text{ t/m}$$



b) roue isolée de 6t

On place la roue à l'extrémité du trottoir, c'est à dire tangente avec le garde corps, pour provoquer le moment maximum en "sg"

On diffuse cette surcharge sur un plan dont la distance à la fibre supérieure de l'encorbellement est déterminée par la position de la charge concentrée équivalente (milieu de la surcharge répartie)

$$\text{on a : } u = v = 2,5 \text{ cm}$$

$$h_0 = 0,20 + \frac{0,4 + 0,125}{2,25} = 0,333 \text{ m}$$

$$e_0 = 0,28 \text{ m}$$

c) diffusion verticale

$$u' = u + e_0 + \frac{b_0}{2} = 25 + 28 + \frac{22,5}{2} = 64,1 \text{ cm}$$

$$v' = v + 2e_0 + h_0 = 25 + 2 \times 28 + 22,5 = 103,5 \text{ cm}$$

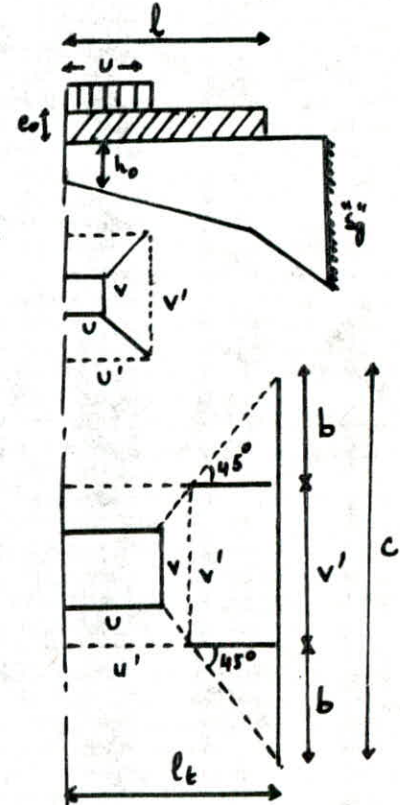
$$h_0 = 0,333 \text{ m}$$

d) diffusion longitudinale

$$C = 2b + v' \text{ avec } b = l_t \cdot v' = 2,5 \cdot 0,641 = 1,6025 \text{ m}$$

$$\Rightarrow C = 2 \times 1,6025 + 1,032 = 4,277 \text{ m}$$

$$M^{sg} = -\frac{6}{C} \left(b + \frac{v'}{2} \right) = -\frac{6}{4,277} \left(1,6025 + \frac{0,641}{2} \right) = -2,758 \text{ t.m/m}$$



$$T^{ss} = -\frac{6}{c} = -\frac{6}{4,741} = -1,266 \text{ t/m}^2$$

Remarque: la roue de 6t n'est pas cumulée avec les autres types de surcharges ou celles de trottoir

3) Efforts dus aux surcharges de chaussée

a) Surcharge Bc

(*) La distance entre la section d'encastrement de l'encorbellement et le bord intérieur du trottoir est égale à 0,25m, donc on ne peut placer plus d'une seule file de roues sur l'encorbellement

(**) Cette file de roue est assimilée à un impact de 1,75m de longueur (sens longitudinal) et de 0,25m de largeur (sens transversal)

(***) On prendra en compte les ensembles les plus lourds, c'est à dire les deux ensembles du camion Bc (12t → 2 roues de deux ensembles arrière)

$$U = 0,25 \text{ m} ; V = 1,75 \text{ m}$$

$$e_U = 0,08 \text{ m} ; h_O = 1,2 \text{ m}$$

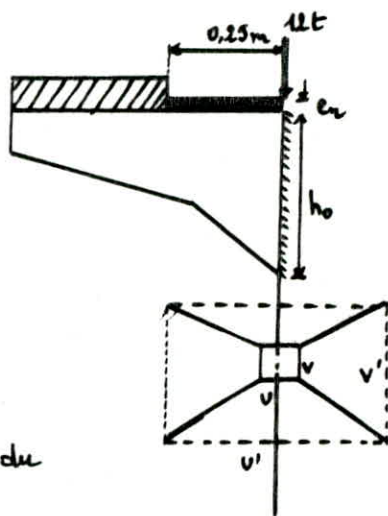
A l'encorbellement revient seulement le demi impact ($U/2$) transversalement (c.a.d $U'/2$)

$$U' = U + 1,5 e_U + h_O = 0,25 + 1,5 \cdot 0,08 + 1,2 = 1,57 \text{ m}$$

$$V' = V + 1,5 e_V + h_O = 1,75 + 1,5 \cdot 0,08 + 1,2 = 3,07 \text{ m} \quad (\text{diffusion longitudinale})$$

$$M^{ss} = 0$$

$$T^{ss} = -\frac{12}{V'} \cdot S_{bc} = -\frac{1,2}{3,07} \cdot 1,076 \cdot 1,2 = -5,047 \text{ t/m}^2$$



b) Surcharge Bt

La surcharge Bt doit être placée à au moins 0,50m du bord intérieur du trottoir. Dans notre cas on a la distance entre la section d'encastrement (T^{ss}) et le bord intérieur du trottoir qui est égal à 0,25m donc la surcharge Bt ne rentre pas dans l'étude de l'encorbellement

c) Surcharge Br

La roue isolée de rot ayant un rectangle d'impact de 0,60 transversalement d'où le centre de gravité sera situé en dehors de l'encorbellement donc elle n'intervient pas dans l'étude de celui-ci

d) Surcharge Mc120

La surcharge Mc120 à deux charnières de rectangle d'impact de 1,00m transversalement chacune donc en considérant la charnière posé sur l'encorbellement comme une charge concentrée, le

centre de gravité est situé en dehors de celui-ci, donc la surcharge M_{120} n'intervient pas dans le calcul de l'enrobage.

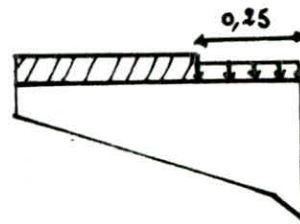
e) Surcharge A

Cette surcharge est appliquée entre le bord intérieur du trottoir et la section d'encastrement

$$A = 1,21 \text{ t/m}^2$$

$$M^{sy} = -1,21 \times 0,25 \cdot \frac{0,25}{2} = -0,038 \text{ t.m/m}$$

$$T^{sy} = -1,21 \times 0,25 = -0,303 \text{ t/m}$$



B. ETUDE DE LA DALLE CENTRALE

(*) Le moment fléchissant dans la dalle centrale est donné par l'expression suivante :

$$M_y(x,y) = \frac{1}{\sin \psi} \sum_{m=1}^{\infty} M_{0m} \cdot P_m \cdot b \cdot \sin \frac{m\pi x}{l} \quad (\text{par unité de longueur})$$

avec : M_{0m} : coefficient de flexion transversale

P_m : charge décomposée en série de Fourier

b : demi largeur équivalente

ψ : biais mécanique

(*) Nous calculerons les moments dans une bande située à mi-portée ($x = l/2$) et nous prendrons les trois premiers termes de la série de Fourier, on aura donc : $M_y\left(\frac{l}{2}, y\right) = (M_0 P_1 - M_{03} P_3 + M_{05} P_5) \frac{b}{\sin \psi}$

(*) les coefficients M_{0i} sont données par l'une des formules

$$0 < \theta \leq 0,1 \longrightarrow M_0 = M_0 + (M_{00} - M_0) \alpha^{0,05}$$

$$0,1 < \theta \leq 1 \longrightarrow M_0 = M_0 + (M_1 - M_0) \alpha^{1 - e^{-0,065 - \theta}}$$

$$\theta > 1 \longrightarrow M_0 = M_0 + (M_0 - M_0) \sqrt{\alpha}$$

$$\text{avec : } M_0 = M(\alpha=0; \theta; c/b; y/b)$$

$$M_1 = M(\alpha=1; \theta; c/b; y/b)$$

les valeurs de M_0 et M_1 sont données par les tableaux de Maronnet en prenant :

θ pour le calcul de M_0

3θ pour le calcul de M_{03}

5θ pour le calcul de M_{05}

(*) Une fois que les valeurs des M_{0i} seront calculées, on tracera les lignes d'influences pour les différentes fibres, puis nous disposerons les surcharges transversalement de telle façon à obtenir :

- les ordonnées μ_0 maximales positives
- les ordonnées μ_1 maximales négatives

(*) Tableaux donnant les valeurs de μ_0 et $\mu_1 (10^4)$ pour les différentes valeurs de θ

• μ_0 et $\mu_1 (10^4)$ pour $\theta = 0,25$

$\gamma \setminus e$	-b	$-\frac{3}{4}b$	$-\frac{b}{2}$	$-\frac{b}{4}$	0	$\frac{b}{4}$	$\frac{b}{2}$	$\frac{3}{4}b$	b	
0	μ_0	-2458,2650	-123,1700	-4,0100	1230,1650	2434,310	1230,1650	-4,0100	-123,17	-2458,265
	μ_1	-1635,3200	-887,3450	-81,8150	845,1700	1968,3850	845,1700	-81,8150	-887,3450	-1635,32
$\frac{b}{4}$	μ_0	-1312,825	-951,3950	-178,49	598,890	1284,005	2473,040	463,780	-1205,10	-2791,66
	μ_1	-1495,950	-900,660	-446,7550	179,140	938,440	1993,910	580,860	-541,040	-1591,345
$\frac{b}{2}$	μ_0	-946,345	-537,355	-154,870	224,67	614,890	1005,760	1402,745	-693,440	-2767,105
	μ_1	-1183,155	-975,183	-545,165	-164,49	298,14	982,9450	1637,315	93,530	-1337,83
$\frac{3}{4}b$	μ_0	-266,685	-162,93	-58,940	45,780	151,735	250,750	369,755	484,625	-1905,52
	μ_1	-691,38	-549,3150	-396,475	-220,370	-5,78	266,240	619,745	1085,595	-829,81
b	μ_0	0	0	0	0	0	0	0	0	0
	μ_1	0	0	0	0	0	0	0	0	0

• μ_0 et $\mu_1 (10^4)$ pour $3\theta = 0,75$

$\gamma \setminus e$	-b	$-\frac{3}{4}b$	$-\frac{b}{2}$	$-\frac{b}{4}$	0	$\frac{b}{4}$	$\frac{b}{2}$	$\frac{3}{4}b$	b	
0	μ_0	-144,565	-652,14	-129,34	589,945	1635,23	585,945	-129,34	-652,14	-144,565
	μ_1	-326,560	-268,270	-106,945	176,065	1002,39	176,065	-146,915	-368,280	-326,560
$\frac{b}{4}$	μ_0	-627,90	-454,035	-242,315	98,155	661,770	1564,64	385,755	-695,76	-1621,43
	μ_1	-229,40	-226,91	-206,935	-143,925	195,955	989,085	132,875	-236,28	-435,70
$\frac{b}{2}$	μ_0	-270,715	-232,425	-126,99	-62,75	142,46	597,165	1256,43	-378,96	-1924,99
	μ_1	-150,43	-165,39	-180,43	-116,865	-100,47	171,075	941,285	7,93	-518,845
$\frac{3}{4}b$	μ_0	-64,55	-64,765	-60,69	-41,105	12,275	122,46	310,32	580,595	-1999,775
	μ_1	-80,77	-94,84	-113,12	-132,00	-134,385	-75,02	152,45	784,965	-465,12
b	μ_0	0	0	0	0	0	0	0	0	0
	μ_1	0	0	0	0	0	0	0	0	0

• μ_0 et $\mu_1 (10^4)$ pour $5\theta = 1,25$

$\gamma \setminus e$	-b	$-\frac{3}{4}b$	$-\frac{b}{2}$	$-\frac{b}{4}$	0	$\frac{b}{4}$	$\frac{b}{2}$	$\frac{3}{4}b$	b	
0	μ_0	-91,0475	-170,030	-186,3425	60,270	305,225	60,270	-186,3425	-170,030	-91,0475
	μ_1	-68,0150	-85,2075	-96,4125	0,3550	634,710	0,3550	-96,4125	-85,2075	-68,015
$\frac{b}{4}$	μ_0	27,0225	-68,025	-158,0675	-174,255	74,3525	923,305	60,0225	-261,1375	-402,45
	μ_1	-32,5475	-43,205	-47,4075	-90,0225	1,1650	629,9925	-92,7125	-122,6625	-134,075
$\frac{b}{2}$	μ_0	37,7975	-13,705	-74,3425	-137,8525	-131,045	133,6575	933,9425	-130,9325	-190,335
	μ_1	-15,0525	-23,825	-44,060	-69,265	-91,570	-6,2575	640,2775	-60,4425	-236,035
$\frac{3}{4}b$	μ_0	14,4375	0,820	-17,390	-44,305	-67,7125	-35,935	459,0795	637,3225	-1182,15
	μ_1	-6,3650	-10,6625	-19,605	-37,4525	-65,9475	-79,7125	-15,765	549,7375	-312,935
b	μ_0	0	0	0	0	0	0	0	0	0
	μ_1	0	0	0	0	0	0	0	0	0

1) tableau donnant μ_{α_1} pour $\beta = 0,25$, $\omega = 0,833$

$$0,1 \leq \beta \leq 1 \rightarrow \mu_{\alpha_1} = \mu_0 + (\mu_1 - \mu_0) \alpha^{1 - e^{\frac{0,065-\beta}{0,663}}} = \mu_0 + (\mu_1 - \mu_0) 0,956$$

$(\mu_{\alpha_1} \times 10^4)$

y \ e	-b	$-\frac{3}{4}b$	$-\frac{1}{2}b$	$-\frac{1}{4}b$	0	$\frac{1}{4}b$	$\frac{1}{2}b$	$\frac{3}{4}b$	b
0	-1671,530	-902,544	-78,392	862,110	1990,655	862,110	-78,392	-902,544	-1671,530
$\frac{b}{4}$	-1505,969	-988,932	-434,959	197,609	958,016	1906,454	586,148	-510,259	-1648,559
$\frac{b}{2}$	-1177,415	-860,934	-528,111	-147,367	311,919	887,529	1626,994	58,903	-1401,620
$\frac{3}{4}b$	-672,693	-532,314	-381,623	-208,659	1,155	265,954	608,745	1059,020	-877,141
b	0	0	0	0	0	0	0	0	0

2) tableau donnant μ_{α_3} pour $3\beta = 0,75$, $\omega = 0,833$

$$0,1 < 3\beta < 1 \rightarrow \mu_{\alpha_3} = \mu_0 + (\mu_1 - \mu_0) \alpha^{1 - e^{\frac{0,065-\beta}{0,663}}} = \mu_0 + (\mu_1 - \mu_0) 0,889$$

$(\mu_{\alpha_3} \times 10^4)$

y \ e	-b	$-\frac{3}{4}b$	$-\frac{1}{2}b$	$-\frac{1}{4}b$	0	$\frac{1}{4}b$	$\frac{1}{2}b$	$\frac{3}{4}b$	b
0	-413,69	-310,888	-144,964	221,563	1072,685	221,563	-144,964	-310,888	-413,696
$\frac{b}{4}$	-273,634	-252,421	-210,993	-91,050	289,730	1052,933	158,775	-287,293	-564,316
$\frac{b}{2}$	-163,783	-172,831	-180,047	-164,193	-70,135	223,705	976,222	-35,045	-674,927
$\frac{3}{4}b$	-78,970	-91,504	-103,289	-121,944	-118,406	-53,400	168,934	762,279	-591,00
b	0	0	0	0	0	0	0	0	0

3) tableau donnant μ_{α_5} pour $5\beta = 1,25$, $\omega = 0,833$

$$5\beta > 1 \rightarrow \mu_{\alpha_5} = \mu_0 + (\mu_1 - \mu_0) \sqrt{\alpha} = \mu_0 + (\mu_1 - \mu_0) 0,913$$

$(\mu_{\alpha_5} \times 10^4)$

y \ e	-b	$-\frac{3}{4}b$	$-\frac{1}{2}b$	$-\frac{1}{4}b$	0	$\frac{1}{4}b$	$\frac{1}{2}b$	$\frac{3}{4}b$	b
0	-30,019	-92,587	-104,234	5,568	658,300	5,568	-104,234	-92,587	-30,019
$\frac{b}{4}$	-27,365	-49,016	-79,221	-93,667	7,532	658,511	-6,379	-135,627	-157,433
$\frac{b}{2}$	-10,455	-23,945	-43,949	-75,232	-95,091	5,928	638,433	-66,535	-292,959
$\frac{3}{4}b$	-4,555	-9,664	-19,485	-38,049	-65,987	-95,034	-0,559	567,357	-387,977
b	0	0	0	0	0	0	0	0	0

(*) Détermination des moments dans les différentes fibres

a) détermination des moments positifs en disposant les charges sur la dalle centrale

Surcharge $M_{di} (10^4)$	charge permanente G	A			Bc			B_2	$M_c 120$
		1 voie	2 voies	3 voies	1 convoi	2 convois	3 convois		
$y=0$	M_{d1}	2949,398	4659,166	5303,664	-	2388,84	4260,098	2309,219	1990,65
	M_{d3}	951,281	2070,675	2488,645	-	836,094	1712,00	915,422	1072,670
	M_{d5}	418,165	1025,63	722,344	-	378,263	1035,164	517,582	658,300
$y=\frac{b}{4}$	M_{d1}	2675,322	4284,47	4982,895	-	2037,150	3660,47	3015,374	1906,45
	M_{d3}	978,158	1978,731	1931,689	-	781,665	1639,580	1260,569	1052,97
	M_{d5}	446,242	994,440	661,424	-	324,105	922,315	688,33	655,544
$y=\frac{b}{2}$	M_{d1}	2046,458	3451,446	3981,058	-	1569,92	2928,60	1993,674	1616,994
	M_{d3}	821,368	1764,438	1567,683	-	610,125	1422,63	1033,167	976,221
	M_{d5}	451,141	889,981	625,052	-	235,915	601,990	567,087	638,437
$y=\frac{3b}{4}$	M_{d1}	904,155	2320,387	2476,078	-	1535,57	1678,325	1494,365	1059,02
	M_{d3}	369,380	1044,274	866,453	-	146,999	614,754	458,94	762,279
	M_{d5}	256,874	589,913	323,489	-	557,357	211,800	288,454	557,357

b) détermination des moments négatifs en disposant les charges sur la dalle centrale.

Surcharge $M_{di} (10^4)$	charge permanente G	A			Bc			B_2	$M_c 120$
		1 voie	2 voies	3 voies	1 convoi	2 convois	3 convois		
$y=0$	M_{d1}	-744,715	-1294,295	-	-1272,892	-2545,624	-773,907	-1434,42	-
	M_{d3}	-367,284	-723,957	-	-493,337	-986,674	-329,743	-338,419	-
	M_{d5}	-326,346	-590,462	-	-163,862	-367,724	-29,305	-79,628	-
$y=\frac{b}{4}$	M_{d1}	-1723,708	-181,354	-	-1597,916	-1926,778	-1607,458	-1162,965	-645,762
	M_{d3}	-623,769	-	-	-477,808	-705,933	-801,258	-266,94	-299,784
	M_{d5}	-228,908	-	-	-117,359	-276,350	-409,805	-47,663	-187,912
$y=\frac{b}{2}$	M_{d1}	-1906,765	-	-	-1478,044	-284,217	-577,147	-977,63	-926,077
	M_{d3}	-871,405	-	-	-359,017	-	-	-178,930	-335,531
	M_{d5}	-157,566	-	-	-60,189	-	-	-24,405	-104,295
$y=\frac{3b}{4}$	M_{d1}	-1362,219	-	-	-964,073	-1253,903	-994,678	-582,450	-701,751
	M_{d3}	-555,819	-	-	-192,019	-479,701	-346,774	-84,72	-212,202
	M_{d5}	-93,758	-	-	-30,075	-108,500	-247,147	-10,59	-52,024

les charges disposées sur la dalle centrale seront remplacées par des charges développées en série de Fourier

- Pour une charge unitaire Partielle on a: $P_m = \frac{4P}{m\pi} \sin \frac{m\pi c}{l} \times \sin \frac{m\pi d}{l}$

- Pour une charge uniformément répartie: $P_m = \frac{4P}{m\pi} \sin \frac{\pi m}{2}$

- Pour une charge concentrée-----; $P_m = \frac{2P}{l} \sin \frac{m\pi d}{l}$

avec $m = (1, 3, 5)$

3) Surcharge A

- une ou deux voies chargées $A = 1,21 \text{ t/m}^2$
- trois voies chargées $A = 1,10 \text{ t/m}^2$

P_{nv}	P ₁ (t/m^2)	P ₃ (t/m^2)	P ₅ (t/m^2)
1 ou 2 voies chargées $A = 1,21 \text{ t/m}^2$	1,541	0,770	0,514
3 voies chargées $A = 1,10 \text{ t/m}^2$	1,401	0,700	0,467

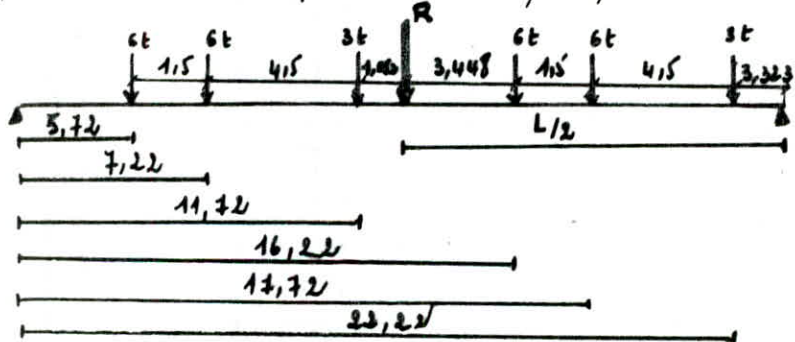
b) charge permanente G

$$\text{On a : } P = 2,5 \times 1,2 = 3 \text{ t/m}^2$$

P_{nv}	P ₁ (t/m^2)	P ₃ (t/m^2)	P ₅ (t/m^2)
$P = 3 \text{ t/m}^2$	3,820	1,273	0,764

c) Surcharge B_C

Nous allons calculer P₁, P₃, P₅ du système B_C pour une file de zone avec dij: distance du point d'application d'une roue de la file à l'extrémité de la travée. Le système B_C comporte deux camions longitudinalement qu'on placera de telle sorte que la résultante passe par le milieu de la travée.



$$\text{Avec } L = 25,543 \text{ m}$$

les résultats sont résumés dans le tableau suivant :

P (t)	d (m)	P ₁ (t/m^2)	P ₃ (t/m^2)	P ₅ (t/m^2)
6	5,72	0,3039	0,4030	-0,1725
6	7,22	0,3645	0,2159	-0,4525
3	11,72	0,2329	-0,2174	0,1875
6	16,22	0,4283	-0,1381	-0,2455
6	11,72	0,3854	0,1185	-0,4675
3	22,22	0,0933	0,2211	0,2091
Total		1,8082	0,6030	-0,9414

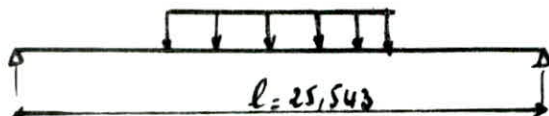
d) La surcharge Br

La surcharge Br (roue isolée de 10t) est placée à mi-trave $\rightarrow d = \frac{L}{2} = \frac{25,543}{2} = 12,7715 \text{ m}$

<u>Surcharge</u> P_{Br}	P_1	P_3	P_5
$P = 10 \text{ t}$	0,7830	- 0,7830	0,7830

e) Surcharge militaire $M_c 120$

On placera une chenille au milieu de la dalle



$$P = \frac{110}{6,1} = 18,03 \text{ t/ml}$$

$$2C = 6,1 \text{ m} \rightarrow C = 3,05 \text{ m}$$

$$d = \frac{L}{2} = 12,772 \text{ m}$$

<u>Surcharge</u> $P_{M_c 120}$	P_1	P_3	P_5
$P = 18,03 \text{ t/ml}$	8,441 t/ml	- 6,9055 t/ml	4,3796 t/ml

(*) les valeurs des moments trouvées sont résumées dans le tableau suivant

les valeurs des moments sont dues aux charges et surcharges entièrement disposées sur la dalle centrale.

	G	A	Bc	Br	$M_c 120$					
	1 voie	3 voies	5 voies	1 convoi	2 convois	3 convois				
$y=0$	P_1	3,820	1,541	1,541	1,401	3,616	7,233	14,949	0,783	8,441
	P_3	1,273	0,770	0,770	0,700	1,206	2,412	3,618	-0,483	-6,906
	P_5	0,764	0,544	0,544	0,467	-1,993	-3,766	-5,648	0,793	4,380
$y=\frac{b}{4}$	$M^+(t.m/ml)$	5,931	3,628	4,070	-	4,117	13,524	14,168	1,729	13,481
	$M^-(t.m/ml)$	-	-0,582	-1,033	-	-2,174	-8,694	-4,202	-0,749	/
$y=\frac{b}{2}$	$M^+(t.m/ml)$	5,530	3,318	3,877	-	3,580	11,194	13,692	1,680	14,834
	$M^-(t.m/ml)$	-	-1,369	-0,166	-	-2,956	-6,644	-6,642	-0,687	-4,941
$y=\frac{3b}{4}$	$M^+(t.m/ml)$	4,888	2,639	3,415	-	2,695	9,620	15,192	1,507	13,957
	$M^-(t.m/ml)$	-	-1,394	-	-	-2,870	-1,229	-3,747	-0,549	-6,270
$y=b$	$M^+(t.m/ml)$	1,888	1,825	1,967	-	2,067	5,852	7,645	1,106	10,258
	$M^-(t.m/ml)$	-	-1,409	-	-	-1,999	-4,976	-4,678	-0,345	-4,593

C. ETUDE DES MOMENTS APPORTES DANS LA DALLE CENTRALE PAR LES CHARGES ET SURCHARGES PLACEES SUR LES ENCORBELLEMENTS

les moments provoqués en différentes fibres de la dalle centrale liés à ces surcharges sont donnés par les formules suivantes (documentation SETRA)

1.) Pour les efforts agissant sur l'encorbellement de gauche:

$$M = \frac{4b}{T \sin \psi} \left[M^{sg} \sum_{n=1}^{\infty} \frac{1}{n} (P_i)_{sg} \times \sin \frac{n\pi c}{2a} \times \sin \frac{n\pi d}{2a} \times \sin \frac{n\pi x}{2a} + T^{sg} \sum_{n=1}^{\infty} \frac{1}{n} (\mu)_{sg} \sin \frac{n\pi c}{2a} \sin \frac{n\pi d}{2a} \sin \frac{n\pi x}{2a} \right]$$

2.) Pour les efforts agissant sur l'encorbellement de droite

$$M = \frac{4b}{T \sin \psi} \left[M^{sd} \sum_{n=1}^{\infty} \frac{1}{n} (P_i)_{sd} \sin \frac{n\pi c}{2a} \sin \frac{n\pi d}{2a} \sin \frac{n\pi x}{2a} + T^{sd} \sum_{n=1}^{\infty} \frac{1}{n} (\mu)_{sd} \sin \frac{n\pi c}{2a} \sin \frac{n\pi d}{2a} \sin \frac{n\pi x}{2a} \right]$$

avec:

- b : demi largeur équivalente

- $(\mu_n)_s$: ordonnée de la ligne d'influence du coefficient transversal pour la fibre considérée au niveau de la section

- $(P_i)_s$: pente de la tangente à la courbe μ_n de la fibre considérée au niveau de la section

- (M^{sg}, T^{sg}) et (M^{sd}, T^{sd}) sont les efforts dans la section d'encastrement gauche et droite (encorbellement - dalle centrale)

- c : demi diffusion longitudinale

- d position longitudinale du centre de gravité de la charge

- x : abscisse de la section considérée : $x = a$ (mi-portée)

(*) Moments apportés dans la dalle centrale sous la charge permanente dissipée par les encorbellements

a) Encorbellement droit

$$a = c = d = x = 12,7715 \text{ m} ; b = 5,9325 \text{ m} ; M_6^{sg} = -6,231 \text{ kNm/m} ; T_6^{sg} = +4,916 \text{ kNm}$$

		Fibre 1 $y=0$	Fibre 2 $y=\frac{b}{4}$	Fibre 3 $y=\frac{b}{2}$	Fibre 4 $y=\frac{3b}{4}$					
$\frac{1}{n} \sin \frac{n\pi}{2a} x$	$\sin \frac{n\pi c}{2a} \sin \frac{n\pi d}{2a}$	μ_n	Pente	μ_n	Pente	μ_n	Pente			
1	1	1	-0,4013	-0,0442	-0,3638	-0,0429	-0,2870	-0,0671	-0,2583	-0,1487
3	-0,333	1	-0,1627	-0,0061	-0,1350	-0,0159	-0,1601	-0,0258	-0,1876	-0,0980
5	0,2	1	-0,0647	+0,0017	-0,0389	+0,0008	-0,0761	-0,0142	-0,1864	-0,0642
moments (kNm)		-11,792	-10,353	-6,358	-2,156					

b) Encorbellement gauche

$$M_g^{ij} = -6,231 t \cdot m / ml, \quad T_g^{ij} = -4,916 t / ml$$

			Fibre 1 $y=0$		Fibre 2 $y=\frac{b}{4}$		Fibre 3 $y=\frac{b}{2}$		Fibre 4 $y=\frac{3}{4}b$	
			μ_m	Pente	μ_m	Pente	μ_m	Pente	μ_m	Pente
1	1	1	-0,4013	-0,0442	-0,3683	-0,0302	-0,2851	-0,0190	-0,1617	-0,0079
3	-0,333	1	-0,1027	-0,0061	-0,0663	-0,0008	-0,0371	0,0020	-0,0165	+0,0013
5	0,2	1	-0,0167	+0,0017	-0,0137	+0,0012	-0,010	+0,0007	-0,0043	+0,0004
moment (t.m)			+13,731		+14,361		11,200		6,2380	

(*) Moments apportés dans la dalle centrale sous la charge des trottoirs (450 kg/m²)

b) Encorbellement droit

$$a=c=d=x=12,7715 \text{ m}, \quad b=5,8925 \text{ m}, \quad M_t^{ij}=-1,282 t \cdot m / ml, \quad T_t^{ij}=+0,968 t / ml$$

			Fibre 1 $y=0$		Fibre 2 $y=\frac{b}{4}$		Fibre 3 $y=\frac{b}{2}$		Fibre 4 $y=\frac{3}{4}b$	
			μ_m	Pente	μ_m	Pente	μ_m	Pente	μ_m	Pente
1	1	1	-0,3745	-0,0442	-0,3505	-0,0429	-0,2903	-0,0671	-0,2919	-0,1487
3	-0,333	1	-0,0920	-0,0061	-0,1271	-0,0151	-0,1539	-0,0258	-0,1910	-0,0980
5	0,2	1	-0,0128	+0,0017	-0,0328	+0,0008	-0,0714	-0,0142	-0,1269	-0,0649
moments (t.m)			-2,129		-1,937		-1,260		-0,634	

b) Encorbellement gauche

$$a=c=d=x=12,7715; \quad b=5,8925; \quad M_g^{ij}=-1,282 t \cdot m / ml, \quad T_g^{ij}=-0,968 t / ml$$

			Fibre 1 $y=0$		Fibre 2 $y=\frac{b}{4}$		Fibre 3 $y=\frac{b}{2}$		Fibre 4 $y=\frac{3}{4}b$	
			μ_m	Pente	μ_m	Pente	μ_m	Pente	μ_m	Pente
1	1	1	-0,3745	-0,0442	-0,3484	-0,0302	-0,2606	-0,0190	-0,1480	-0,0079
3	-0,333	1	-0,0920	-0,0061	-0,0594	-0,0008	-0,0315	+0,0020	-0,0101	+0,0013
5	0,2	1	-0,0128	+0,0017	-0,0061	+0,0012	-0,0047	+0,0007	-0,0011	+0,0004
moments (t.m)			+2,939		+2,701		+2,021		+1,128	

(*) Moments apportés dans la dalle centrale pour la charge A disposée sur les encorbellements

2) Encorbellement droit

$$a=c=d=x=11,7715; b=5,8925; M_A^{''j''} = -0,038 \text{ t.m/ml}; T_A^{''j''} = 9303 \text{ t/ml}$$

			Fibre 1 $y=0$	Fibre 2 $y=\frac{b}{4}$	Fibre 3 $y=\frac{b}{2}$	Fibre 4 $y=\frac{3}{4}b$				
			μ_n	Pente	μ_n	Pente	μ_n	Pente	μ_n	Pente
			$\frac{1}{n} \sin \frac{n\pi x}{2a}$	$\sin \frac{n\pi x}{2a} \sin \frac{n\pi d}{2a}$						
1	1	1	-0,0341	-0,0442	-0,0257	-0,0429	-0,0146	-0,0671	+0,0064	-0,1487
3	-0,333	1	-0,0142	-0,0061	-0,0102	-0,0151	-0,0081	-0,0258	+0,0050	-0,0980
5	0,2	1	-0,0021	+0,0047	-0,0037	+0,0008	-0,0041	-0,0142	+0,0037	-0,0649
moments (t.m)			-0,049	-0,042	-0,012		-0,050			

b) Encorbellement de gauche

$$M_A^{''j''} = -0,038 \text{ t.m/ml}; T_A^{''j''} = -0,383 \text{ t/ml}$$

			Fibre 1 $y=0$	Fibre 2 $y=\frac{b}{4}$	Fibre 3 $y=\frac{b}{2}$	Fibre 4 $y=\frac{3}{4}b$				
			μ_n	Pente	μ_n	Pente	μ_n	Pente	μ_n	Pente
			$\frac{1}{n} \sin \frac{n\pi x}{2a}$	$\sin \frac{n\pi x}{2a} \sin \frac{n\pi d}{2a}$						
1	1	1	-0,0341	-0,0442	-0,0300	-0,0308	-0,0246	-0,0190	-0,0147	-0,0079
3	-0,333	1	-0,0142	-0,0061	-0,0067	-0,0008	-0,0043	+0,0020	-0,0022	+0,0013
5	0,2	1	-0,0021	+0,0047	-0,0041	+0,0012	-0,0005	+0,0009	-0,0003	+0,0004
moments (t.m)			+0,073	+0,072	+0,059		+0,035			

(*) Moments apportés dans la dalle centrale pour la charge Bc disposée sur l'encorbellement

2) Encorbellement droit

$$a=d=x=11,7715 \text{ m}; b=5,8925 \text{ m}; c=1,535 \text{ m} \quad M_{Bc}^{''j''} = 0 \quad T_{Bc}^{''j''} = +5,0447 \text{ t/ml}$$

			Fibre 1 $y=0$	Fibre 2 $y=\frac{b}{4}$	Fibre 3 $y=\frac{b}{2}$	Fibre 4 $y=\frac{3}{4}b$				
			μ_n	Pente	μ_n	Pente	μ_n	Pente	μ_n	Pente
			$\frac{1}{n} \sin \frac{n\pi x}{2a}$	$\sin \frac{n\pi x}{2a} \sin \frac{n\pi d}{2a}$						
1	1	0,188	-0,0494	-0,0442	-0,0315	-0,0429	-0,0423	-0,0671	+0,0064	-0,1487
3	-0,333	-0,537	-0,0558	-0,0061	-0,0391	-0,0151	-0,0247	-0,0258	+0,0318	-0,0980
5	0,2	0,89	-0,0020	+0,0047	-0,0153	+0,0008	-0,0146	-0,0142	+0,0242	-0,0649
moments (t.m)			-1,150	-1,010	-0,582		0,650			

b) Encorbellement gauche

$$M_{Bc}^{(g)} = 0 \quad T_{Bc}^{(g)} = -5,047 t / \text{mL}$$

		Fibre 1 $y=0$		Fibre 2 $y=\frac{b}{4}$		Fibre 3 $y=\frac{b}{2}$		Fibre 4 $y=\frac{3}{4}b$		
		μ_i	Peute	μ_i	Peute	μ_i	Peute	μ_i	Peute	
1	1	0,188	-0,1190	-0,0442	-0,1163	-0,0302	-0,0960	-0,0190	-0,0582	-0,0079
3	-0,333	-0,537	-0,0358	-0,0061	-0,0267	-0,0008	-0,0179	+0,0020	-0,0085	+0,0013
5	0,21	0,81	-0,0080	+0,0017	-0,0038	+0,0012	-0,0016	+0,0007	-0,0011	+0,0004
moments (t.m)			1,150		1,039		0,820		0,4821	

Remarque:

les effets dûs aux charges placées sur l'encorbellement de droite ne sont cumulés à ceux dûs aux mêmes charges placées sur l'encorbellement de gauche que si ils ont le même signe (négatif)

(*) tableau récapitulatif des moments apportés dans la dalle centrale par les surcharges disposées sur les encorbellements

Fibre	charge permanente	surcharge de trottoir	surcharge A	surcharge Bc
1	+3,939	-2,129	-0,049	-1,150
2	+4,008	-1,937	-0,0421	-1,010
3	+4,842	-1,260	-0,0121	-0,582
4	+4,0821	-0,684	+0,050	+0,6521

D. MOMENTS DUS AUX SURCHARGES EMPIETANT SUR LA DALLE CENTRALE

les éléments de ces charges qui empiètent sur la dalle centrale sont :

- . 2^{ème} roue d'un camion Bc
- . 2^{ème} cerclille d'un M_c 120
- . élément d'une voie chargée par A

On calculera les moments dûs à ces surcharges dans les différentes fibres

(*) Détermination des coefficients μ_i correspondant à ces surcharges

Notation : μ_i^d : ordonnée de la ligne d'influence du coefficient transversal correspondant aux

charges empêtant la dalle centrale à partir de l'encorbellement de droite

M_i^d : à partir de l'encorbellement de gauche

Tableau donnant les valeurs des coefficients de flexion transversale correspondant aux charges empêtant la dalle centrale

	$y = 0$		$y = \frac{b}{4}$		$y = \frac{b}{2}$		$y = \frac{3}{4}b$	
	$M_c^d (10^9)$	$M_c^g (10^9)$	$M_c^d (10^9)$	$M_c^g (10^9)$	$M_c^d (10^9)$	$M_c^g (10^9)$	$M_c^d (10^9)$	$M_c^g (10^9)$
B_C	M_1	-78,392	-78,392	586,148	-434,951	1626,994	-528,111	608,745
	M_3	-144,964	-144,964	153,175	-210,898	976,222	-180,047	169,974
	M_5	-104,234	-104,234	-6,379	-79,221	638,432	-43,919	-0,559
A	M_1	-1756,43	-1756,43	+803,55	-1762,65	+2684,28	-1875,80	+2073,72
	M_3	-713,34	-713,34	+328,30	-623,77	+1348,17	-557,67	+1265,78
	M_5	-248,12	-248,12	+175,10	-207,92	+761,10	126,743	+563,20

Le tableau ci-dessous résume les valeurs des moments dans les différentes fibres

Notation: • (P_1, P_3, P_5) : charges décomposées en série de Fourier

• (E_g, E_d) : moments dus aux charges empêtant la dalle centrale à partir des encorbellements gauche et droite respectivement

	Surcharge A		Surcharge B_C	
P_1	1,541		1,8082	
P_3	0,770		0,6030	
P_5	0,514		-0,9414	
$y=0$	E_d^d	-1,356	+0,026	
	E_d^g	-1,356	+0,026	
$y=\frac{b}{4}$	E_d^d	+0,638	+0,578	
	E_d^g	-1,391	-0,347	
$y=\frac{b}{2}$	E_d^d	+2,071	+1,040	
	E_d^g	-1,499	-0,478	
$y=\frac{3}{4}b$	E_d^d	+1490	+0,593	
	E_d^g	-1,054	-0,360	

E. DETERMINATION DES MOMENTS TRANSVERSAUX FINALS

les moments apportés dans la dalle centrale par les charges placées sur les encorbellements et les éléments de ces charges qui empêtent sur la dalle centrale sont cumulés puisqu'elles sont indissociables, ils viennent s'ajouter aux moments dus aux charges placées sur la dalle centrale s'ils sont défavorables pour l'effet

que l'on a en vue (moments positifs ou négatifs)

Les moments trouvés seront résumés dans les tableaux suivant avec :

D : moment dans la dalle centrale

Eg : moment apporté par les surcharges sur l'encombrement de gauche

Ed : moment apporté par les surcharges sur l'encombrement de droite

$M > 0$	G	A	B_C	B_Z	M_{c120}	Surcharge 450 kg/m ² sur la batteuse
$y=0$	D	5,931	4,070	13,524	1,729	13,481
	Ed	-	-	-	-	-
	Eg	15,731	-	1,176	-	2,939
$y=\frac{b}{4}$	D	5,530	3,877	13,692	1,680	14,934
	Ed	-	0,596	-	-	-
	Eg	14,361	-	0,692	-	2,701
$y=\frac{b}{2}$	D	4,224	3,115	15,192	1,507	13,957
	Ed	-	2,059	0,458	-	-
	Eg	11,200	-	0,342	-	2,029
$y=\frac{3b}{4}$	D	1,887	1,967	7,645	1,106	10,258
	Ed	-	1,154	1,245	-	-
	Eg	6,238	-	0,122	-	1,128

$M < 0$	G	A	B_C	B_Z	M_{c120}	Surcharge 450 kg/m ² sur la batteuse
$y=0$	D	-	-1,033	-8,694	-0,749	-
	Ed	-11,796	-1,405	-1,124	-	-2,129
	Eg	-	-1,283	-	-	-
$y=\frac{b}{4}$	D	-	-1,361	-6,644	-0,687	-4,949
	Ed	-10,353	-	-0,432	-	-1,037
	Eg	-	-1,319	-	-	-
$y=\frac{b}{2}$	D	-	-1,394	-3,777	-0,549	-6,270
	Ed	-6,358	-	-	-	-1,260
	Eg	-	-1,44	-	-	-
$y=\frac{3b}{4}$	D	-	-1,109	-4,976	-0,315	-4,573
	Ed	-2,156	-	-	-	-0,634
	Eg	-	-1,019	-	-	-

F - PRISE EN COMPTE DU COEFFICIENT DE POISSON

Il résulte des études effectuées par M. ROWE que la valeur, non nulle dans le pratique, du coefficient de poisson ν , n'a qu'une influence très faible sur les valeurs des moments de flexion longitudinale. Il n'en est pas de même pour ce qui concerne les moments de flexion transversale.

Les moments principaux transversaux les plus importants se produisant en des points proches de l'axe longitudinal de la dalle, on recherche les valeurs prises en ces points par les moments

principaux longitudinaux

$$M_y(x,y) = K \cdot \sqrt{M_x}$$

avec : M_x : moment longitudinal à mi-travée par mètre linéaire de largeur ($x = \frac{b}{2}$)

$$K = \begin{cases} 1 & \text{si } \frac{b}{a} \geq 1 \\ \frac{b}{a} & \text{si } \frac{b}{a} < 1 \end{cases} \quad \begin{aligned} b: & \text{ demi largeur équivalente} \\ a = \frac{b}{2}: & \text{ demi longueur biaise} \end{aligned}$$

$$\text{on a dans notre cas: } \frac{b}{a} = \frac{5,9925}{12,4415} = 0,461 < 1 \implies K = 0,461$$

ν : coefficient de Poisson ; $\nu = 0,2$ pour les dalles en béton précontraint

Les moments transversaux dus aux différentes charges et surcharges en tenant compte de l'influence du coefficient de poisson sont résumés dans le tableau suivant

	G	A	Bc	M _{c120}	frottoir
$M_y = K \cdot \sqrt{M_x} (\text{t.m/m largeur})$	26,032	7,315	5,888	6,114	0,423

G. MOMENT TRANSVERSAL DÜ A LA PRECONTRAINTE

Nous calculerons le moment dû à la précontrainte à mi-travée avec :

$$M_{T_p} = K \cdot \sqrt{M_{L_p}} \quad \text{avec:} \quad M_{L_p}: \text{moment longitudinal de précontrainte}$$

$$K = 0,461$$

$$\nu = 0,2 \quad \text{coefficient de poisson}$$

$$M_{L_p} = N_{90j} \times e \quad \text{avec } N_{90j} = \text{force de précontrainte à } 90j$$

e: excentricité de la force de précontrainte par rapport à l'axe neutre

ce qui nous donne un moment transversal par mètre linéaire de largeur :

$$M_{T_p} = 0,461 \cdot 0,2 \cdot \frac{-6539,179 \times 0,537}{11,785} = -27,524 \text{ t.m/m largeur}$$

H. DETERMINATION DES MOMENTS TRANSVERSAUX MAXIMALES

(*) moment transversal positif

Le moment maximal fondé est obtenu dans la fibre ($y=0$) en faisant la combinaison suivante :

$$G + 1,2(S.b_c.B_c + k_2) \longrightarrow M_{max}^+ = M_G + 1,2(S.b_c.M_{B_c} + M_{k_2}) + M_{T_p}$$

$$M_{max}^+ = 47,694 + 1,2(1,084 \cdot 1,1 \cdot 20,58 + 3,362) - 27,524 = 53,652 \text{ t.m/m}$$

$$M_{max}^+ = 53,652 \text{ t.m/m.}$$

(*) Moment transversal négatif

Le moment maximal négatif est obtenu dans la fibre ($y=0$) en faisant la combinaison suivante:

$$G + 1,2(S.b_c.B_c + t_z)$$

$$M_{max}^t = M_G + 1,2(S.b_c.M_{Bc} + M_{t_z}) + M_{tip}$$

$$M_{max}^t = -11,792 - 1,2(1,084 \cdot 1,1 \cdot 9,818 + 2,123) - 27,524 = -55,920 \text{ t.m/mel}$$

Remarque

Le moment dû à l'influence du coefficient de poison ne sera pris en compte que si il donne un cas plus défavorable.

I. DETERMINATION DES EFFORTS AU NIVEAU DE L'ENCASTREMENT (DALLE-ENCORBELLEMENT)

1) Au niveau de l'encorbellement gauche ("Sg")

$$M^{max} = M_G + 1,2(M_A + M_{t_z}) = -6,231 - 1,2(0,038 + 1,282) = -4,815 \text{ t.m/mel}$$

$$T^{max} = T_G + 1,2(S.b_c.T_{Bc} + T_{t_z}) = -4,916 - 1,2(1,076 \times 1,2 \times 5,047 + 0,968) = -13,898 \text{ t.m/mel}$$

2) Au niveau de l'encorbellement droite ("Sd")

$$M^{max} = M_G + 1,2(M_A + M_{t_z}) = -6,231 + 1,2(0,038 + 1,282) = -7,815 \text{ t.m/mel}$$

$$T^{max} = T_G + 1,2(S.b_c.T_{Bc} + T_{t_z}) = +4,916 + 1,2(1,076 \times 1,2 \times 5,047 + 0,968) = +13,898 \text{ t.m/mel}$$

J. FERRAILLAGE TRANSVERSAL DE LA DALLE

Les armatures transversales de la dalle seront déterminées à partir des fibres les plus sollicitées. Après l'étude de la flexion transversale à mi-hauteur nous avons obtenu les résultats suivants.

Sollicitations pondérées du 1^{er} genre

$$M_{max}^t = 53,652 \text{ t.m/m largeur} \quad (\text{pour la fibre } y=0)$$

$$M_{max}^t = -55,920 \text{ t.m/m largeur} \quad (\text{pour la fibre } y=0)$$

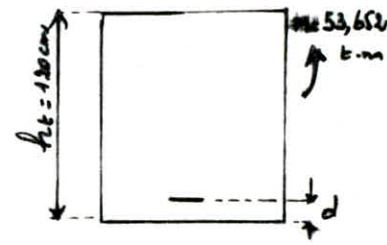
On aura à étudier une section rectangulaire de $(1,20 \times 1)^m^2$ qui peut-être soumise à un moment de flexion positif ou négatif et on doit trouver une section d'acier permettre linéaire.

1) Calcul de la section sollicitée par un moment positif $M^t = 53,652 \text{ t.m}$

$$h = h_f - d = 120 - 6 = 114 \text{ cm}$$

(*) Calcul du moment résistant du béton M_{Bc}

$$M_{Bc} = R_b \cdot b \cdot h^2 \quad \text{avec } R_b = \frac{1}{2} \alpha \bar{\sigma}_b \quad \text{où} \quad \begin{cases} \alpha = \frac{15\bar{\sigma}_b}{15\bar{\sigma}_b + \bar{\sigma}_a} \\ \gamma = 1 - \frac{\bar{\sigma}_a}{\bar{\sigma}_b} \end{cases}$$



$$\sigma_b = 210 \text{ kg/cm}^2 \text{ et } \sigma_a = 2800 \text{ kg/cm}^2 (\phi \leq 20)$$

$$\rightarrow \bar{\alpha} = 0,529 ; \bar{\gamma} = 0,824 ; \bar{k} = 45,769 \text{ kg/cm}^2 \Rightarrow M_{B_0} = 594,814 \text{ t.m}$$

$$\text{on a donc: } M_{B_0} = 594,814 \text{ t.m} > M = 53,652 \text{ t.m} \Rightarrow A' = 0$$

(*) Détermination des armatures inférieures (A)

$$A = \frac{M}{\bar{\gamma} \cdot h \cdot \bar{\sigma}_a} = \frac{53,652}{0,824 \cdot 114 \cdot 2800} = 20,398 \text{ cm}^2 \rightarrow 7T20 = 21,89 \text{ cm}^2$$

Vérification à la fissuration

$$\bar{w}_f = \frac{A}{B_f} \rightarrow \bar{w}_f = \frac{21,89}{2 \cdot 100 \cdot 6} = 0,0182$$

$$\text{on doit faire la vérification suivante: } \bar{\sigma}_a \leq \min \begin{cases} \frac{2800 \text{ kg/cm}^2}{5} \\ \max(\sigma_1, \sigma_2) \end{cases}$$

$$\sigma_1 = K \frac{h}{\phi} \frac{\bar{w}_f}{1+10\bar{w}_f} = 10^6 \frac{1,6}{20} \frac{0,0182}{1+10 \cdot 0,0182} = 1231,81 \text{ kg/cm}^2$$

$$\sigma_2 = 2,4 \sqrt{\frac{K}{\phi} \bar{\sigma}_b} = 2,4 \sqrt{\frac{1,6 \cdot 10^6}{20} 8,4} = 1967,41 \text{ kg/cm}^2$$

$$\bar{\sigma}_a \leq \min \begin{cases} 2800 \text{ kg/cm}^2 \\ \max(1231,81; 1967,41) \text{ kg/cm}^2 \end{cases} \rightarrow \bar{\sigma}_a = 1967,41 \text{ kg/cm}^2$$

La fissuration n'est pas vérifiée, donc on doit faire un calcul exacte c'est à dire calculer A avec la contrainte $\bar{\sigma}_a = \sigma_2 = 1967,41 \text{ kg/cm}^2$ ce qui nous donne:

$$\alpha = 0,616 \rightarrow \gamma = 0,795 \Rightarrow A = \frac{M}{\bar{\gamma} \cdot h \cdot \bar{\sigma}_a} = \frac{53,652 \cdot 10^5}{0,795 \cdot 114 \cdot 1967,41} = 30,09 \text{ cm}^2$$

Vérification à la condition de non fragilité (Art 52 CCBA 63)

$$\text{on doit avoir: } A > \begin{cases} A_0 \\ \min(A_1, A_2) \end{cases}$$

$$A_0 = 30,09 \text{ cm}^2$$

$$A_1 = 1,2 A_0 = 36,11 \text{ cm}^2$$

$$A_2 = 0,69 \cdot b \cdot h \cdot \frac{\bar{\sigma}_b}{\bar{\sigma}_{ew}} = 0,69 \cdot 100 \cdot 114 \cdot \frac{8,4}{4200} = 15,732 \text{ cm}^2$$

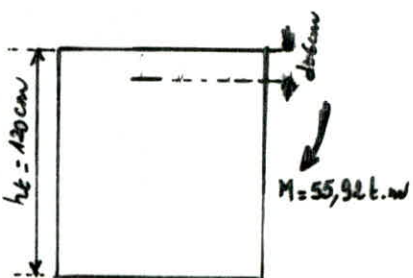
$$\Rightarrow A = 30,09 \text{ cm}^2 \text{ soit } 10T20 = 31,41 \text{ cm}^2$$

(*) Détermination des armatures supérieures

$$A = \frac{M}{\bar{\gamma} \cdot h \cdot \bar{\sigma}_a} = \frac{55,92 \cdot 10^5}{0,824 \cdot 114 \cdot 2800} = 21,26 \text{ cm}^2$$

Vérification à la fissuration

$$\sigma_1 = 1231,81 \text{ kg/cm}^2 \text{ et } \sigma_2 = 1967,41 \text{ kg/cm}^2$$



$$\bar{\sigma}_a \leq \min \begin{cases} 2800 \text{ kg/cm}^2 \\ \max(\sigma_1, \sigma_2) \end{cases} \rightarrow \bar{\sigma}_a \leq 1967,41 \text{ kg/cm}^2 \rightarrow \text{la fixation n'est pas vérifiée donc on refait les calculs avec } \bar{\sigma}_a = 1967,41 \text{ kg/cm}^2$$

$$A = \frac{M}{\gamma h \cdot \bar{\sigma}_a} = \frac{55,92 \cdot 10^5}{0,795 \cdot 114 \cdot 1967,41} = 31,36 \text{ cm}^2 \rightarrow 10T20 = 31,41 \text{ cm}^2$$

• condition de non fragilité

$$A \geq \begin{cases} A_0 & A_0 = 31,41 \text{ cm}^2 \\ \min(A_1, A_2) & A_1 = 1,2 A_0 = 37,69 \text{ cm}^2 \\ & A_2 = 0,69 b \cdot h \cdot \frac{\bar{\sigma}_a}{\sigma_{en}} = 15,732 \text{ cm}^2 \end{cases} \rightarrow A = 31,41 \text{ cm}^2$$

On prend $A = 31,41 \text{ cm}^2$ pour 10T20

(*) vérification des contraintes

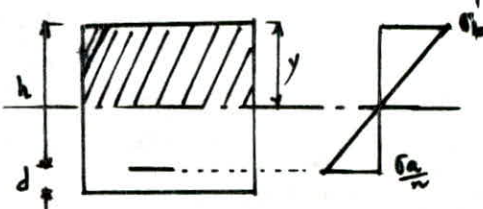
1) moment statique / axe neutre = 0 $\rightarrow \frac{1}{2} b y^2 \cdot n A (h-y) = 0$

$$\rightarrow y = 28,4 \text{ cm}$$

Moment d'inertie : $I = \frac{b y^3}{3} + n A (h-y)^2 = 4215829,131 \text{ cm}^4$

béton $\sigma_b' = \frac{M}{I} y = 36,14 \text{ kg/cm}^2 < \bar{\sigma}_b' = 210 \text{ kg/cm}^2$

Acier $\sigma_a = n \frac{M}{I} (h-y) = 1634,06 \text{ kg/cm}^2 < \bar{\sigma}_a = 1967,41 \text{ kg/cm}^2$



2) Due au moment $M = -55,92 t.m$

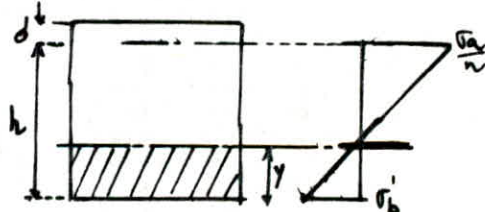
• Moment statique / axe neutre = 0 $\rightarrow \frac{1}{2} b y^2 \cdot n A (h-y) = 0$

$$\rightarrow y = 28,4 \text{ cm}$$

• Moment d'inertie $I = \frac{b y^3}{3} + n A (h-y)^2 \rightarrow I = 4215829,131 \text{ cm}^4$

• béton $\sigma_b' = \frac{M}{I} y = 37,64 \text{ kg/cm}^2 < \bar{\sigma}_b' = 210 \text{ kg/cm}^2$

• Acier $\sigma_a = n \frac{M}{I} (h-y) = 1703,14 \text{ kg/cm}^2 < \bar{\sigma}_a = 1967,41 \text{ kg/cm}^2$



K - FERRAILLAGE DE LA SECTION D'ENCASTREMENT (DALLE CENTRALE - ENCORBELLEMENT)

Section d'enca斯特ment droite $M^{\max} = -7,815 \text{ t.m/mel}$; $T^{\max} = +13,898 \text{ t/mel}$

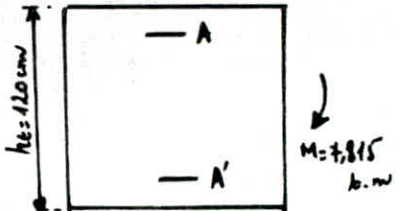
Section d'enca斯特ment gauche $M^{\max} = -7,815 \text{ t.m/mel}$; $T^{\max} = -13,898 \text{ t/mel}$

les deux sections "Sg" et "Sd" provoquent un même moment $M^{\max} = -7,815 \text{ t.m/mel}$ donc on aura le même ferrailage pour "Sg" et "Sd", il suffira de déterminer le ferrailage d'une seule section on prendra "Sg"

1) Ferrailage de la section gauche

$$M = -7,815 \text{ t.m}$$

$$M_{RB} = 12bh^3 \text{ avec } K = \frac{1}{2} \times 8\bar{\sigma}_b \quad \left\{ \begin{array}{l} \bar{\alpha} = \frac{15\bar{\sigma}_b}{15\bar{\sigma}_b + \bar{\sigma}_a} = 0,259 \\ \bar{\gamma} = 1 - \frac{\bar{\alpha}}{3} = 0,824 \end{array} \right.$$



$$\bar{K} = 45,769 \text{ kg/cm}^2 \rightarrow M_{RB} = 594,814 \text{ t.m.}$$

$$M_{RB} = 594,814 \text{ t.m.} > M = 7,815 \text{ t.m.} \Rightarrow A=0 \text{ (mais on prendra A minimale)}$$

$$A = \frac{M}{Yh\bar{\sigma}_a} = \frac{7,815 \cdot 10^5}{0,824 \cdot 114 \cdot 2800} = 2,97 \text{ cm}^2 \rightarrow 2T14 = 3,08 \text{ cm}^2$$

• vérification à la fissuration

$$\bar{\sigma}_a \leq \min \left\{ \frac{1}{3}\bar{\sigma}_{en} = 2800 \text{ kg/cm}^2, \max(\bar{\sigma}_s, \bar{\sigma}_a) = \max(1231,81; 1967,41) \text{ kg/cm}^2 \right\} \rightarrow \bar{\sigma}_a \leq 1967,41 \text{ kg/cm}^2$$

La vérification n'est pas réalisée, on reprend les calculs avec $\bar{\sigma}_a = 1967,41 \text{ kg/cm}^2$

$$A = \frac{M}{Yh\bar{\sigma}_a} = \frac{7,815 \cdot 10^5}{0,795 \cdot 114 \cdot 1967,41} = 4,38 \text{ cm}^2 \rightarrow 3T14 = 4,62 \text{ cm}^2$$

• Vérification à la condition de non fragilité

$$A \geq \begin{cases} A_0 & A_0 = 4,62 \text{ cm}^2 \\ \min(A_1, A_2) & A_1 = 1,2A_0 = 5,54 \text{ cm}^2 \\ A_2 = 0,69bh & \frac{\bar{\sigma}_b}{\bar{\sigma}_{en}} = 15,733 \text{ cm}^2 \end{cases} \rightarrow A \geq 5,54 \text{ cm}^2$$

$$\text{on prend } 6T12 = 6,78 \text{ cm}^2$$

2) Ferrailage de la section droite:

identique au ferrailage de la section gauche $\rightarrow 6T12 = 6,78 \text{ cm}^2$

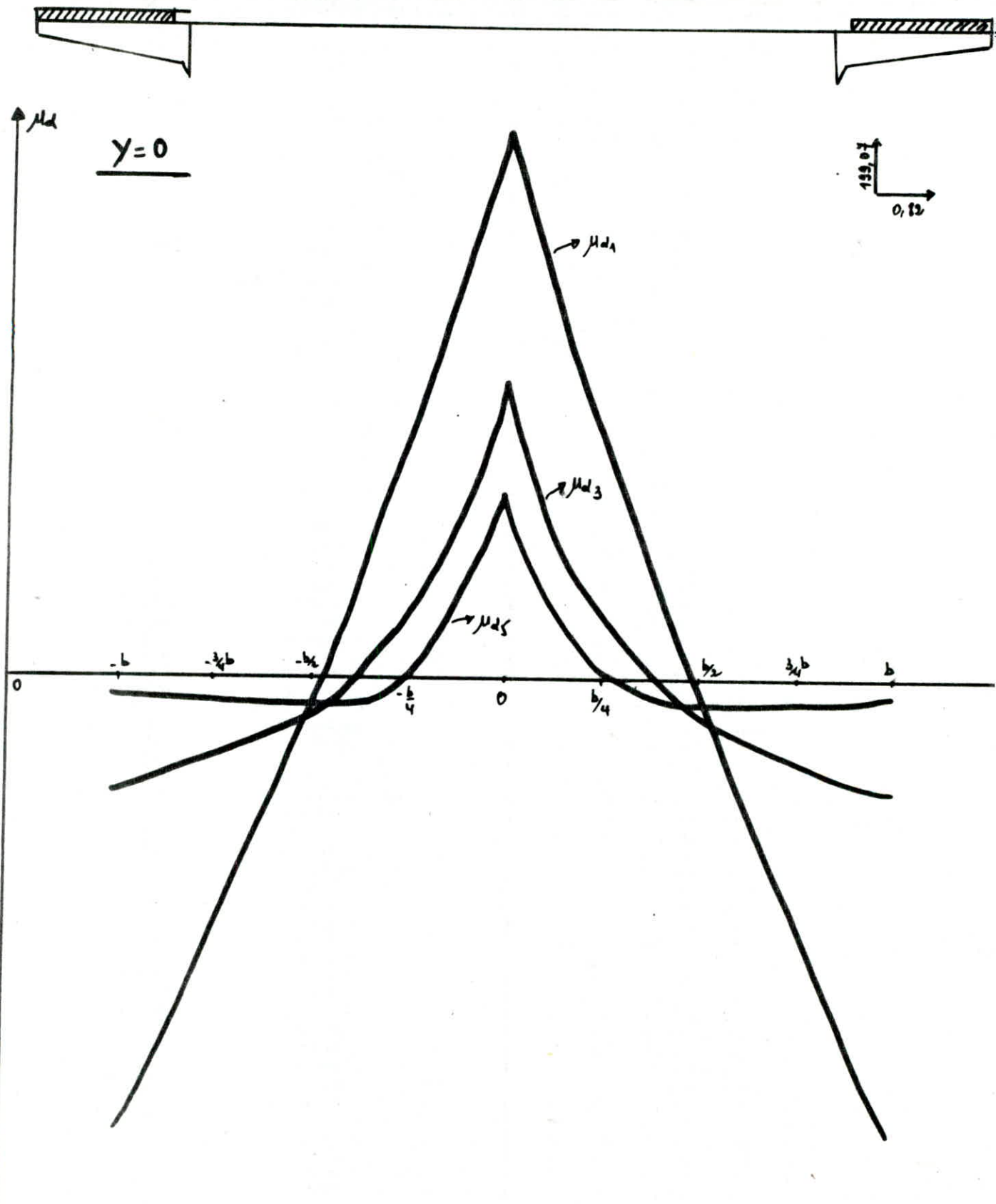
3) Vérification des contraintes

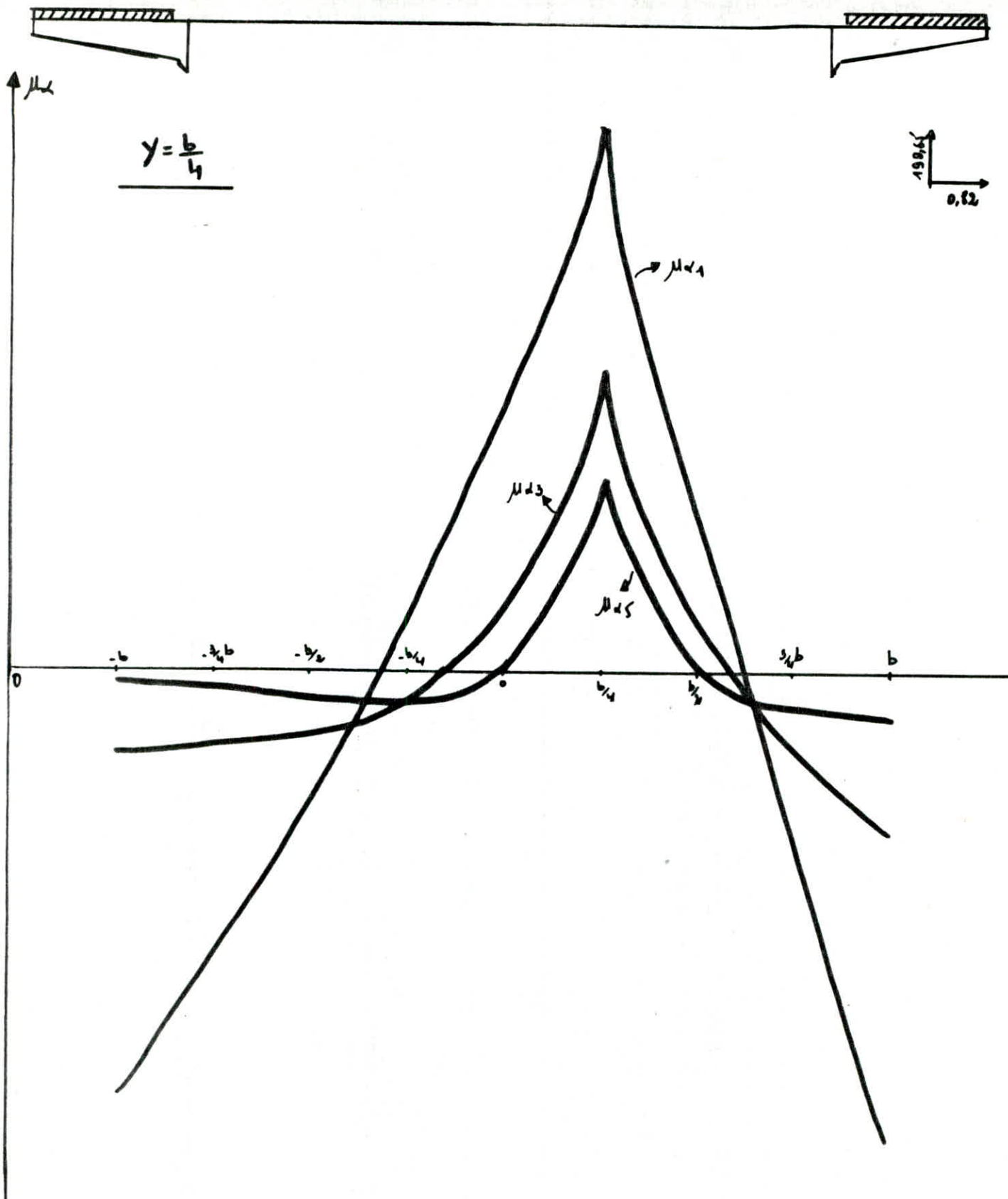
$$\text{moment statique/axe neutre} = 0 \rightarrow \frac{1}{2}b\bar{y}^3 - nA(h-\bar{y}) = 0 \Rightarrow \bar{y} = 13,48 \text{ cm}$$

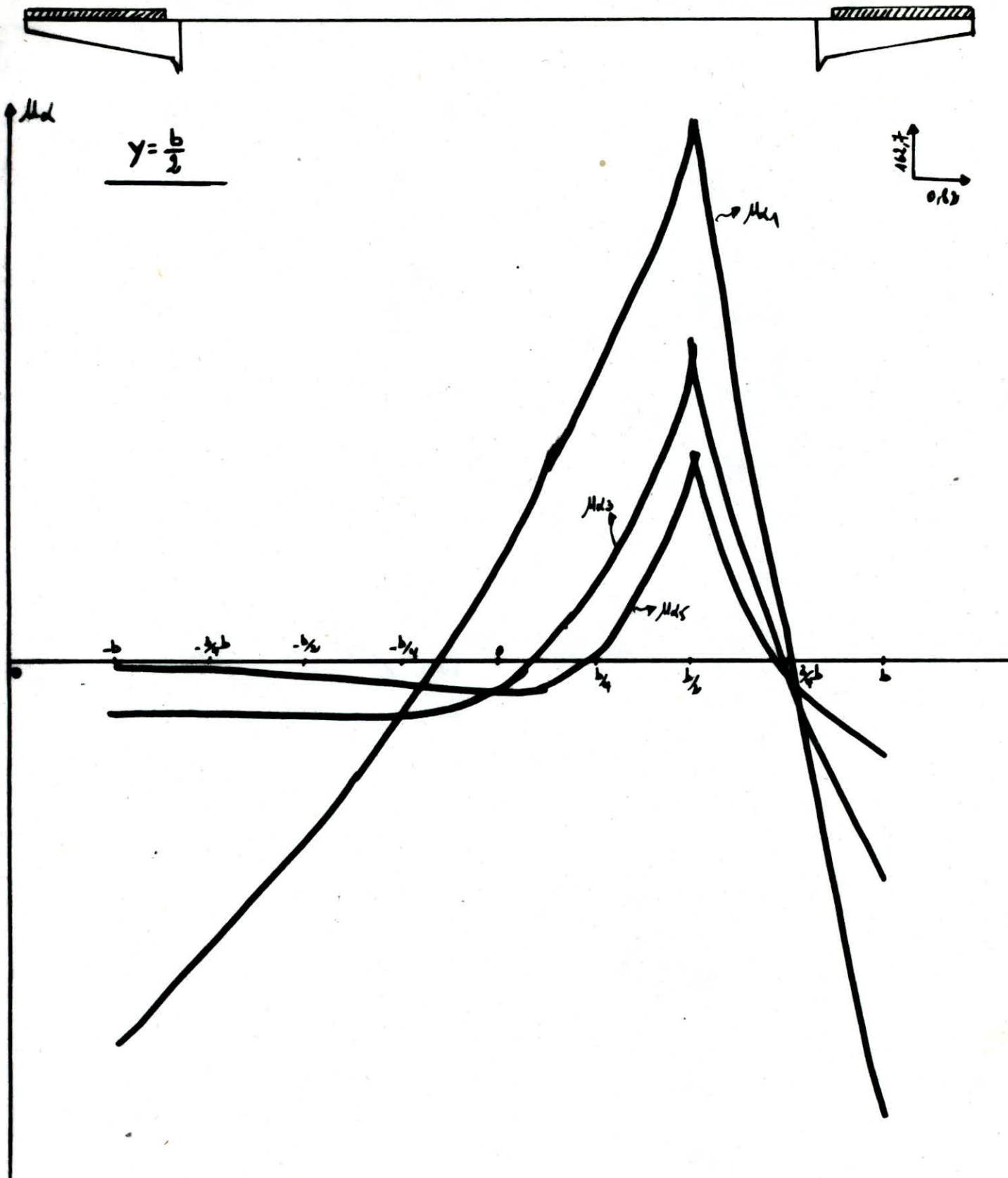
$$\text{moment d'inertie: } \rightarrow I = \frac{b\bar{y}^3}{3} + nA(h-\bar{y})^2 \Rightarrow I = 995579,8 \text{ cm}^4$$

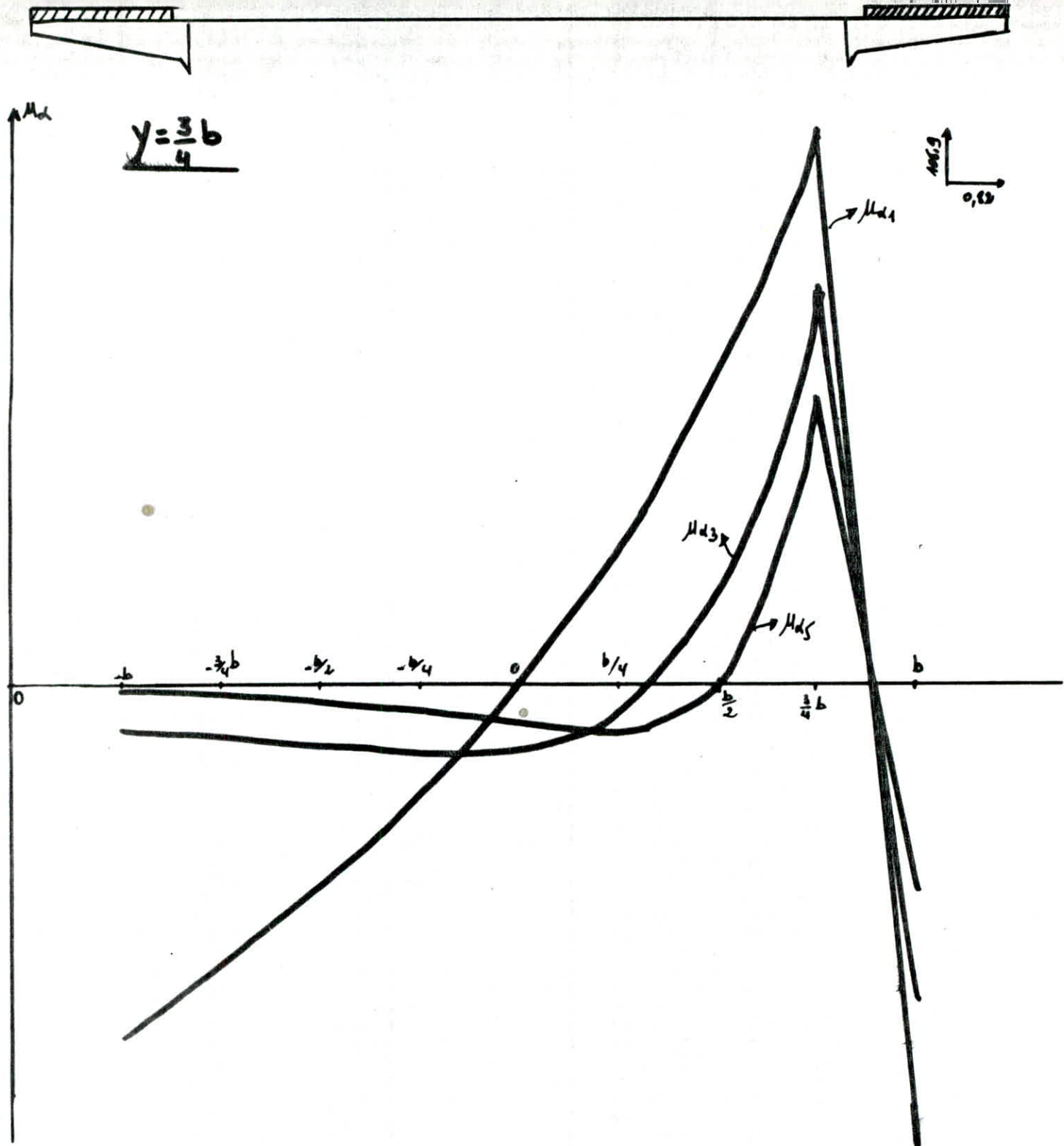
$$\text{béton: } \bar{\sigma}'_b = \frac{M}{I} \bar{y} = 10,58 \text{ kg/cm}^2 \rightarrow \bar{\sigma}'_b < \bar{\sigma}'_b = 210 \text{ kg/cm}^2$$

$$\text{Acier: } \bar{\sigma}_a = n \frac{M}{I} (h-\bar{y}) = 1183,58 \text{ kg/cm}^2 \rightarrow \bar{\sigma}_a < \bar{\sigma}_a = 1967,41 \text{ kg/cm}^2$$









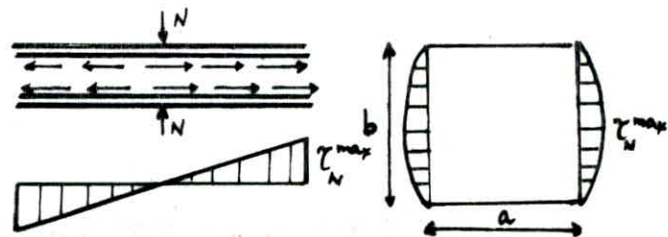
APPAREILS D'APPUI

Principe

Le but du dimensionnement des appareils d'appuis est de limiter les contraintes qui se développent dans le néoprène au niveau des plans de frettage et celles qui sont dues aux efforts appliqués ou de déformation imposé par les appareils.

a) compression

Sous l'effet de l'effort normal apparaissent des contraintes de cisaillement τ_N au niveau du plan de frettage, tandis qu'au milieu de plaque feuillet se développent des contraintes maximales



$$\tau_N = \frac{1,5 \sigma_m}{\beta} \quad \text{avec : } \sigma_m = \frac{N}{a \times b} \quad \text{contrainte de compression}$$

$$\beta = \frac{a \times b}{2t(a+b)} \quad \text{coefficient de forme} \quad \left\{ \begin{array}{l} \text{--- : dimension en plan de l'appui (a < b)} \\ t : \text{épaisseur d'un feuillett de néoprène} \end{array} \right.$$

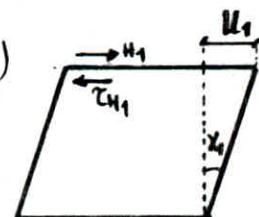
b) Distortion

Dans le cas d'une distortion, la distribution des contraintes au niveau du plan de frettage est uniforme deux cas se présentent :

1) la déformation u_1 de l'appareil est lente (dilatation, retrait, fluage)

elle permet de déterminer l'angle de distortion, la contrainte et l'effort

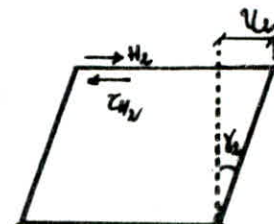
$$\text{correspondant : } \tan \gamma_1 = \frac{u_1}{T} ; \quad \tau_{H_1} = G \tan \gamma_1 = G \frac{u_1}{T}$$



$$H_1 = a \times b \times \tau_{H_1} \rightarrow H_1 = G \times a \times b \times \frac{u_1}{T}$$

2) l'appareil est soumis à un effort dynamique (freinage, secousses, vent, force centrifuge)

$$\tau_{H_2} = \frac{H_2}{a \times b}$$



Dans le cas d'un effort dynamique, il a été constaté expérimentalement que le module d'élasticité transversal vaut deux fois la valeur de G correspondant à un effort statique

$$\tan \gamma_2 = \frac{\tau_{H_2}}{2G} = \frac{H_2}{T} = \frac{H_2}{2G \times a \times b}$$

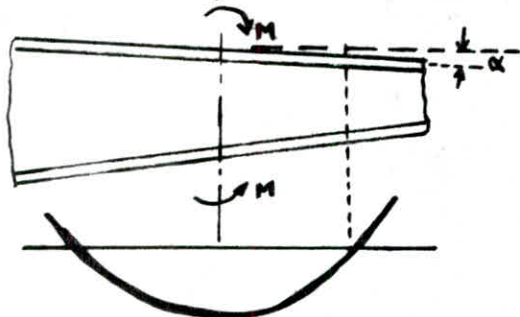
3) Dans le cas où les deux cas se présentent simultanément :

$$U = U_1 + U_2 \text{ et } H = H_1 + H_2$$

$$\tau_H = \tau_{H_1} + 0,5 \tau_{H_2} = G \frac{U_1}{t} + \frac{H_2}{2.a.b}$$

c) Rotation

Lorsqu'une frette solidaire d'un feuillet, accomplit une rotation par rapport à l'autre frette solidaire du même feuillet, la répartition des contraintes de cisaillement est comme suit. La contrainte maximale apparaît généralement sur les bords parallèles à l'axe de rotation



$$\tau_d = \frac{G}{2} \left(\frac{\alpha}{t} \right) dt \text{ avec } dt = \frac{dt}{n}$$

M : moment de rappel créé par la rotation

$$M = G \frac{\alpha T}{m} \frac{a^6 b}{t^3} \frac{1}{K_L}$$

Il est tenu compte des défauts de pose, pour le dimensionnement et la détermination des contraintes. la valeur de la rotation à introduire dans les calculs : $\alpha_T = \alpha_0 + \alpha$ avec : $\alpha = \text{rotation calculée, (} \alpha_0 = 1/1000 \text{ rad)} \text{ pour le béton précontraint$

EVALUATION DES EFFORTS DANS LES APPUIS

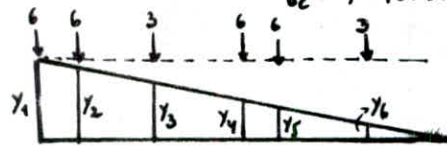
1) efforts verticaux

- Poids propre : $F_G = \frac{K_y q_g l}{2} = \frac{1 \times 40,8 \times 25,543}{2} = 521,08 t$

- Surcharge A $F_A = \frac{K_y [A \times l \times l_c]}{2} = \frac{1,016 \times [1,1 \times 25,543 \times 10,25]}{2} = 146,40 t$

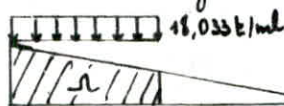
- Surcharge Bc $F_{Bc} = K_y \cdot n \cdot S \cdot l_c \cdot \sum P_i y_i$

$$F_{Bc} = 1,016 \times 6 \times 1,019 \times 0,95 \left[6(1+0,9443+0,5889+0,5302) + 3(0,7659+0,3540) \right] = 144,878 t$$



$$\begin{array}{ll} y_1 = 1 & y_4 = 0,5889 \\ y_2 = 0,9443 & y_5 = 0,5302 \\ y_3 = 0,7659 & y_6 = 0,3540 \end{array}$$

• Surcharge M_{c120}



$$F_{M_{c120}} = q \cdot L \cdot S \cdot K_y = 18,033 \times 5,372 \times 1,019 \times 1,1689 = 122,388 t$$

• Surcharge des trottoirs : $F_h = \frac{(2 \times 0,15 \times 2,45) 25,543}{2} \times 1,0346 = 8,523t$

• effort sismique vertical : $F_v = E_v F_g = 0,07 \times 521,08 = 36,476t$

2) les efforts horizontaux

• Freinage : dans le calcul, on prendra l'effort de surcharge δ_c , car le freinage de δ_c est le plus défavorable $\rightarrow F_h = 30t$ (correspondant à un camion δ_c)

• effort sismique horizontal : $F_h = E_h \cdot F_g = 0,1 \times 521,08 = 52,108t$

délimitation de la contrainte moyenne, on tire l'aire de l'appareil d'appui. le béton étant fretté, on doit avoir $\bar{\sigma}_{max} \leq 150 \text{ kg/cm}^2$

$$\bar{\sigma}_{max} = \frac{N_{max}}{a \times b} \leq 150 \text{ kg/cm}^2 \implies a \times b > \frac{N_{max}}{150}$$

avec $N_{max} = \frac{F_0 + F_{\phi} + F_v}{5}$ (5 appuis), N_{max} : réaction verticale maximale revenant à chaque appui

$$\text{donc } a \times b > \frac{F_0 + F_{\phi} + F_v}{5 \times 150} = \frac{(521,08 + 146,40 + 8,523) 10^3 + 36,476 10^3}{750} = 949,972 \text{ cm}^2$$

on choisit comme modèle : type SEMDERLI 300/400/52

$a \times b$ (mm ²)	surface de base (cm ²)	charge verticale admissible (kN)	modèle E_i N/mm ²	épaisseur des couches élastomériques (mm)	nombre de couche d'élastomère	hauteur du tôle intermédiaire	hauteur d'élastomère	déplacement admissible (mm)	épaisseur des feuilles d'acier (mm)
300x400	1200	1700	755	8	5	4	40	25,9	3

VERIFICATION A FAIRE

(*) condition à la stabilité (non déversement)

$$\frac{a}{b_r} \geq 5 \implies a \geq 5b_r, \quad a = 30 \text{ cm} \geq 5 \times 5,8 = 29 \text{ cm} \rightarrow \text{vérifié'}$$

(*) condition au non glissement : $\bar{\sigma}_{min} \geq 20 \text{ kg/cm}^2$

$$1) \bar{\sigma}_{min} = \frac{N_{min}}{5(a \times b)} = \frac{521,08 10^3}{5(30 \times 40)} = 86,85 \text{ kg/cm}^2 \geq 20 \text{ kg/cm}^2 \rightarrow \text{vérifié'}, \text{ pas de risque de glissement}$$

$$2) \begin{cases} H \leq f \cdot N \\ f = 0,1 + \frac{b_0}{S} \end{cases} \quad (a)$$

f : coefficient de frottement pour élastomères enrobés

$$(a) \Leftrightarrow H = \frac{H_{seisme} + H_{freinage}}{5} + H_g \leq 0,1 F_{max} + 60 \times a \times b$$

- détermination de H_g

- retrait $\frac{\Delta l}{l} = \frac{1}{2} 1,15 \cdot 10^{-4} \rightarrow \Delta l = \frac{25,543}{2} 1,15 \cdot 10^{-4} = 1,469 \text{ mm}$

- température $\frac{\Delta l}{l} = (2 \cdot 10^{-4}) \frac{1}{2} \rightarrow \Delta l = 2 \cdot 10^{-4} \frac{25,543}{2} = 2,554 \text{ mm}$

- fluage $\frac{\Delta l}{l} = \frac{1}{2} \frac{\sigma_m}{E}$

A l'appui

à la mise en tension	-----	487,147	-----	793,431
----------------------	-------	---------	-------	---------

en service	-----	448,041	-----	447,059
------------	-------	---------	-------	---------

contrainte moyenne	-----	467,594	-----	635,245
--------------------	-------	---------	-------	---------

$$\sigma_m = \frac{467,594 + 635,245}{2} = 551,420 \rightarrow \Delta l = \frac{25,543}{2} \cdot \frac{551,420}{1305690} = 5,4 \cdot 10^{-3} \text{ m} \rightarrow \Delta l = 5,4 \text{ mm}$$

$$\Delta l_{max} = 1,469 + 2,554 + 5,400 = 9,423 \text{ mm}$$

$$\Delta l_{min} = 1,469 \text{ mm}$$

chaque appareil d'appui subira une distortion U_g telle que: $U_g = \frac{\Delta l_{max}}{l} \cdot \frac{l}{2} \rightarrow U_g = 4,712 \text{ mm}$

d'où l'effort horizontal sur chaque appui de la calculé $H_g = \frac{G \cdot U_g \cdot a \cdot b}{T_r}$

avec: T_r : épaisseur de l'appareil d'appui

$$G: \text{modèle de cisaillement} = 0,9 \text{ MPa} = 8,16 \text{ kg/cm}^2$$

$a \times b = 30 \times 40$ section d'élastomère

$$H_g = \frac{8,16 \times 0,4712 \times 30 \times 40}{5,2} = 817,306 \text{ kg}$$

En rentrant à l'inéquation: $\frac{1}{5} [52,109 + 30] + 0,887306 \leq 0,1 \times 142,496 + 60 \times 0,3 \times 0,4$

$$\Rightarrow 17,309 \leq 21,445 \rightarrow \text{c'est vérifié'}$$

(*) Distortion

• déformation lente:

$$\operatorname{tg} \gamma_1 = U_1 / T ; \quad \gamma_{H_1} = G \operatorname{tg} \gamma_1 = G U_1 / T \quad H_1 = a \times b \times \gamma_{H_1} = G \times a \times b \times U_1 / T$$

$$\gamma_{Hg} = G U_1 / T \leq 0,5G \Rightarrow U_1 / T \leq 0,5 \Leftrightarrow 4,712 / 62 = 0,091 < 0,5 \rightarrow \text{c'est vérifié'}$$

• Sous l'effet d'un effort instantané

$$\gamma_{Hg} + \gamma_{H_1} \leq 0,74G \text{ (seisme + freinage)}$$

$$\text{Séisme : } H_i = H_s / 8 = 53,108 \cdot 10^3 / 8 = 6513,5 \text{ kg}$$

$$\text{freinage : } H_f = H_F / 8 = 30 \cdot 10^3 / 8 = 3750 \text{ kg/cm}^2$$

$$\frac{Ug}{T} + \frac{H_i}{2.G.a.b} \leq 0,7 \Rightarrow \frac{4,712}{52} + \frac{3750}{2 \cdot 8,16 \times 30 \times 40} = 0,282 \leq 0,7 \rightarrow \text{vérifié (freinage)}$$

$$\frac{Ug}{T} + \frac{H_i}{2.G.a.b} \leq 0,7 \Rightarrow \frac{4,712}{52} + \frac{6513,5}{2 \cdot 8,16 \times 30 \times 40} = 0,428 < 0,7 \rightarrow \text{vérifié (séisme)}$$

Sous l'effet simultané : Séisme - freinage - déformation lente : $H_g + H_f + H_s \leq 1,3G$

$$\frac{Ug}{T} + \frac{3750}{2 \cdot 8,16 \times 30 \times 40} + \frac{6513,5}{2 \cdot 8,16 \times 30 \times 40} = 0,614 < 1,3 \rightarrow \text{vérifié}$$

On doit vérifier aussi la condition $\tau_N + \tau_H + \tau_\alpha \leq 5G = 40,8 \text{ kg/cm}^2$

$$\tau_N = 1,5 \frac{Ug}{\beta} \text{ avec } \beta = \frac{1}{5} \frac{581,08 + 146,40 + 8,523 + 36,476 \cdot 10^3}{30 \times 40} = 118,717 \text{ kg km}^2 \text{ et } \beta = \frac{30 \times 40}{2 \times 1(30+40)} = 8,57 \rightarrow \tau_N = 20,78 \text{ kg/cm}^2$$

$$\tau_H = \tau_{H_1} + 0,5 \tau_{H_2} = \frac{6 \frac{Ug}{T}}{a \times b} + 0,5 \frac{H_{fr}}{a \times b} = 5,11 \text{ kg/cm}^2$$

(*) Rotation

$$\text{Sous G : } \alpha_G = \frac{q \cdot l^3}{24 E_v I} = \frac{40,8 \cdot 25,543^3}{24 \cdot 1309580 \cdot 1,692} = 0,0127 \text{ rad}$$

$$\text{Sous A : } \alpha_A = \frac{A \cdot L_c \cdot l^3}{24 E_v \cdot I} = \frac{4,1 \cdot 10,85 \cdot 25,543^3}{24 \cdot 1309580 \cdot 1,692} = 0,0035 \text{ rad}$$

$$\text{trottoir : } \alpha_t = \frac{2 \cdot 0,15 \cdot 2,50 \cdot 25,543^3}{24 \cdot 1309580 \times 1,692} = 0,000234 \text{ rad}$$

$$\text{Sous Bc : } \alpha_{Bc} = \frac{602,282 \times 25,543}{24 \cdot 1309580 \times 1,692} = 0,00028 \text{ rad}$$

$$\text{Sous M_{c120} : } \alpha_{M_{c120}} = \frac{321,79 \times 25,543}{24 \cdot 1309580 \times 1,692} = 0,00034 \text{ rad}$$

$$\alpha_t = \frac{0,0127 + 0,0035 + 0,000234 + 0,00034}{5} = 0,00349 \text{ rad}$$

$$\tau_\alpha = \frac{8,16}{2} \left(\frac{30}{1} \right)^2 0,00349 = 12,815 \text{ kg/cm}^2$$

$$\tau_N + \tau_H + \tau_\alpha = 20,78 + 5,11 + 12,815 = 38,71 \text{ kg/cm}^2 < 5G = 40,8 \text{ kg/cm}^2 \rightarrow \text{vérifié}$$

CHEVETRE INCORPORE

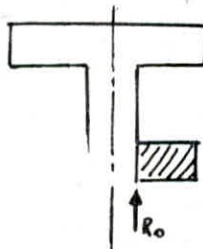
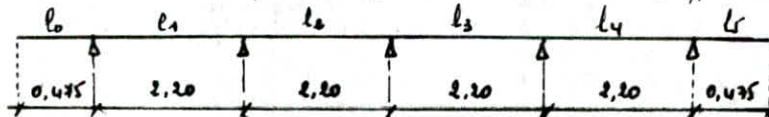
Lorsque le pont est biais, il est nécessaire de prévoir sur les piles culées un chevêtre incorporé à la structure et réignant sur toute la largeur biaise du tablier.

Le schéma nous montre qu'il s'avère matériellement impossible de reprendre par la seule section S_{10} des efforts introduits par des charges dispersées dans l'angle aigu si l'il n'existe pas d'appuis selon $B S_{10}$. Ce type d'ouvrage ne permet donc pas, en cas de biais prononcé, de diminuer la largeur des piles culées.

Comme les efforts s'exerçant entre les plaques d'appuis ne sont pas connus, on prévoira par mesure de sécurité une poutre transversale incorporée dans la dalle au niveau des appareils d'appuis (pile et culée), cette poutre est appelée "chevêtre incorporé".

(*) Chevêtre incorporé au niveau de la culée

Le chevêtre est assimilé à une poutre hyperstatique sur cinq appuis (cinq appareils d'appuis)



Le chevêtre ne prend que la moitié de R_0 , car il est posé sur la moitié de l'appui seulement

• Calcul des efforts sollicitant le chevêtre

charge et surcharge

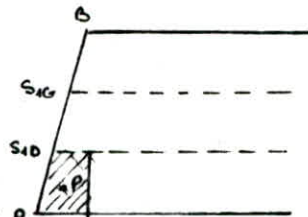
Charge permanente : $F_G = 591,08t$

Surcharge A + trottoir : $F_{Ae} = 154,923t$

Seisme : $F_S = 36,476t$

$$R_0 = F_G + 1,2 F_{Ae} + F_S \rightarrow R_0 = 591,08 + 1,2 \cdot 154,923 + 36,476 = 813,464t$$

$$\rightarrow \frac{R_0}{2} = 406,732t$$



Cette poutre est étudiée pour une charge uniformément répartie

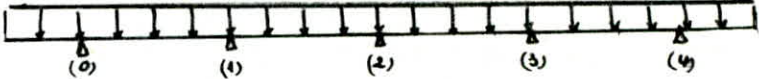
$$q = \frac{R_0/l}{2b'} \text{ avec } 2b' = \frac{2b}{\sin\varphi} = \frac{11,785}{\sin 68,96} = 12,696$$

$$\text{d'où : } q = \frac{406,732}{12,696} = 32,04 \text{ t/ml}$$

Pour calculer les réactions d'appuis R_0, R_1, R_2, R_3 et R_4 ainsi que les moments sur appuis M_0, M_1, M_2, M_3 et M_4 et les moments en travées M_{01}, M_{12}, M_{23} et M_{34} , on applique la méthode des trois moments

$$l_0 = l_5 = 0,475 \text{ m}$$

$$l_1 = l_2 = l_3 = l_4 = 2,20 \text{ m}$$



$$M_0 = M_4 = -\frac{q l_0^2}{2} = -3,615 \text{ t.m}$$

. L'équation des 3 moments nous donne :

$$M_1 = M_3 = -15,582 \text{ t.m}$$

$$M_2 = -11,593 \text{ t.m}$$

. En travée : $M = \frac{q l^2}{8} + \frac{M_0 + M_4}{2}$

$$M_{0,1} = M_0 - u = +9,786 \text{ t.m}$$

$$M_{1,2} = M_2 - u = +5,797 \text{ t.m}$$

. Réactions d'appuis :

$$R_0 = 45,023 \text{ t}$$

$$R_1 = 77,741 \text{ t}$$

$$R_2 = 33,431 \text{ t}$$

$$R_3 = 77,741 \text{ t}$$

$$R_4 = 45,023 \text{ t}$$

Calcul du ferrailage:

$$b_0 = 40 \text{ cm}$$

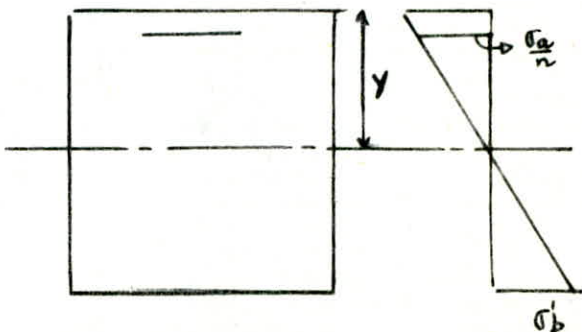
$$h = 12 - 0,1 = 1,1 \text{ m} = 110 \text{ cm}$$

$$\phi < 25 \quad \sigma_{en} = 4200 \text{ kg/cm}^2 \Rightarrow \sigma_a = 2800 \text{ kg/cm}^2$$

$$\phi > 25 \quad \sigma_{en} = 4000 \text{ kg/cm}^2 \Rightarrow \sigma_a = 2667 \text{ kg/cm}^2$$

$$\text{Flexion simple} \Rightarrow \sigma_b' = 210 \text{ kg/cm}^2$$

$$\bar{\sigma}_b = 8,4 \text{ kg/cm}^2$$



(*) Calcul de la section d'acier supérieur

$$M_{\max} = -15,582 \text{ t.m}$$

$$M_{RB} = \bar{\kappa} b h^2 \text{ avec } \bar{\kappa} = \frac{1}{2} 28 \bar{\sigma}_b' \text{ où } \left\{ \begin{array}{l} \bar{\alpha} = \frac{15 \bar{\sigma}_b'}{15 \bar{\sigma}_b' + \bar{\sigma}_a} \\ \bar{\delta} = 1 - \frac{\bar{\alpha}}{3} \end{array} \right.$$

$$\bar{\sigma}_b' = 210 \text{ kg/cm}^2$$

$$\bar{\sigma}_a = 2800 \text{ kg/cm}^2 \quad (\phi \leq 20)$$

$$\rightarrow \bar{\alpha} = 0,529 ; \bar{\delta} = 0,824 ; \bar{\kappa} = 45,769 \text{ kg/cm}^2 \rightarrow M_{RB} = 45,769 \times 40 \times 110^2 = 221,522 \text{ t.m}$$

on a donc: $M_{RB} = 221,522 \text{ t.m} > M = 15,582 \text{ t.m} \Rightarrow A' = 0$

$$A = \frac{M}{\bar{\sigma}_a \cdot \bar{\delta} h} = \frac{15,582 \cdot 10^5}{2800 \times 0,824 \times 110} = 6,14 \text{ cm}^2 \rightarrow 2T20 = 6,28 \text{ cm}^2$$

. Vérification à la fissuration:

$$\bar{w}_f = \frac{A}{B_f} = \frac{6,28}{2 \cdot 40 \cdot 10} = 0,00785$$

$$\begin{aligned} \bar{\sigma}_1 &= 582,29 \text{ kg/cm}^2 & \bar{\sigma}_a \leq \min \left\{ \begin{array}{l} 2800 \text{ kg/cm}^2 \\ \max(\bar{\sigma}_1, \bar{\sigma}_2) \end{array} \right. & \rightarrow \bar{\sigma}_a \leq 1967,41 \text{ kg/cm}^2 \\ \bar{\sigma}_2 &= 1967,41 \text{ kg/cm}^2 & \end{aligned}$$

la fissuration n'est pas vérifiée, on doit faire un calcul exacte avec $\bar{\sigma}_a = 1967,41 \text{ kg/cm}^2$

$$\rightarrow \alpha = 0,616 ; \delta = 0,795$$

$$A = \frac{M}{\delta h \bar{\sigma}_a} = \frac{15,582 \cdot 10^5}{0,795 \cdot 110 \cdot 1967,41} = 9,05 \text{ cm}^2 \rightarrow 3T20 = 9,42 \text{ cm}^2$$

. Vérification à la condition de non fragilité

$$A \geq \begin{cases} A_0 & A_0 = 9,42 \text{ cm}^2 \\ \min(A_1, A_2) & A_1 = 1,2 A_2 = 11,304 \text{ cm}^2 \\ & A_2 = 0,69 b \cdot h \frac{\bar{\sigma}_b}{\bar{\sigma}_{sa}} = 0,69 \cdot 40 \cdot 110 \frac{214}{4200} = 6,072 \text{ cm}^2 \end{cases}$$

$$\rightarrow A = 9,42 \text{ cm}^2 \rightarrow 4T20 = 12,56 \text{ cm}^2$$

. Vérification des contraintes

$$\text{moment statique/axe neutre} = 0 \rightarrow \frac{1}{2} b y t \cdot n A(h-y) = 0 \rightarrow y = 24,57 \text{ cm}$$

$$\text{moment d'inertie: } I = \frac{b y^3}{3} + n A(h-y)^2 \rightarrow I = 122,904,83 \text{ cm}^4$$

$$\text{béton: } \bar{\sigma}_b = \frac{M}{I} y = 31,15 \text{ kg/cm}^2 < \bar{\sigma}_b' = 210 \text{ kg/cm}^2$$

$$\text{Acier: } \bar{\sigma}_a = n \frac{M}{I} y (h-y) = 1624,68 \text{ kg/cm}^2 < \bar{\sigma}_a = 1967,41 \text{ kg/cm}^2$$

(*) Calcul de la section d'acier inférieur

$$M_{\max} = 9,786 \text{ t.m}$$

$$\alpha = 0,529 ; \gamma = 0,724 \text{ d'où : } \bar{\alpha} = 45,769 \text{ kg/cm}^2 \rightarrow M_{RB} = 45,769 \cdot 40 \cdot (110)^2 = 221,522 \text{ t.m}$$

$$\text{on a donc : } M_{RB} = 221,522 \text{ t.m} > M = 9,786 \text{ t.m} \rightarrow A' = 0$$

$$A = \frac{M}{\gamma h \bar{\alpha}} = \frac{9,786 \cdot 10^5}{2800 \cdot 0,724 \cdot 110} = 3,85 \text{ cm}^2 \rightarrow 3T16 = 4,02 \text{ cm}^2$$

. Vérification à la fixation

$$\bar{\omega}_f = \frac{1}{B_f} = \frac{4,02}{2 \cdot 40 \cdot 10} = 0,00503$$

$$\sigma_1 = 622,58 \text{ kg/cm}^2 \quad \bar{\sigma}_a \leq \min \begin{cases} 2800 \text{ kg/cm}^2 \\ \max(\sigma_1, \sigma_2) \end{cases} \rightarrow \bar{\sigma}_a \leq 1967,41 \text{ kg/cm}^2$$

$$\sigma_2 = 1967,41 \text{ kg/cm}^2$$

La fixation n'est pas vérifiée donc on reprend les calculs avec $\bar{\sigma}_a = 1967,41 \text{ kg/cm}^2$

$$\alpha = 0,616 \rightarrow \gamma = 0,795$$

$$A = \frac{M}{\gamma h \bar{\sigma}_a} = \frac{9,786 \cdot 10^5}{0,795 \cdot 110 \cdot 1967,41} = 5,69 \text{ cm}^2 \rightarrow 3T16 = 6,03 \text{ cm}^2$$

. Vérification à la condition de non fragilité

$$A \geq \begin{cases} A_0 \\ \min(A_1, A_2) \end{cases} \quad \begin{aligned} A_0 &= 6,03 \text{ cm}^2 \\ A_1 &= 1,2 A_0 = 7,236 \text{ cm}^2 \\ A_2 &= 0,696 h \cdot \frac{\bar{\sigma}_a}{\sigma_{av}} = 6,072 \text{ cm}^2 \end{aligned}$$

$$\rightarrow A = 6,072 \text{ cm}^2 \rightarrow 4T16 = 8,04 \text{ cm}^2$$

. Vérification des contraintes :

$$\text{moment statique / axe neutre} = 0 \rightarrow \frac{1}{3} b y^3 - n A (h-y) = 0 \rightarrow y = 22,92 \text{ cm}$$

$$\text{moment d'inertie } I = \frac{b y^3}{3} + n A (h-y)^2 \rightarrow I = 1075040,672 \text{ cm}^4$$

$$\text{béton : } \sigma_b' = \frac{M}{I} y = 20,86 \text{ kg/cm}^2 < \bar{\sigma}_b' = 210 \text{ kg/cm}^2$$

$$\text{Acier : } \sigma_a = n \frac{M}{I} (h-y) = 1189,02 \text{ kg/cm}^2 < \bar{\sigma}_a = 1967,41 \text{ kg/cm}^2$$

(*) Calcul des étriers

$$T_b = \frac{T}{b \cdot 3} \quad \text{avec } T_{\max} = 77,741 \text{ t}$$

$$\rightarrow \bar{\tau}_b = \frac{77,741 \cdot 10^3}{40 \cdot \frac{7}{8} 110} = 20,19 \text{ kg/cm}^2$$

$$\bar{\tau}_b = 3,5 \bar{\sigma}_b \text{ car } \sigma'_b < \bar{\sigma}'_{b_0} \rightarrow \bar{\tau}_b = 25,2 \text{ kg/cm}^2$$

Vérification au cisaillement $\tau_b < \bar{\tau}_b \Rightarrow$ c'est vérifié

Calcul de l'espacement

$\bar{\sigma}_{at} = f_{at} \bar{\sigma}_{ent} = \left(1 - \frac{\tau_b}{g \bar{\sigma}_b}\right) \bar{\sigma}_{ent}$ possible reprise de bétonnage et f_{at} ainsi calculé est supérieur à $\frac{2}{3}$

$$\bar{\sigma}_{at} = 3826 \text{ kg/cm}^2$$

On a deux cables $\phi 6 \Rightarrow A_t = 1,131 \text{ cm}^2$

$$\rightarrow t = \frac{A_t \cdot \bar{\sigma}_{at} \cdot 3}{T} = \frac{1,131 \times 3826 \times \frac{3}{7} 110}{77,741 \cdot 10^3} = 5,38 \text{ cm}$$

$$\text{Espacement admissible } E \leq \max \begin{cases} \bar{t}_1 = h \left(1 - 0,3 \frac{\tau_b}{\bar{\sigma}_b}\right) = 30,68 \text{ cm} \\ \bar{t}_2 = 0,2h = 11 \text{ cm} \end{cases}$$

On a $t = 5,38 \text{ cm} < \bar{t} = 30,68 \text{ cm}$

DEFORMATIONS

la mise en précontrainte d'une pièce engendre des déformations : flèches, rotations d'appuis, raccourcissements ...

1) flèches et contre-flèches

2) contre flèche de précontrainte

$$\text{La flèche à mi-portée est égale à : } f = \frac{1}{2} \int_0^{\frac{l}{2}} \frac{M}{EI} x \, dx + \frac{1}{2} \int_{\frac{l}{2}}^l \frac{M}{EI} (l-x) \, dx$$

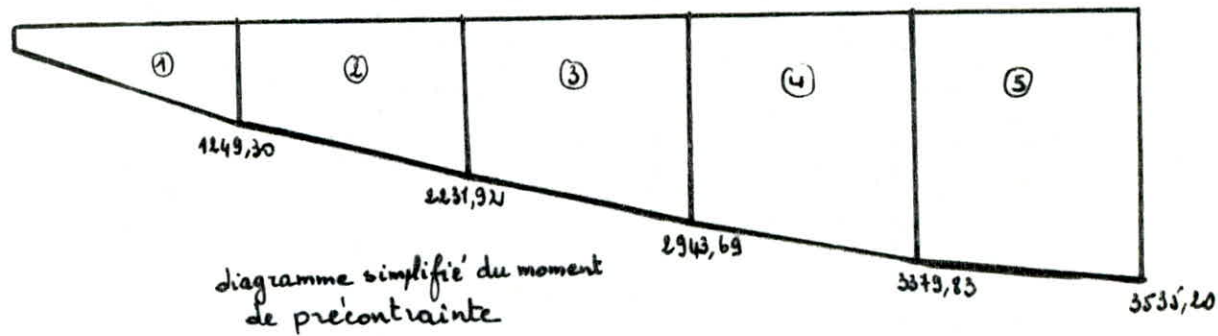
On peut dire que f est à EI près le moment statique par rapport à l'appui de gauche de l'aire limitée par le diagramme des moments de précontrainte N_e dans chaque section et l'axe horizontal de référence sur la demi-longueur

$$M_p = N \times e \quad \text{avec } N = \sum \sigma_m' \cdot S \cdot \cos \alpha_i = (26 \cos \alpha_1 + 26 \cos \alpha_2) \sigma_m' \cdot S$$

$$\sigma_m' = \frac{\sigma_{\text{initial}} + \sigma_{\text{tension}}}{2} = \text{contrainte moyenne}$$

e : distance entre fibre moyenne

Section	$\cos \alpha_1$	$\cos \alpha_2$	e (m)	$\sigma_m' \text{ kg/mm}^2$	N (k)	$M_p = N \cdot e$ (k.m)
0	0,9982	0,9942	0,0005	127,259	6414,33	3,21
0,1L	0,9988	0,9963	0,1937	127,786	6449,62	1249,30
0,2L	0,9993	0,9979	0,3443	128,302	6482,48	2231,92
0,3L	0,9997	0,9991	0,4519	128,823	6514,02	2943,69
0,4L	0,9999	0,9998	0,5165	129,352	6543,71	3379,83
0,5L	1,0	1,0	0,5380	129,872	6571,00	3535,40



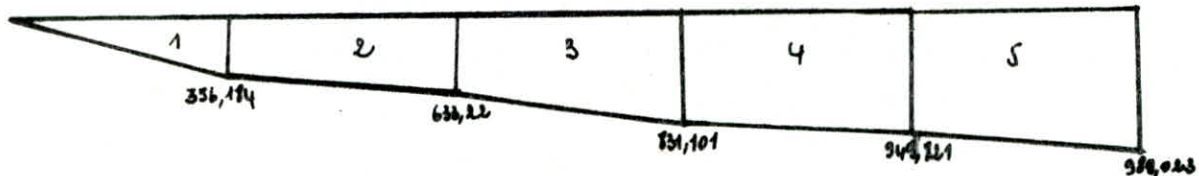
i	1	2	3	4	5
x_G (m)	1,701	3,952	6,444	8,969	11,504
S_i	1599,643	4446,040	6610,030	8076,084	8831,531

$$f = \frac{\sum S_i X_{G,i}}{E_v I} \text{ avec } E_v = 1309580 \text{ t/m}^2, I = 1,697 \text{ m}^4 \longrightarrow f = 0,106 \text{ m}$$

b) flèche due au Poids Propre

$$\text{à mi-travée : } f_G = \frac{596 l^4}{384 E_v I} = \frac{5 \times 40,8 \times (25,543)^4}{384 \times 1309580 \times 1,697} = 0,101 \text{ m}$$

c) flèche due aux surcharges



i	1	2	3	4	5
X_G	1,703	3,951	6,443	8,968	11,503
S_i	454,90	1263,62	1970,16	2274,505	2476,19

$$f = \frac{\sum S_i X_{G,i}}{E_i I} \text{ avec } E_i = 3928740 \text{ t/m}^2 \text{ et } I = 1,697 \text{ m}^4 \longrightarrow f = 0,01 \text{ m}$$

(*) flèche de construction : $f_c = \frac{3}{4} (f_p - f_G) = \frac{3}{4} (0,106 - 0,101) = 0,00375 \text{ m}$

- A vide : $f = f_p + f_G + f_c = -0,106 + 0,101 + 0,00375 = -0,00165 \text{ m}$

- En charge : $f = f_p + f_G + f_c + f_s = -0,106 + 0,101 + 0,00375 + 0,01 = 0,00875 \text{ m}$

2) Rotation d'appui

$$\beta = \int_0^l \frac{M}{EI} dx$$

On peut dire aussi pour β qu'il est à EI près égal au moment statique par rapport à l'appui de gauche de l'ensemble de l'aire limitée par le diagramme des moments et l'axe horizontal de référence

$$\beta = \frac{1}{EI} \int_0^l M dx \cdot \frac{l}{2} = \frac{1}{2} \frac{1}{EI} \int_0^l M dx$$

$\int_0^l M dx$ représente l'aire comprise entre la courbe des moments et l'axe horizontal de référence

$$\beta = \frac{9l^3}{24EI} = 0,00255$$

3) déplacement d'appuis

Les déplacements horizontaux d'appuis sont dus à quatre causes principales qui provoque chacune un déplacement de l'appui vers le milieu

$$1^{\circ}) \text{ Rotation : } \Delta l_1 = -\beta \frac{h}{2} = -0,00255 \times \frac{1,2}{2} = -1,5 \text{ mm}$$

$$2^{\circ}) \text{ retrait : } \Delta l_2 = 1,469 \text{ mm} \text{ on prend } 60\% \rightarrow \Delta l_2 = 0,88 \text{ mm}$$

$$3^{\circ}) \text{ fluage : } \Delta l_f = 5,4 \text{ mm} \text{ on prend } 40\% \rightarrow \Delta l_f = 2,16 \text{ mm}$$

$$4^{\circ}) \text{ température : } \Delta l_t = \pm 2,554 \text{ mm}$$

$$\Delta l_{\max} = (\Delta l_{\text{rot}} + \Delta l_r + \Delta l_f + \Delta l_t) = 7,094 \text{ mm}$$

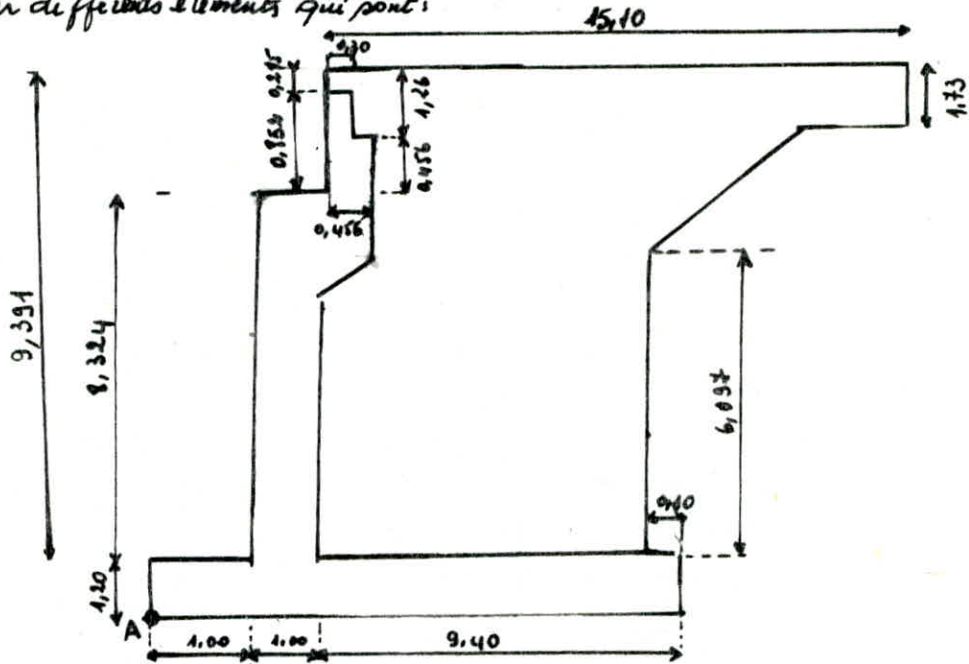
Si l'on prend pas de pourcentage $\Delta l_{\max} = 10,923 \text{ mm}$

ETUDE DE LA CULÉE

La culée est un élément fondamental de l'ensemble de la structure de l'ouvrage. Elle assure le raccordement de l'ouvrage au terrain, et assure la continuité entre la chaussée de la route et celle portée par le pont. Outre les sollicitations dont elle est sujette, elle doit aussi reprendre les actions exceptionnelles presque totalement.

Le choix du type de culée dépend essentiellement de la hauteur de celle-ci; pour notre ouvrage nous avons deux culées massives, et on fera l'étude d'une seule culée, celle de droite. La culée massive est constituée par différents éléments qui sont:

- mur de front
- Mur en retour
- Mur garde grève
- dalle de transition



a) Vérification à la stabilité'

La culée est fondée superficiellement, on devra vérifier la stabilité à vide et en service, aussi bien dans les conditions normales que dans les conditions exceptionnelles (seismiques). En plus des efforts ramenés par le tablier, il sera tenu compte de la poussée des terres d'une charge de 15 t/m^2 et des actions verticales. Les différentes vérifications à la stabilité sont:

$$\textcircled{1} \text{ stabilité à l'égard du renversement : } \frac{M_S}{M_R} \geq F_S = 1,5 \text{ (coefficient de sécurité)}$$

avec M_S : moment stabilisant

M_R : moment renversant

$$\textcircled{2} \text{ stabilité au glissement } \frac{V}{H} \operatorname{tg} \varphi \geq 1,5$$

\textcircled{3} Vérification de la résistance du terrain de fondation (Poinçonnement)

$$\Gamma(B_4) = \frac{G_L + 3G_I}{4} \leq \bar{G}_S \text{ avec } G_{I,2} = \frac{V}{S} + \frac{M_G \cdot I}{I}$$

où $M_G = V \times e_0$ (moment par rapport au centre de gravité de la poutre)

④ Résultante des forces doit passer par le tiers central

$$e_0 = \frac{B}{2} - e_I \leq \beta/6 \text{ avec } e_I = \frac{M_S - M_R}{V}$$

$$\text{Poussée des terres : } P = \frac{1}{2} k_a \cdot V h^2 \cdot l$$

$$\text{En conditions normales : } k_a = \operatorname{tg}^2(\beta/4 - \varphi/2)$$

$$\text{En condition risquée : } k_{ah} = \frac{\cos^2(\varphi + \alpha - \nu) \times \cos(\beta - \alpha)}{\cos^2 \alpha \times \cos(\beta - \alpha - \nu) \left[1 + \sqrt{\frac{\sin(4\varphi + 8)}{\cos(\beta - \alpha + \nu) \cos(\alpha + \beta)}} \right]^2} \times K$$

avec :

- φ : angle de frottement ($\varphi = 30^\circ$)

- β : inclinaison de la culée ($\beta = 0^\circ$)

- α : angle du talus naturel avec l'horizontal ($\alpha = 0^\circ$)

- δ : angle de frottement sol-béton ($\delta = 0^\circ$)

- $\nu = \operatorname{arctg} \frac{E_H}{1 \pm E_V}$ avec $E_H = 0,1$ coefficient risqué horizontal
 $E_V = 0,07$ coefficient risqué vertical

$$\bullet K = \sqrt{E_H^2 + (1 \pm E_V)^2}$$

$$\text{l'équation devient : } k_{ah} = \frac{\cos^2(\varphi - \nu)}{\cos \nu \left[1 + \sqrt{\frac{\sin 4\varphi \cdot \sin(\varphi - \nu)}{\cos \nu}} \right]^2} \times K$$

- En conditions normales : $k_{ah} = 0,333$

- En condition risquée, les valeurs de k_{ah} calculées sont résumées dans le tableau suivant

Action du séisme	Notation	E_H	E_V	K	ν°	k_{ah}
Horizontal	S_H	0,1	0	1,005	5,71	0,395
Vertical \uparrow	$S_V \uparrow$	0	-0,07	0,930	0	0,310
Vertical \downarrow	$S_V \downarrow$	0	+0,07	1,070	0	0,357
Vertical $\uparrow +$ horizontal	$S_V \uparrow + S_H$	0,1	-0,07	0,935	6,14	0,374
Vertical $\downarrow +$ horizontal	$S_V \downarrow + S_H$	0,1	0,07	1,075	5,34	0,420

- Calcul des efforts de la culée à vide, par rapport au point A (voir schéma)

Les efforts seront résumés dans le tableau ci-dessous avec la notation suivante:

M_S : moment stabilisant

V : force verticale

M_R : moment renversant

H : force horizontale

Sollicitations	Calcul des efforts	Horizontal (t)	Vertical (t)	MR (t.m)	M _s (t.m)
Poussée des terres $P = \frac{1}{2} \gamma h^2 l \text{ kN}$	CN : $0,5 \cdot 2 \cdot 6,8^2 \cdot 11,37 \cdot 0,333$ SV \uparrow : " 0,357 SV $\downarrow + H$: " 0,42 SV $\uparrow + H$: " 0,574 SH : " 0,395	175,07 187,69 220,81 196,63 207,67	/	396,83 425,43 500,50 445,69 470,70	/
Poussée de la surcharge $1 t/m^2$ q.l.h. kN	CN : $1,2 \cdot 1 \cdot 11,37 \cdot 6,8 \cdot 0,333$ SV \uparrow : " 0,310 V $\downarrow + H$: " 0,42 V $\uparrow + H$: " 0,374 SH : " 0,395	80,90 28,76 38,97 34,70 36,65	/	105,06 97,784 132,50 117,98 124,61	/
Poids des Terres	CN : $4 \times 7,3 \cdot 11,37 \cdot 2 \cdot 1$ SV \downarrow : " 1,070 SV \uparrow : " 0,93 SH : " 0,10	/	664,01 710,49 617,53	/	2656,04 284,96 2470,12
Poids des surcharges sur Remblai q.l.h.	CN : $1,2 \cdot 11,37 \cdot 4 \cdot 1$ SV \downarrow : " 1,070 SV \uparrow : " 0,93 SH : " 0,10	/	54,57 58,40 50,76 5,46	/	218,32 233,60 203,40
Poids du mur garde-gêne	CN : 18,58 . 1 SV \downarrow : " 1,070 SV \uparrow : " 0,930 SH : " 0,10	/	18,58 19,88 17,28 1,86	/	44,56 47,68 41,44
Poids du mur frontal	CN : 183,06 . 1 SV \downarrow : " 1,070 SV \uparrow : " 0,930 SH : " 0,10	/	183,06 195,88 170,25 18,31	/	300,01 321,01 379,01
Poids du mur en retour	CN : 77,14 . 1 SV \downarrow : " 1,070 SV \uparrow : " 0,930 SH : " 0,1	/	154,28 165,06 142,90 15,42	/	1002,36 1071,70 929,54
Poids de la semelle	CN : 219 . 1 SV \downarrow : " 1,070 SV \uparrow : " 0,930 SH : " 0,10	/	219 234,33 203,67 21,90	/	657 702,99 611,01

Dans le tableau suivant nous résumons les efforts agissants sur la culée à vide par rapport au point A

Condition	V (t)	H (t)	MR (t.m)	M _s (t.m)	M _s /MR	V/H [g4]
C N	1293,51	205,97	501,89	4878,29	9,72	3,63
SH	1293,51	373,67	1048,15	4878,29	4,65	2,00
SV \uparrow + SH	1202,39	360,68	1084,79	4534,16	4,18	1,93
SV \downarrow + SH	1384,04	399,13	1152,22	5218,94	4,53	2,08

Nous remarquons que la stabilité à l'égard du renversement et du glissement de la culée à vide est vérifiée.

On doit vérifier les deux autres conditions

(*) Vérification au Poinçonnement

conditions	$V(t)$	M_G (k.m)	σ_1 (bars)	σ_2 (bars)	$\sigma(\%_4)$	$1,33\bar{\sigma}_S$
C N	1293,51	- 491,53	0,920	2,04	1,20	$\bar{\sigma}_S = 3,00$
S H	1293,51	116,42	1,61	1,34	1,54	3,99
SV↑ + SH	1202,39	156,31	1,55	1,19	1,46	3,99
SV↓ + SH	1384,04	83,04	1,67	1,49	1,63	3,99

c'est vérifié.

(*) Résultante des forces passe par le bâti central

$$e_0 = \frac{B}{2} - e_1 \leq \frac{B}{6} \quad \text{avec } e_1 = \frac{M_G - M_R}{V}$$

condition	e_1	e_0	$B/6$
C N	3,38	-0,38	1
S H	2,91	0,09	1
SV↑ + SH	2,87	0,13	1
SV↓ + SH	2,94	0,06	1

c'est vérifié

• Calcul des efforts de la culée en service par rapport au point A

(*) vérification de la stabilité en service en "condition normale"

	$V(t)$	$H(t)$	d (m)	M_R (k.m)	M_S (k.m)
Poids du Tablier	521,08	/	1,9	/	990,052
Surcharge Ba	86,85	/	1,9	/	163,88
Freinage	/	15	8,3	124,50	/
Variation linéaire	/	6,93	8,3	57,52	/
culée à vide	1293,51	205,97	/	501,89	4878,29
Total	1900,84	227,90	/	683,91	6032,22

$$- \frac{M_S}{M_R} = 8,82 > 1,5 ; \quad \frac{V}{H} \log \Psi = 4,82 > 1,5 \quad \text{vérifié}$$

$$- e_0 = \frac{B}{2} - e_1 = 0,14 < \frac{B}{6} = 1 \quad \text{vérifié}$$

$$- M_G = V \cdot e_0 = 1900,84 \times 0,14 = 266,57 ; \quad \begin{cases} \sigma_1 = 2,36 \\ \sigma_2 = 1,48 \end{cases} \Rightarrow \sigma(\%_4) = 2,21 < \bar{\sigma}_P = 3 \text{ bars}$$

(*) vérification de la stabilité en service "condition sismique"

Dans le tableau suivant nous donnons les différentes valeurs des efforts de la culée en service en condition sismique.

	V (t)	H (t)	d (m)	MR (km)	Ms (t.m)	Ms/MR	V/H moy
culée à vide	SH : 1293,51 SV↑+SH : 1202,39 SV↓+SH : 1384,04	372,77 359,79 384,61	/	1114,55 1084,89 1152,22	4878,29 4534,16 5218,94		
Tablier	CN : 521,08 SV↑ : 490,88 SV↓ : 551,28		1,9 1,9 1,9 1,3	/ / 358,06	990,052 762,32 877,08		
Surcharge BC	SY↑ : 80,21 SV↓ : 22,29 CN : 86,25	SH = 8,63	1,9 1,9 1,3	/ / 71,63	152,40 175,35 /		
freinage	/	15	8,3	124,5	/		
Variation linéaire	/	6,93	8,3	57,52	/		
Total	SH : 1811,18 SV↑ 1683,82 SV↓ 1937,95	446,67 433,48 458,31	/	1659,86 1696,60 1763,93	4878,29 5993,01 6271,37	2,83 3,41 3,56	2,34 2,24 2,64

La stabilité à l'égard du renversement et du glissement est vérifiée.

(*) Résultante des forces passée par le tiers central

condition	e₀	B/6
SH	0,93	1
SV↑ + SH	0,78	1
SV↓ + SH	0,92	1

C'est vérifié.

(*) Vérification au Poinçonnement

condition	M₀ (t.m)	V (t)	σ₁ (bars)	σ₂ (bars)	σ (θ/4)	1,33 σ₅
SH	1503,28	1811,18	3,77	0,35	2,92	3,99
SV↑ + SH	1313,38	1683,82	3,42	0,42	2,67	3,99
SV↓ + SH	1782,91	1937,95	4,42	0,19	3,36	3,99

$$\bar{\sigma}_5 = 3 \text{ bars}$$

vérifié

(*) Conclusion

Toute les conditions étant vérifiées, que se soit en service ou à vide, en conditions normales ou pénique, nous en déduisons que la culée est stable.

ETUDE ET FERRAILLAGE DES DIFFERENTS ELEMENTS DE LA CULEE

1) Etude du mur en retour

Le sont des murs latéraux parallèles à l'axe longitudinal du pont. les différentes sollicitations sont :

- Son poids propre, y compris le poids de la superstructure (action vertical)
- charge de 4t concentrée (verticale) à son extrémité appliquée à 1m de celle-ci
- charge horizontale de 2t appliquée au même niveau
- Poussée horizontale répartie

(*) évaluation des efforts :

a) charges horizontales

- charge de 2t à 1m de l'extrémité théorique et perpendiculaire au mur
- Poussée des terres uniforme égale à $(\frac{h}{3} + 0,5)$ (t/m^2), la valeur de cette poussée uniforme étant celle qui s'exercerait au niveau du centre de gravité du mur sous l'effet du poids des terres ($\gamma = 24/t/m^3$).

les efforts horizontaux créés des moments par rapport à l'axe vertical de la section s'encastrément.

$$M_H = (h_3 + 0,5) \frac{l^2 \cdot h}{6} + 2(l-1) = (\frac{3,294}{3} + 0,5) \frac{12,64^2 \cdot 3,294}{6} + 2(12,64 - 1) = 163,45 t \cdot m$$

$$T_H = (\frac{h}{3} + 0,5) \frac{l \cdot h}{2} + 2 = (\frac{3,294}{3} + 0,5) \frac{12,64 \cdot 3,294}{2} + 2 = 35,27 t$$

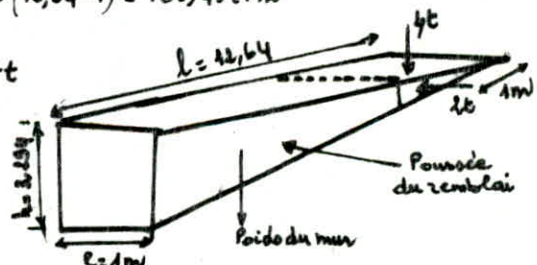
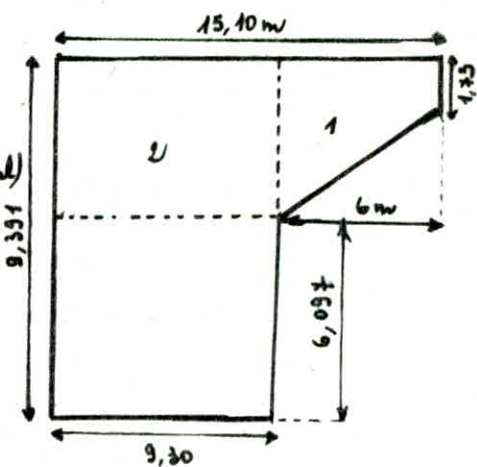
b) charges verticales

- Poids propre du mur = $2,5 [12,64 \times 1 \times 3,294] \times \frac{1}{2} = 52,05 t$
- Poids de la superstructure = $0,3l = 0,3 \times 12,64 = 3,79 t$
- charge concentrée de 4t à 1m de l'extrémité théorique

les charges vont produire un moment par rapport à l'axe horizontal de la section d'encastrément.

$$M_V = (\frac{1}{3} \times 12,64 \times 52,05) + (3,79 \times \frac{12,64}{2}) + 4(12,64 - 1) = 289,82 t \cdot m$$

$$T_V = 52,05 + 3,79 + 4 = 59,84 t$$



(*) Ferrailage du mur en retour

a) moment / axe horizontal x

$$M_x = M_V = 289,82 t \cdot m$$

$$T_x = T_y = 59,84 t$$

$$M_{RB} = \bar{K} b h^2 \text{ avec } \bar{K} = \frac{1}{2} \bar{\alpha} \bar{\delta} \bar{\sigma}'_b \text{ où } \begin{cases} \bar{\alpha} = \frac{15 \bar{\sigma}'_b}{45 \bar{\sigma}_b + \bar{\sigma}_a} \rightarrow \bar{\alpha} = 0,464 \\ \bar{\delta} = 1 - \frac{\bar{\alpha}}{3} \rightarrow \bar{\delta} = 0,845 \end{cases}$$

$$\text{d'où } \bar{K} = 31,758 \rightarrow M_{RB} = 334,20 t.m > M_x = 289,82 t.m \rightarrow A' = 0$$

$$A = \frac{M}{\bar{\sigma}_a \cdot \bar{\delta} \cdot h} = 37,76 \text{ cm}^2 \rightarrow 13 \phi 20 = 40,83 \text{ cm}^2$$

Vérification à la fissuration

$$\bar{w}_f = \frac{A}{8f} = \frac{40,83}{2 \cdot 100,5} = 0,04083 \rightarrow \bar{\sigma}_1 = 2319,40 \text{ kg/cm}^2 \text{ et } \bar{\sigma}_2 = 1490,86 \text{ kg/cm}^2 \rightarrow \bar{\sigma}_a \leq \min \begin{cases} \frac{2}{3} \bar{\sigma}_{en} = 2800 \text{ kg/cm}^2 \\ \max(\bar{\sigma}_1, \bar{\sigma}_2) \end{cases} \rightarrow \bar{\sigma}_a = 2319,40 \text{ kg/cm}^2$$

la fissuration n'est pas vérifiée. On reprend le calcul de A avec $\bar{\sigma}_a = 2319,40 \text{ kg/cm}^2$
 $\rightarrow \bar{\alpha} = 0,512 \rightarrow \bar{\delta} = 0,829 \rightarrow \bar{K} = 34,40 \rightarrow M_{RB} = 362 t.m.$

$$A = 46,46 \text{ cm}^2 \rightarrow 3\phi 15 + 8\phi 14 + 21\phi 14 = 48,02 \text{ cm}^2 \text{ (espaces respectivement de 20, 12 et 15 cm)}$$

Vérification des contraintes

$$\text{Moment statique/axe neutre} = 0 \Rightarrow \frac{1}{3} b x^2 - n A (h-x) = 0 \rightarrow x = 67,26 \text{ cm}$$

$$\text{moment d'inertie : } I = \frac{b x^3}{3} + n A (h-x)^2 = 32566799,52 \text{ cm}^4$$

$$\text{béton : } \bar{\sigma}'_b = \frac{M}{I} x = 23,61 \text{ kg/cm}^2 < \bar{\sigma}'_b = 162 \text{ kg/cm}^2$$

$$\text{Acier : } \bar{\sigma}_a = n \frac{M}{I} (h-x) = 1685,60 \text{ kg/cm}^2 < \bar{\sigma}_a = 2319,4 \text{ kg/cm}^2$$

Vérification au cisaillement

$$\tau_b = \frac{T}{b \bar{x}} = \frac{59,84 \cdot 10^3}{100 \times \frac{1}{3} \cdot 397,4} = 1,765 \text{ kg/cm}^2$$

$$\bar{\tau}_b = 3,5 \bar{\sigma}'_b = 3,5 \times 6,96 = 24,36 \text{ kg/cm}^2 \text{ (car } \bar{\sigma}'_b < \bar{\sigma}'_b \text{)} \rightarrow \tau_b < \bar{\tau}_b$$

b) moment/axe y

$$M_y = M_H = 163,45 t.m \text{ et } T_y = T_H = 35,27 t$$

$$\bar{\alpha} = 0,464, \bar{\delta} = 0,845, \bar{K} = 31,758 \rightarrow A = \frac{163,45 \cdot 10^3}{2800 \times 0,845 \times 95} = 72,42 \text{ cm}^2 \rightarrow 24 \phi 20 = 75,38 \text{ cm}^2$$

$$M_{RB} = 944,11 t.m > M_y = 163,45 t.m \rightarrow A' = 0$$

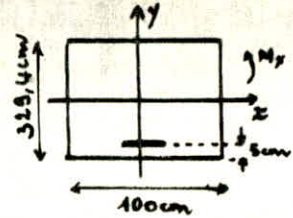
Vérification à la fissuration

$$\bar{w} = \frac{75,38}{2 \times 5 \times 397,4} = 0,01921 \rightarrow \bar{\sigma}_1 = 1289,15 \text{ kg/cm}^2 \text{ et } \bar{\sigma}_2 = 1790,86 \text{ kg/cm}^2$$

$$\bar{\sigma}_a \leq \min \begin{cases} \frac{2}{3} \bar{\sigma}_{en} = 2800 \text{ kg/cm}^2 \\ \max(\bar{\sigma}_1, \bar{\sigma}_2) \end{cases} \rightarrow \bar{\sigma}_a = 1790,86 \text{ kg/cm}^2$$

fissuration non vérifiée $\rightarrow \bar{\alpha} = 0,576, \bar{\delta} = 0,808 \rightarrow \bar{K} = 37,70 \text{ et } M_{RB} = 1120,76 t.m (A' = 0)$

$$A = \frac{163,45 \cdot 10^3}{1790,86 \times 0,808 \times 95} = 118,90 \text{ cm}^2 \rightarrow 38 \phi 20 = 119,36 \text{ cm}^2$$



• Vérification de contrainte

$$\text{moment statique/axe neutre} = 0 \rightarrow \frac{1}{2}bx^2 - nA(h-x) = 0 \rightarrow x = 27,16 \text{ cm}$$

$$\text{moment d'inertie} \rightarrow I = \frac{bx^3}{3} + nA(h-x)^2 \rightarrow I = 10439739 \text{ cm}^4$$

$$\text{béton: } \bar{\sigma}_b' = \frac{M}{I} x = 42,53 \text{ kg/cm}^2 < \bar{\sigma}_b' = 162 \text{ kg/cm}^2$$

$$\text{Acier: } \bar{\sigma}_a = \frac{nM}{I} (h-x) = 1593,20 \text{ kg/cm}^2 < \bar{\sigma}_a = 1790,86 \text{ kg/cm}^2$$

• Vérification au cisaillement

$$\tau_b = \frac{T}{b \cdot \delta} = \frac{35,27 \cdot 10^3}{329,4 \times 7,95} = 1,29 \text{ kg/cm}^2$$

$$\Rightarrow \tau_b < \bar{\tau}_b$$

$$\bar{\tau}_b = 3,5 \bar{\sigma}_b = 24,36 \text{ kg/cm}^2 (\text{car } \bar{\sigma}_b < \bar{\sigma}_{b_0}')$$

B) Etude de la partie ② (Encastrement mur-penelle)

Pour cette étude, on supposera l'oreille totalement indépendante
le schéma de calcul est le suivant:

• En condition normale:

$$P = \frac{1}{2}kh^2 = \frac{1}{2} \cdot 2 \cdot 0,33 (3,294)^2 = 3,58 \text{ t/ml}$$

$$M_p = 3,58 \cdot \frac{1}{3} \cdot 3,294 = 3,93 \text{ t.m/ml.}$$

$$-\text{ Poutre due à la surcharge } (q=1 \text{ t/m}^2) : P_q = \frac{1}{2} \cdot 3,294 \cdot 0,33 = 0,544 \text{ t/ml}$$

$$M_q = 0,544 \cdot \frac{3,294}{2} = 0,896 \text{ t.m/ml}$$

• En condition pismique:

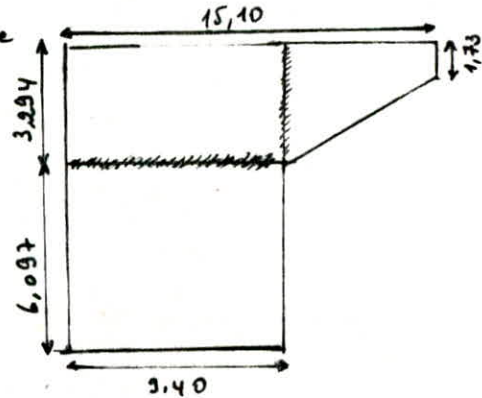
$$-\text{ Poutre des terres: } P = \frac{1}{2}kh^2 = \frac{1}{2} \cdot 2 \cdot 0,42 (3,294)^2 = 4,56 \text{ t/ml}$$

$$M_p = \frac{1}{3}hP = \frac{1}{3} 3,294 \cdot 4,56 = 5,004 \text{ t.m/ml}$$

$$-\text{ Poutre due à la surcharge } q=1 \text{ t/m}^2 : P_q = \frac{1}{2} \cdot 3,294 \cdot 0,42 = 0,461 \text{ t/ml.}$$

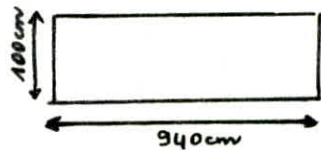
$$M_q = 0,461 \cdot \frac{3,294}{2} = 0,76 \text{ t.m/ml}$$

$$\text{moment total: } M_t = 5,764 \text{ t.m/ml}$$



• Ferrailage:

$$A = \frac{M}{Yh \cdot \bar{\sigma}_a} = \frac{5,764 \cdot 10^5}{0,145 \cdot 95 \cdot 2800} = 2,56 \text{ cm}^2 \rightarrow 3T12 = 3,39 \text{ cm}^2/\text{ml}$$



Vérification à la fissuration:

$$\bar{\sigma}_a \leq \min \begin{cases} 2800 \text{ kg/cm}^2 \\ \max(47,0, 2312) \text{ kg/cm}^2 \end{cases} \rightarrow \bar{\sigma}_a \leq 2312 \text{ kg/cm}^2$$

$$\rightarrow \bar{\alpha} = 0,512, \bar{\gamma} = 0,829 \rightarrow A = 3,16 \text{ cm}^2 \rightarrow 3T12 = 3,39 \text{ cm}^2 / \text{ml}$$

. Vérification à l'effort tranchant :

$$T_V = 59,84 t \rightarrow T_{bV} = \frac{T}{b_3} = \frac{59,84 \cdot 10^3}{7,95 \cdot 939,1} = 0,9 \text{ kg/cm}^2$$

$$T_H = 35,27 t \rightarrow T_{bH} = \frac{T}{b_3} = \frac{35,27 \cdot 10^3}{7,95 \cdot 934,1 \cdot 100} = 0,43 \text{ kg/cm}^2$$

$$T_b = \sqrt{T_{bH}^2 + T_{bV}^2} = 0,91 \text{ kg/cm}^2 < \bar{T}_b = 3,5 \bar{T}_b = 24,36 \text{ kg/cm}^2$$

Les efforts tranchants sont relativement faibles, on disposera un ferrailage constructif minimal pour des HA 12

2) Etude et ferrailage du mur de front

Le mur de front est un mur sur lequel s'appuie le tablier et il assure le soutènement des terres du remblai d'accès au pont.

Pour l'évaluation des efforts, on fera l'étude en condition normale et siamoise, en étudiant la culée à vide et en service :

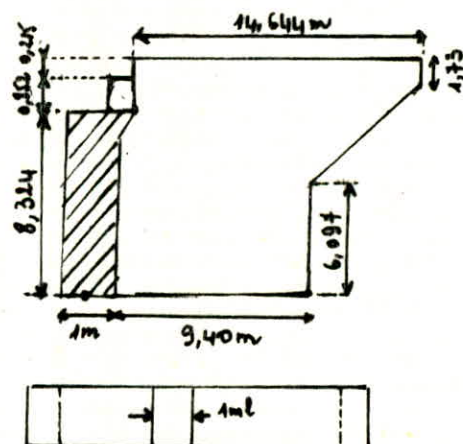
- condition normale $b_{AH} = 0,333$
- condition siamoise $b_{AH} = 0,42$

(*) Evaluation des efforts agissant sur le mur

a) culée à vide (condition normale)

- Pousée des terres $\frac{1}{2} \cdot \bar{q} \cdot h^2 \cdot b \text{ kN/l}$ (par mètre linéaire)
- Pousée de $1t/m^2$ $q \cdot h \text{ kN/l}$ (— " —)

	H (t/m)	V (t/m)	M (t.m/m)
Mur garde grève	1	2,37	-1,54
Mur de Front	1	15,39	+1,17
Pousée des terres	11,88	1	28,76
Pousée (t/m^2)	1,97	1	5,94



b) culée en condition siamoise :

	H (t/m)	V (t/m)	M (t.m/m)
Mur garde grève	0,24	2,54	-1,05
Mur de front	1,54	16,14	+9,66
Pousée des terres	14,40	—	28,80
Pousée (t/m^2)	2,40	—	7,20

culée en pente :

	H (t/ml)	V (t/ml)	M (t.m/ml)
charge permanente	1	32,27	-6,45
surcharge Bc	1	6,45	-1,29
variation linéaire	0,52	1	+3,80
freinage	1,12	1	+8,18
Seisme	3,23	1	+20,49

les efforts les plus défavorable sont à la base du mur de front, le ferrailage se fera avec la condition pionnière qui est la plus défavorable :

$$H = 23,45 \text{ t/ml} ; V = 60,44 \text{ t/ml} ; M = 66,05 \text{ t.m/ml}$$

(*) Ferrailage du mur

Le mur est sollicité en flexion composée, et les sollicitations sont du 2^{me} genre

$$e_0 = \frac{M}{V} = 109 \text{ cm} > \frac{h_t}{2} = \frac{100}{2} = 50 \text{ cm} \Rightarrow \text{la section est partiellement comprimée.}$$

$$e_0 > \frac{h_t}{2} = 50 \text{ cm} \Rightarrow \bar{\sigma}_b' = 1,5 (\bar{\sigma}_{b_0}) = 243 \text{ kg/cm}^2$$

$$\phi \leq 20 \Rightarrow \bar{\sigma}_{en} = 4200 \text{ kg/cm}^2 = \bar{\sigma}_a$$

Nous calculons la section en flexion simple, avec un moment de flexion fictif rapporté au centre de gravité des armatures tendues

$$M = V \times e_1 \text{ avec } e_1 = e_0 + \frac{h_t}{2} - d = 109 - 50 - 5 = 54 \text{ cm} \rightarrow M = 60,44 \times 54 = 93,08 \text{ t.m/ml}$$

$$M_{RB} = K b h^2$$

$$\bar{\alpha} = 0,465 \rightarrow \bar{\delta} = 0,845 \rightarrow \bar{K} = 47,74 \rightarrow M_{RB} = 470 \text{ t.m/ml} > M = 93,08 \text{ t.m/ml} \rightarrow A' = 0 \text{ (minimes)}$$

$$A_{(\text{réelle})} = A - \frac{V}{\bar{\sigma}_a} = 24,61 - \frac{60,44 \cdot 10^3}{4200} = 13,22 \text{ cm}^2 \text{ soit } \underline{5T20 = 15,70 \text{ cm}^2/\text{ml}}$$

Comme le moment peut agir dans les deux sens, nous mettrons en place des armatures symétriques
 $A = A' = 5T20$ avec un espacement de $e = 15 \text{ cm}$

. Armatures transversales

En condition normale on a : $H = 18,73 \text{ t/ml}$

$$\begin{aligned} T_b = \frac{I}{b \cdot 3} = \frac{18,73 \cdot 10^3}{100 \cdot 3 / 95} = 2,25 \text{ kg/cm}^2 \\ \bar{\sigma}_b' < \bar{\sigma}_b \rightarrow \bar{T}_b = 3,5 \bar{\sigma}_b = 3,5 \cdot 6,96 = 24,36 \text{ kg/cm}^2 \end{aligned} \quad \left. \begin{array}{l} \\ \end{array} \right\} \rightarrow T_b < \bar{T}_b$$

on choisira des cadres T12J ($A_t = 2,26 \text{ cm}^2$)

$$\bar{\sigma}_{at} = f_{at} \sqrt{V_{ent}} \text{ avec } f_{at} = \max\left(\frac{2}{3}; 1 - \frac{T_b}{9\bar{\sigma}_b}\right) = 0,96 \rightarrow \bar{\sigma}_{at} = 4049 \text{ kg/cm}^2$$

$$t \leq \frac{A_t \times 3 \times \bar{\sigma}_{at}}{T} = 31,41 \text{ cm} = 32 \text{ cm}$$

$$\bar{t} = \min \left[\left(1 - 0,3 \frac{T_b}{\bar{\sigma}_b} \right) h ; 0,2h \right] = 19 \text{ cm} \rightarrow \text{on prend } t = 15 \text{ cm}$$

3) Dalle de transition

La dalle de transition a pour but d'éviter la dénivellation chaussée courante - Pont. Le principe de calcul se base d'après le bulletin (SETRA). La dalle de transition sera calculée comme une poutre appuyée simplement sur les deux extrémités.

(*) Evaluation des efforts sur la dalle de transition

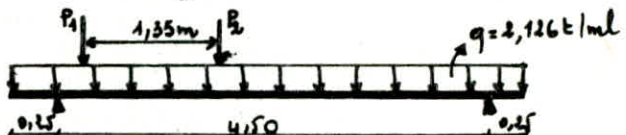
- . Charge permanente:
 - Poids propre de la dalle $25 \times 0,3 \times 1 = 0,75 \text{ t/ml}$
 - Poids du remblai $2 \times 0,60 \times 1 \times 1 = 1,2 \text{ t/ml}$
 - revêtement de la chaussée $2,2 \times 0,08 \times 1 = 0,176 \text{ t/ml}$
$$q = 2,126 \text{ t/ml}$$

Surcharge:

Le cas de surcharge le plus défavorable c'est le système B_T où P_1, P_2 sont équivalentes chacune à une charge répartie de $5,5 \text{ t/ml}$, équivalente à un rouleau infini. P_1 est affectée d'un coefficient égal à 2 (choc d'un essieu au voisinage d'un appui) et P_2 est affectée d'un coefficient égal à 1,2

$$P_1 = 2 \times 5,5 = 11 \text{ t} \quad \text{et} \quad P_2 = 1,2 \times 5,5 = 6,6 \text{ t}$$

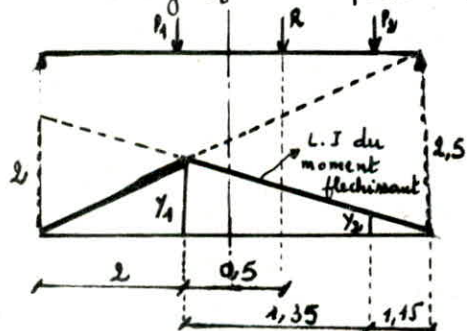
$$L = 5,00 \text{ m}$$



Calcul des efforts

- . Charge permanente: $M_G = q \frac{(L-0,5)^2}{8} = 5,38 \text{ t.m/ml}$ et $T_G = \frac{q}{2}(L-0,5) = 4,79 \text{ t/ml}$

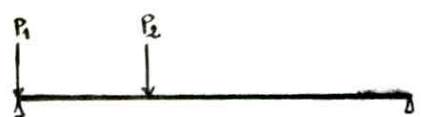
- . Surcharge B_T : la disposition la plus défavorable est donnée par le théorème de BARRE



$$\gamma_1 = 1,11 ; \gamma_2 = 0,51$$

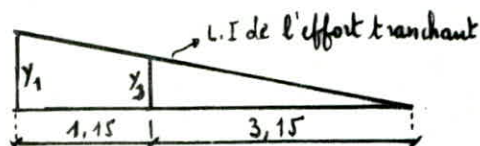
$$M_S = \sum P_i \gamma_i$$

$$M_S = 11 \times 1,11 + 6,6 \times 0,51 = 15,58 \text{ t.m/ml}$$



$$\gamma_1 = 1 ; \gamma_2 = 0,7$$

$$T_S = \sum P_i \gamma_i = 11 \times 1 + 6,6 \times 0,7 = 15,62 \text{ t/ml}$$



Effort total:

$$M_T = M_G + M_S = 20,96 \text{ t.m/ml}$$

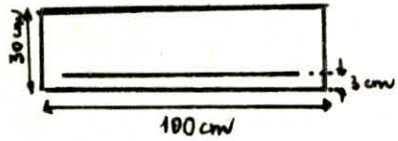
$$T_T = T_G + T_S = 20,41 \text{ t/ml}$$

(*) Ferraillage de la dalle de transition

$$A = \frac{M}{\gamma \cdot h \cdot \bar{\sigma}_a} = \frac{30,96 \cdot 10^5}{0,845 \times 27 \times 2800} = 32,81 \text{ cm}^2 \text{ soit MT20} = 34,55 \text{ cm}^2 \text{ (espaces de } 7 \text{ cm)}$$

dans l'autre sens nous prendrons des armatures de répartitions

$$A_r = \frac{A}{4} = 8,64 \text{ cm}^2 \text{ soit BT16} = 10,03 \text{ cm}^2 \text{ (espaces de } 20 \text{ cm})$$



(*) Vérification au cisaillement

$$\tau = \frac{T}{b \cdot \delta} = \frac{20,41 \cdot 10^3}{100 \times \frac{3}{2}} = 8,64 \text{ kg/cm}^2 \leq 1,15 \bar{\sigma}_b = 8,80 \text{ kg/cm}^2$$

(*) Vérification à la fissuration

$$\bar{\omega}_f = \frac{A}{B_f} = \frac{34,55}{2 \times 100 \times 3} = 0,0576 \rightarrow \sigma_1 = \frac{10^6 \times 1,6}{20} \times \frac{0,0576}{1+10 \times 0,0576} = 2923,86 \text{ kg/cm}^2$$

$$\sigma_2 = 2,4 \sqrt{\frac{10^6 \cdot 1,6}{20} \times 6,06} = 1790,86 \text{ kg/cm}^2$$

$$\bar{\sigma}_a \leq \min \begin{cases} 2800 \text{ kg/cm}^2 \\ \max(2923,86; 1790,86) \text{ kg/cm}^2 \end{cases} \rightarrow \bar{\sigma}_a = 2800 \text{ kg/cm}^2 \Rightarrow \text{la fissuration est vérifiée}$$

4) Calcul du mur garde-grève

Le mur garde-grève est soumis essentiellement à l'action des forces horizontales sur la face arrière en contact avec les terres. Les forces verticales sont négligeables. Dans notre cas, où la dalle de transition est appuyée sur le mur garde grève, des efforts supplémentaires due à cette dalle s'exercent sur le mur.

(*) Evaluation des efforts

• Forces verticales

1. Poids Propre
2. réaction de la dalle de transition R
3. réaction d'une charge directement appliquée sur le mur garde-grève

① et ③ étant supposées centrées ne produisent pas de moment dans le garde-grève.

② exerce un moment indépendant de la hauteur du mur qui vient en déduction des moments maximums dus aux forces horizontales.

En conclusion on pourra dire que l'effet des forces verticales sont négligeables.

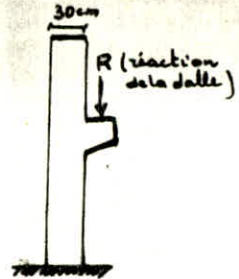
• Forces horizontales

1. Poussée des terres
2. Poussée d'une charge locale située à l'arrière du mur

3. Force de freinage d'un essieu lourd du camion Bc

① Pousée des terres

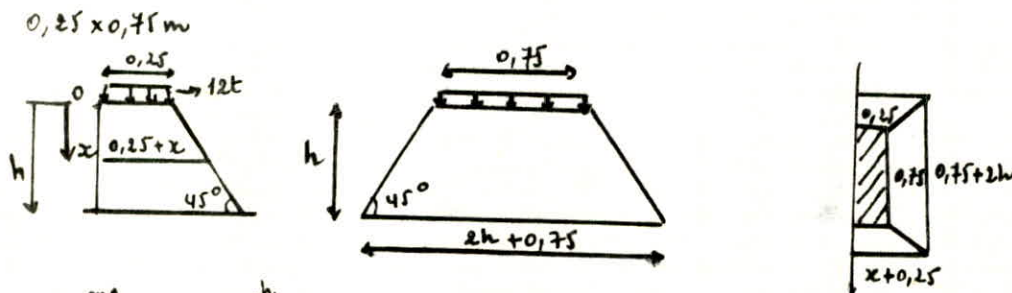
$$M_T = \frac{i \times \Delta \times h^3}{6} \quad \text{avec: } i: \text{coefficient de pousée} (i=0,5) \\ \Delta: \text{Poids volumique du remblai} (\Delta=2,0 \text{ t/m}^3) \\ h: \text{hauteur du mur} (h=0,852) \\ \Rightarrow M_T = 0,1h^3 = 0,062 \text{ t.m/ml}$$



② Pousée d'une charge locale située en arrière du mur garde-givre

Pour des hauteurs de mur ($0,5 \leq h \leq 3 \text{ m}$), les sollicitations due au camion Bc (Pousée des charges + freinage) est plus défavorable que pour les autres surcharges sans freinage.

L'effet le plus défavorable est produit par deux roues arrières de 6t de deux camions accolés, placés de telle manière que les rectangles d'impact soient en contact de la face arrière du mur. Les deux roues de 6t distante de 50 cm sont remplacées par une charge uniforme équivalente de 12t répartie sur un rectangle de $0,25 \times 0,75 \text{ m}$



$$M_p^{eqA} = \frac{12K}{0,75+2h} \int_{0,25+x}^h \frac{h-x}{0,25+x} dx \quad \text{en t.m/ml}$$

$$\text{avec } K = i\gamma s b_c \quad i: \text{coefficient de pousée} (i=0,5) \\ \gamma: \text{coefficient de pondération} (\gamma=1,2)$$

$$\rightarrow K = 0,3 \times 1,2 \times 0,95 \times 1,089 = 0,372$$

$$\text{on trouve: } M_p^{eq} = 2,43 \text{ t.m/ml}$$

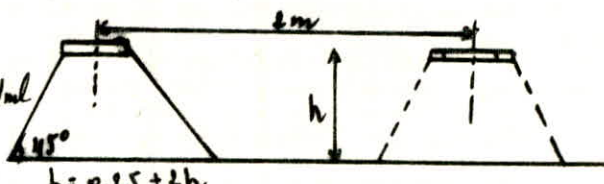
b_c : coefficient (fonction du n° de voie) ($b_c=1,089$)

δ : coefficient de magnification dynamique ($\delta=0,95$)

③ Force de freinage d'un essieu lourd du camion Bc

On considère un essieu lourd au contact du mur et l'on néglige l'effet de l'essieu situé à 1,50m en arrière. On ne considère que l'effet d'une seule roue de 6t contre tenue de l'écartement des roues (2m). La force de freinage est prise égale au poids d'une roue, soit 6t

$$M_F = \frac{6h\gamma}{0,25+2h} \Rightarrow M_F = \frac{6 \times 0,852 \times 1,2}{0,25+2 \times 0,852} = 3,139 \text{ t.m/ml}$$



La moment final à l'encastrement est la somme des moments obtenus soit :

$$M_T = 0,062 + 2,43 + 3,139 = 5,631 \text{ t.m/ml}$$

$$M_T = 5,631 \text{ t.m/ml}.$$

Ce moment est appliquée à la base (enca斯特ment mur garde grève - mur de front)

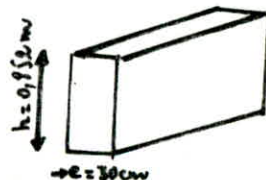
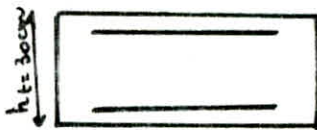
Remarque : l'effet des efforts tranchants peut-être négligeable, compte tenu du taux relativement faible des contraintes de cisaillement

- Ferraillage vertical (face arrière)

$$M = 5,631 \text{ t.m/mil}$$

$$A = \frac{M}{\gamma h \bar{\sigma}_a} ; \alpha = 0,465 \rightarrow \gamma = 0,845 ; \bar{\sigma}_b' = 162 \text{ kg/cm}^2$$

$$A = \frac{5,631 \cdot 10^5}{0,845 \times 27 \times 2800} = 8,81 \text{ cm}^2 \text{ on choisira } 6 \text{ T14} = 9,23 \text{ cm}^2/\text{mil espacés tous les } 15 \text{ cm}$$

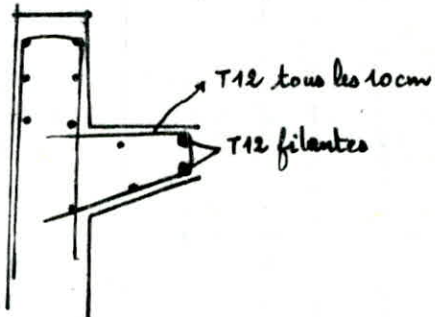


- Ferraillage horizontal

$$A = \frac{M}{\gamma h \bar{\sigma}_a} = \frac{5,631 \cdot 10^5}{0,845(15,2-3) \times 2800} = 2,90 \text{ cm}^2 \rightarrow \text{on prend } 3 \text{ T12} = 3,39 \text{ cm}^2 \text{ espacés tous les } 10 \text{ cm}$$

- Ferraillage corbeau-d'appui

Pour le ferraillage du corbeau d'appui de la dalle de transition nous adoptons celui donné dans le bulletin (SETRA), il est défini en coupe transversal ci-dessous



- Ferraillage verticale (face avant)

$$M = 3,2 \text{ t.m/mil}$$

$$A = \frac{M}{\gamma h \bar{\sigma}_a} = \frac{3,2 \cdot 10^5}{0,845 \times 27 \times 2800} = 5 \text{ cm}^2/\text{mil} \text{ soit } 4 \text{ T14} = 6,16 \text{ cm}^2$$

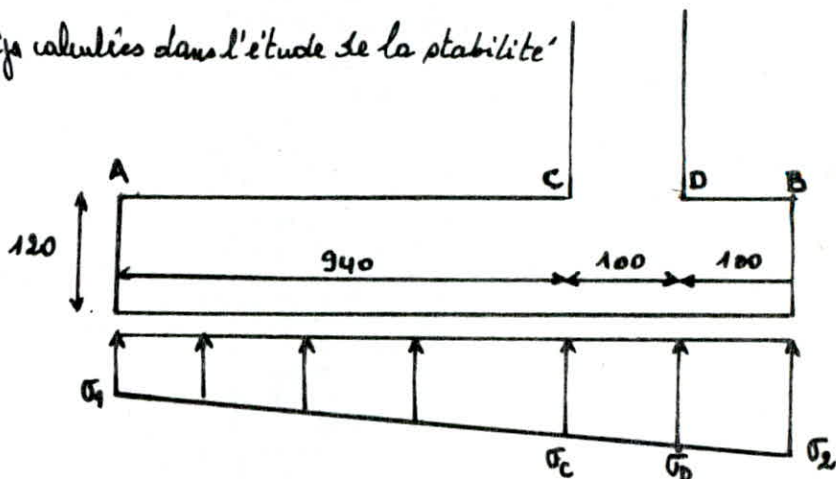
ETUDE DE LA SEMELLE

Semelle sous Culée

Les culées reposent sur des peneilles superficielles, et l'étude se fera en service en conditions normales.
Le calcul sera fait par la méthode des consoles en considérant les patins AC et BD parfaitement encastrés.

Les contraintes σ_1 , σ_2 du sol ont été déjà calculées dans l'étude de la stabilité.

$$\sigma_1 = 17,8 \text{ t/m}^2 \text{ et } \sigma_2 = 23,6 \text{ t/m}^2$$



Détermination de σ_C et σ_D

$$\frac{\sigma_2 - \sigma_1}{AB} = \frac{\sigma_D - \sigma_1}{AD} \Rightarrow \sigma_D = \frac{(\sigma_2 - \sigma_1) AD}{AB} + \sigma_1 = 23,1 \text{ t/m}^2$$

$$\frac{\sigma_2 - \sigma_1}{AB} = \frac{\sigma_C - \sigma_1}{AC} \Rightarrow \sigma_C = \frac{(\sigma_2 - \sigma_1) AC}{AB} + \sigma_1 = 22,58 \text{ t/m}^2$$

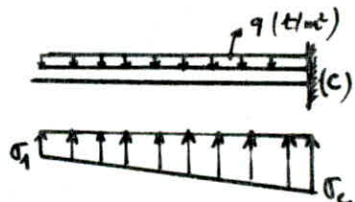
① Etude du Patin AC

- Poids des terres $2 \times 7,3 = 14,6 \text{ t/m}^2$

- Surcharge (1 t/m^2) $= 1 \text{ t/m}^2$

- Poids propre de la semelle $2,5 \times 1,20 = 3 \text{ t/m}^2$

$$q = 18,6 \text{ t/m}^2$$

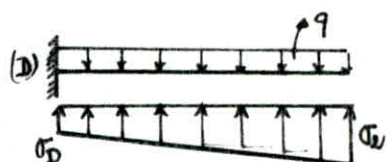


$$M = 17,8 \times \frac{9,4^2}{2} + (22,58 - 17,8) \frac{9,4^2}{2} \cdot \frac{1}{3} - 18,6 \times \frac{9,4^2}{2} = 35 \text{ t.m/m}$$

② Etude du Patin BD

- Poids Propre de la peneille : $2,5 \times 1,20 = 3 \text{ t/m}^2 \rightarrow q = 3 \text{ t/m}^2$

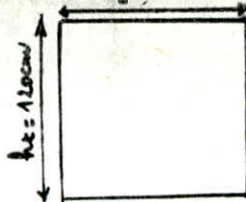
$$M = 23,1 \times \frac{1^2}{2} + (23,6 - 23,1) \frac{1^2}{2} \cdot \frac{1}{3} - 3 \cdot \frac{1^2}{2} = 10,22 \text{ t.m/m}$$



(*) Ferraillage de la nappe inférieure

• Patin AC

$$A = \frac{M}{\frac{1}{2}h \cdot \bar{\sigma}_a} = \frac{35 \cdot 10^5}{\frac{1}{2} \cdot 115 \cdot 2800} = 12,43 \text{ cm}^2/\text{ml}$$



• Patin AD

$$A = \frac{M}{\frac{1}{2}h \cdot \bar{\sigma}_a} = \frac{10,22 \cdot 10^5}{\frac{1}{2} \cdot 115 \cdot 2800} = 3,63 \text{ cm}^2/\text{ml}$$

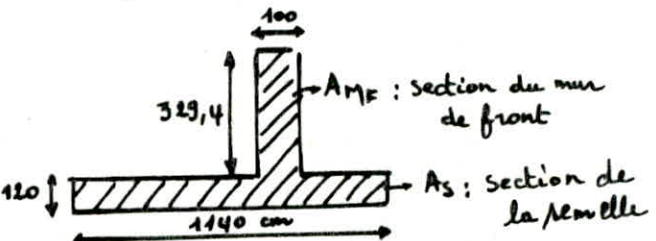
$$h = h_t - d = 115 \text{ cm}$$

On prendra un pourcentage minimal d'armatures inférieures de la poutrelle

$$A = 0,12 (A_s + A_{MF})$$

$$A = 0,12 \left[\frac{(120 \times 140) + (329,4 \times 100)}{1460} \right] = 13,95 \text{ cm}^2/\text{ml}$$

Soit $\frac{1}{2}T16 = 14,07 \text{ cm}^2/\text{ml}$ avec un espaceur



$e = 13 \text{ cm}$, et ce ferraillage on l'utilise dans les deux sens.

(*) Ferraillage supérieure

Le pont des armatures de construction et ils doivent reprendre 4% de l'effort normal N due aux charges et surcharges

$$N = \frac{1900 \cdot 24}{14,55} = 130,6 \text{ t/ml} \quad (\text{effort en service en condition normale})$$

$$\text{on doit avoir : } \frac{0,04N}{A} \leq \bar{\sigma}_a \rightarrow A \geq \frac{0,04N}{\bar{\sigma}_a} = 1,86 \text{ cm}^2/\text{ml}$$

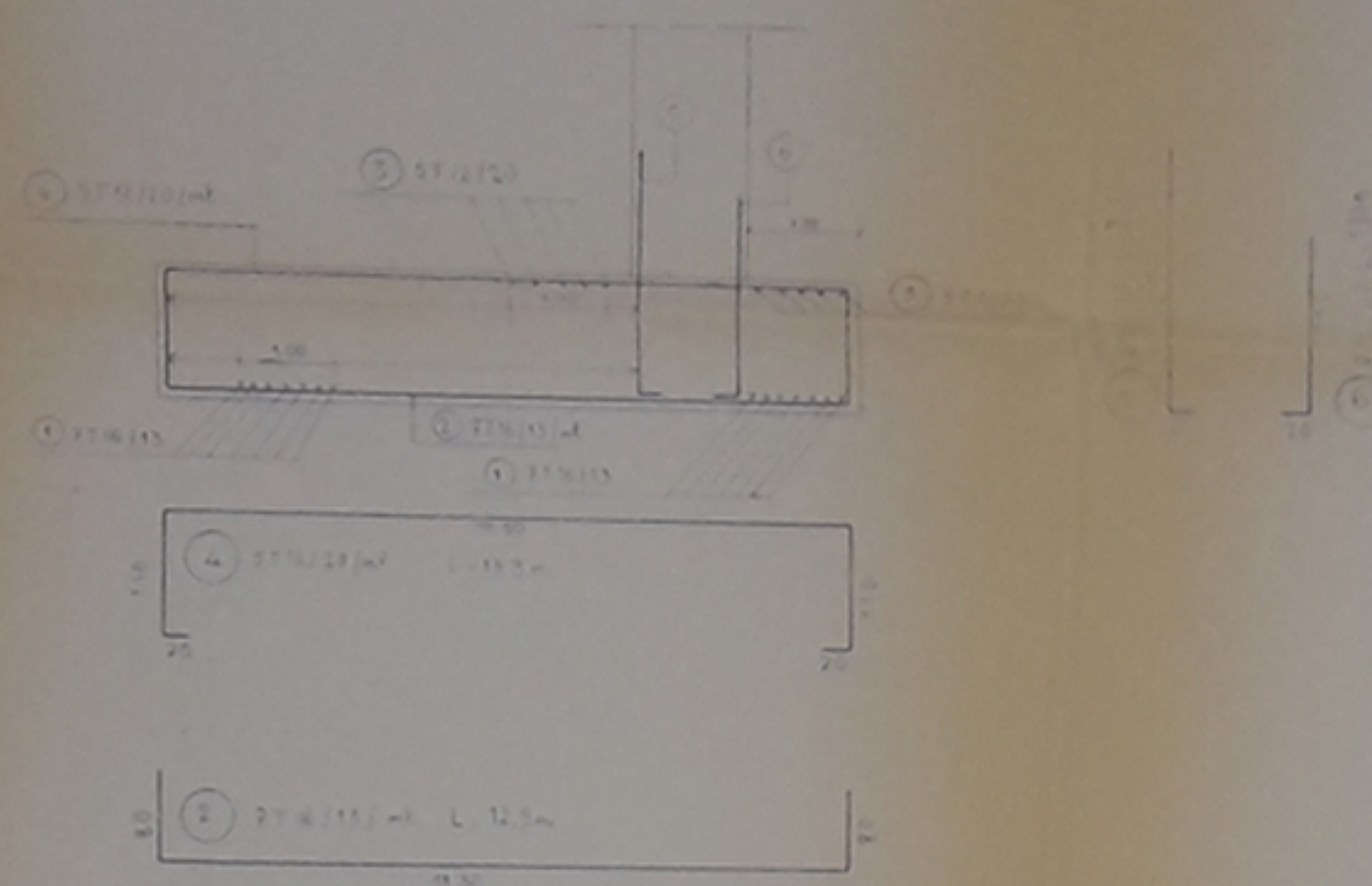
On prendra $5T12/\text{ml} = 5,65 \text{ cm}^2/\text{ml}$ avec un espaceur $e = 20 \text{ cm}$ et cela dans les deux sens pour former un grillage.

BIBLIOGRAPHIE

- BARRES R, MASSONNET ch
"Le calcul des grillages de routes et dalles isotropes"
- DREUX G
"Pratique du béton précontraint"
- Ministère des travaux publics
"Cahier de prescriptions communes"
- Documentation SETRA
Appareils d'appuis
culées
- Document DYWIDAG ; fiches techniques
"Précontrainte par câble"
- Document SETRA
"fixion transversale"
- Charon P
"calcul et vérification des ouvrages en béton armé"

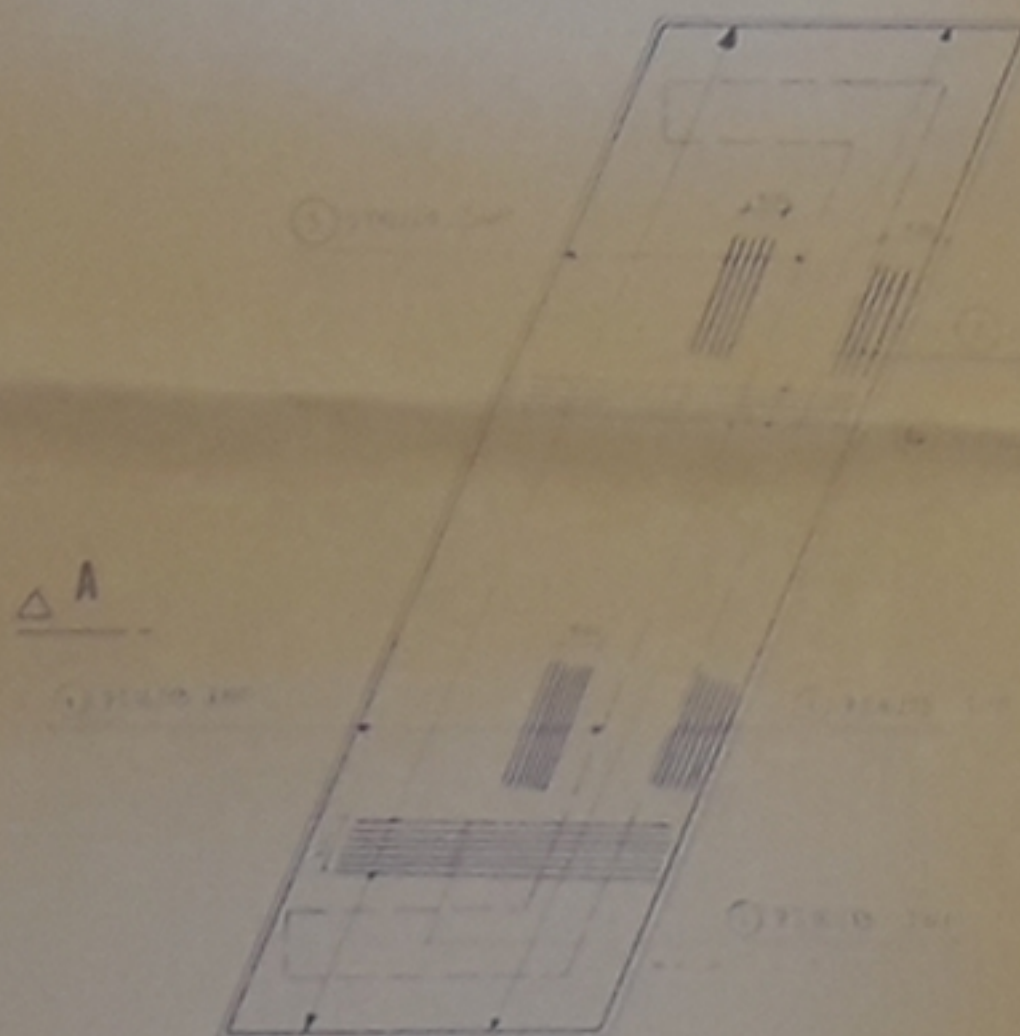
COUPE A-A

ECH 1:50



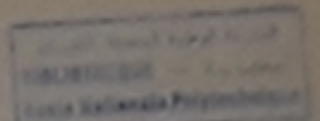
VUE EN PLAN

ECH 1:100



PB-07.87
-A-

EN PA



**PONT DALLE ISOSTATIQUE
EN BETON PRECONTRAINTE**

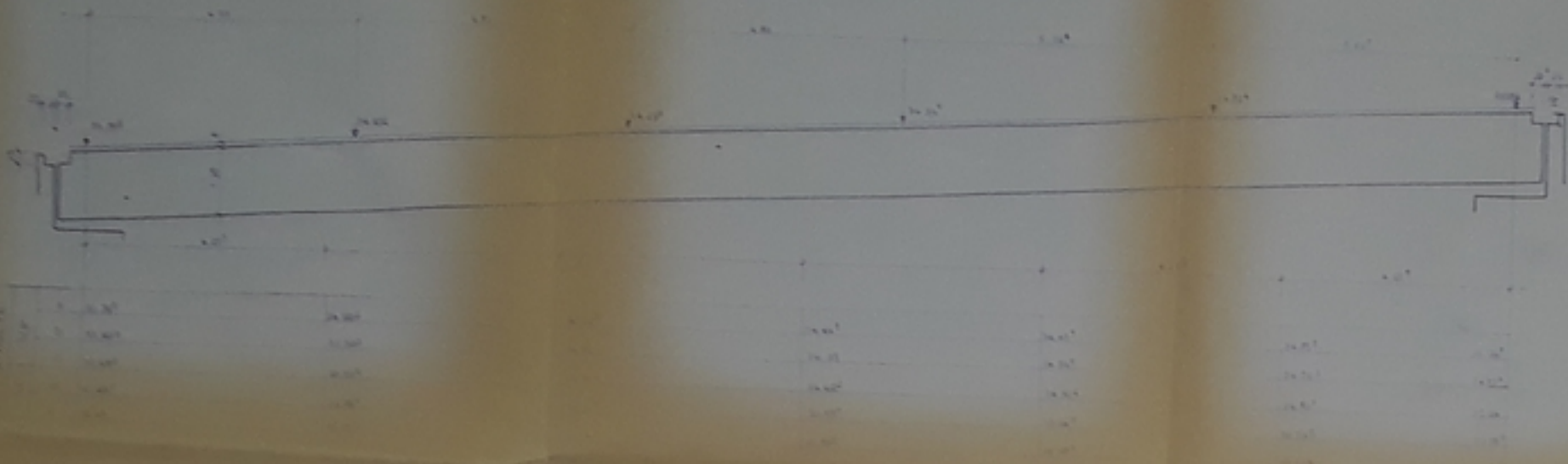
PLAN DE FERRAILLAGE SEMELLE

Longueur: 8m Largeur: 10m Hauteur: 1.80m

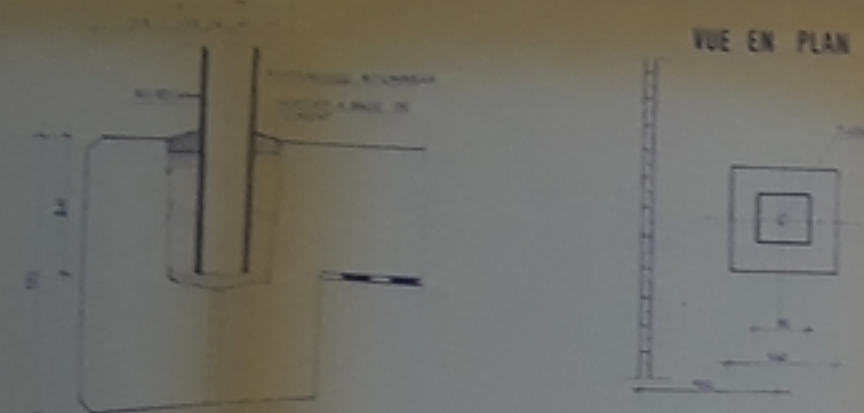
Longueur: 8m Largeur: 10m Hauteur: 1.80m

Longueur: 8m Largeur: 10m Hauteur: 1.80m

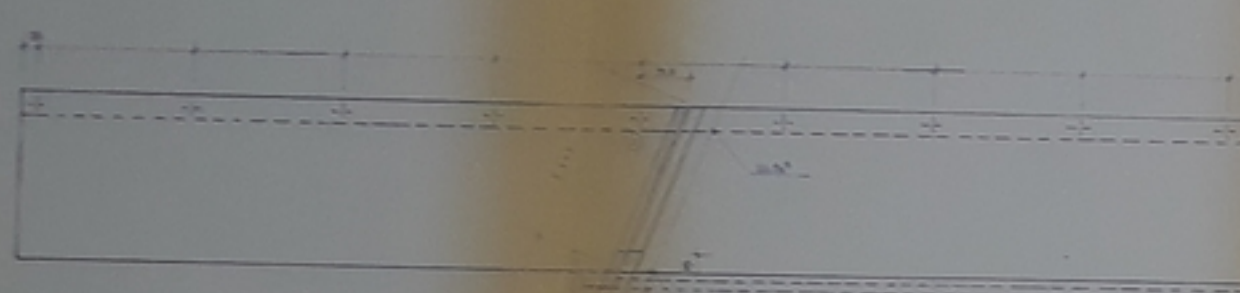
COUPE AA



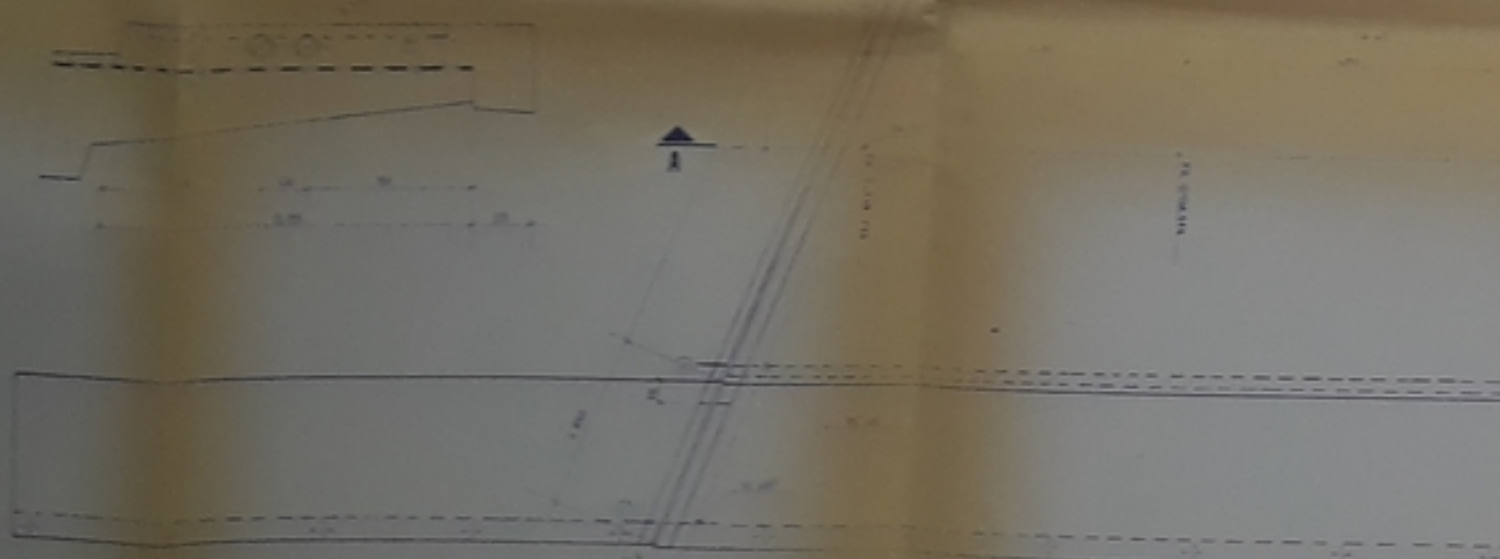
COUPE BETON 'A'



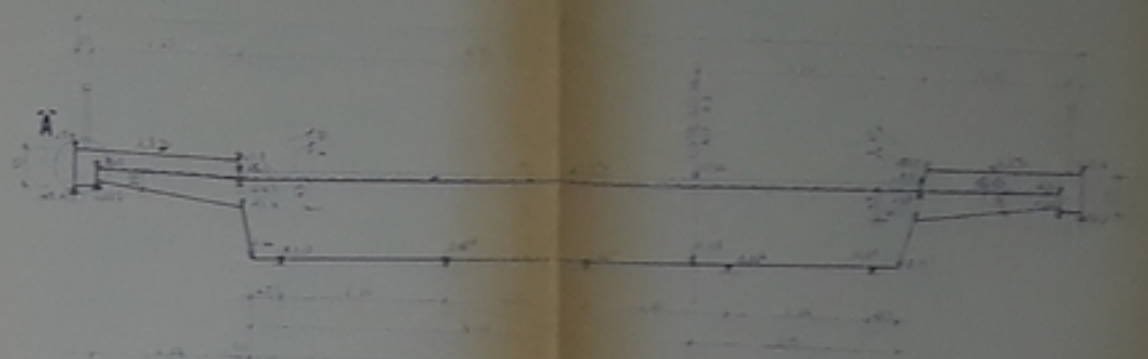
VUE EN PLAN



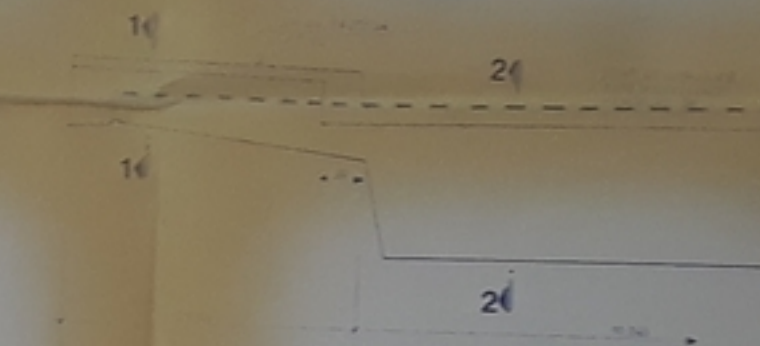
DETAIL TROTTOIR (INDICATION POUR CABLES)



COUPE BB

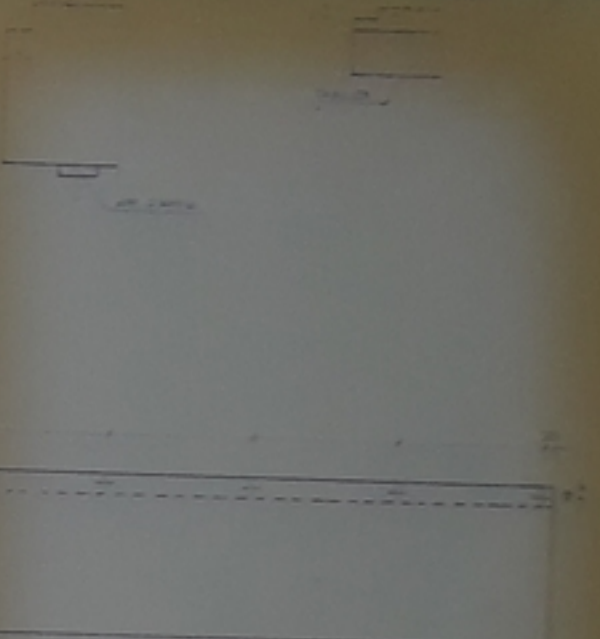


COUPE CC

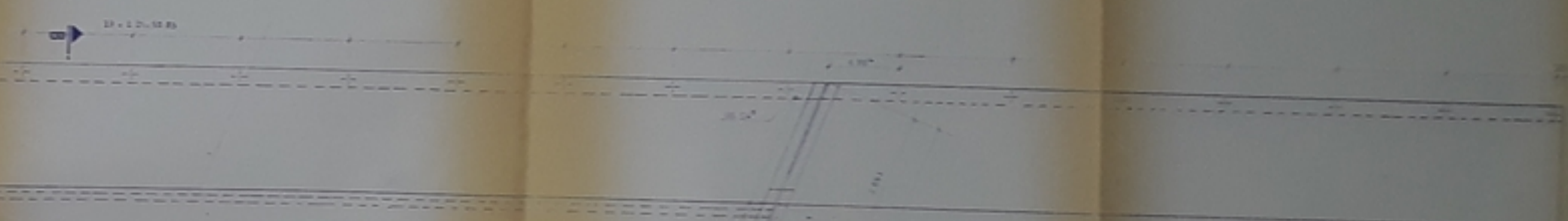


COUPE 22

COUPE 11

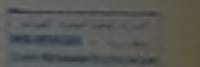


VUE EN PLAN



E.P.A

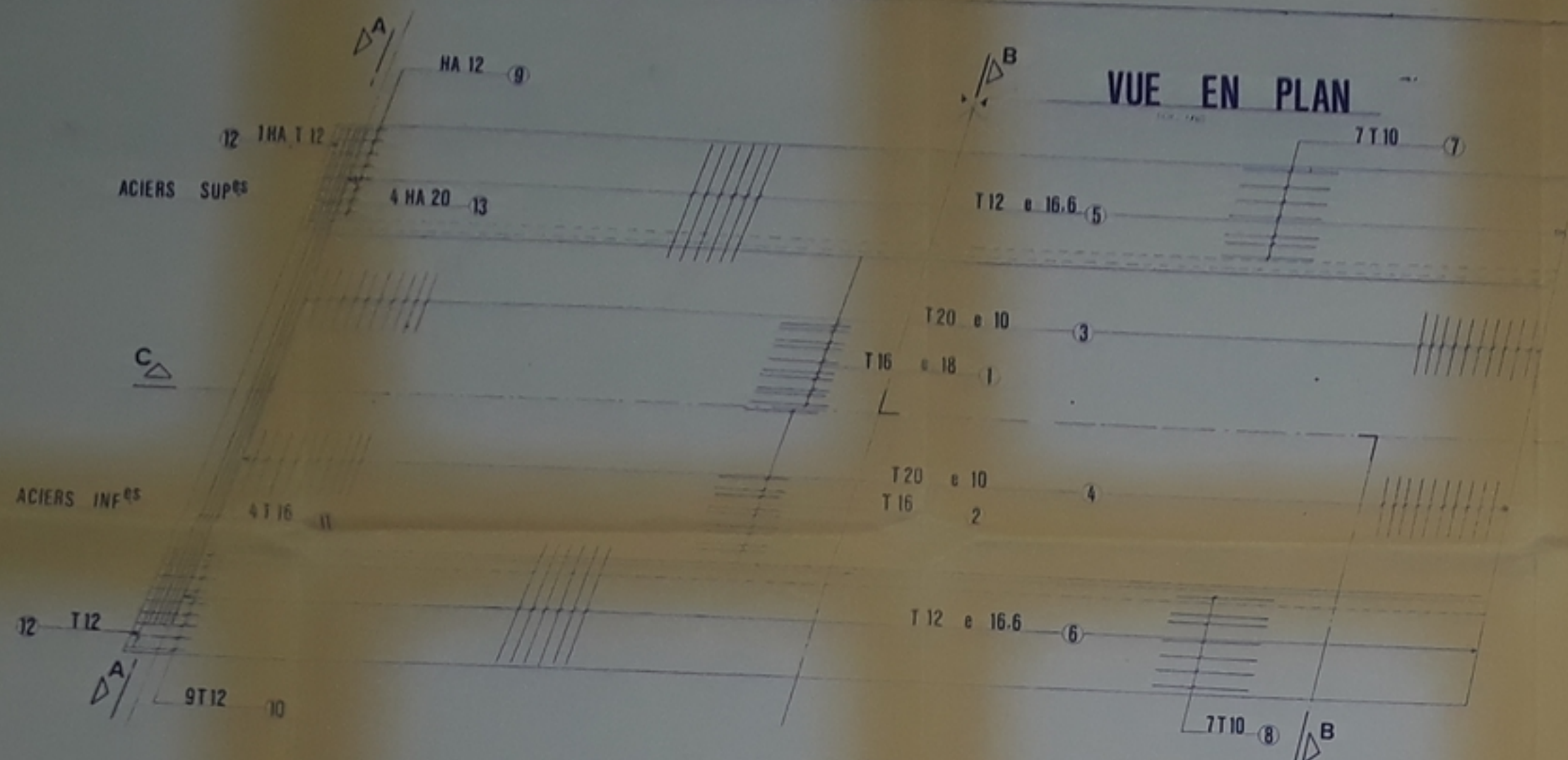
POINT DALLE ISOSTATIQUE
EN BETON PRECONTRAINTE



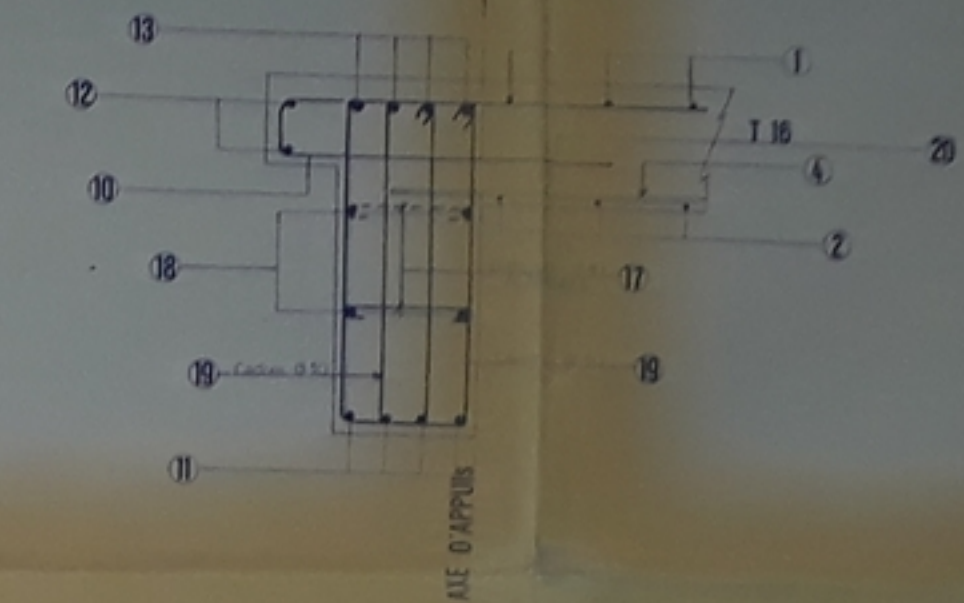
PLAN DE COFFRAGE TABLIER

P.B. 047

VUE EN PLAN



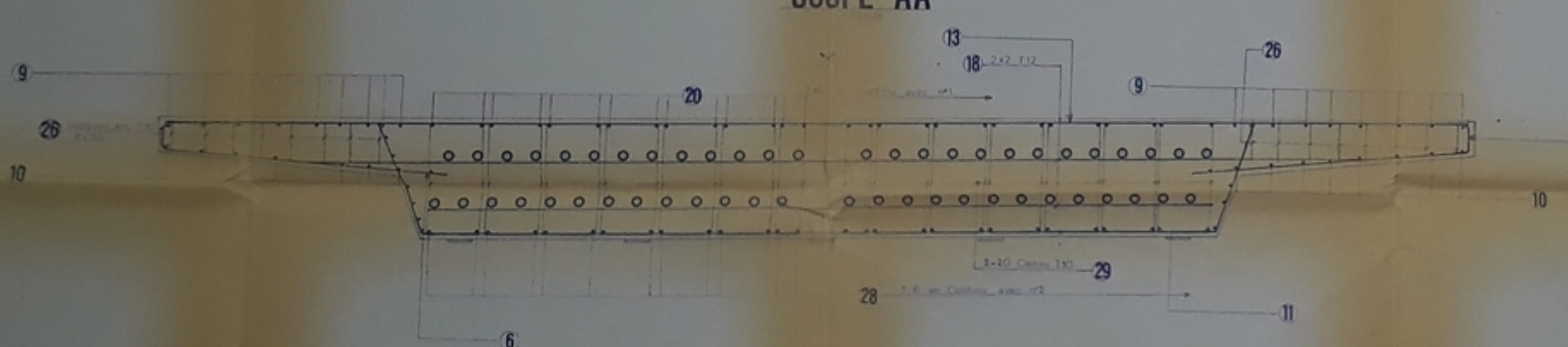
DETAIL D'ENTRETOISE D'ABOUT



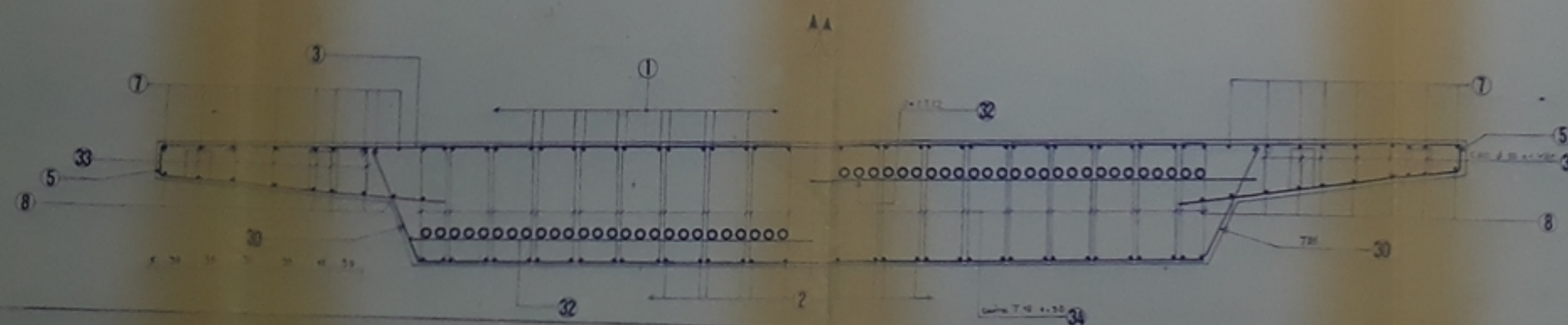
NOMENCLATURE DES ACIERS

N°	NOMENCLATURE	Ø	L	Q	Q' (kg)	Q'' (kg)
1	TOR	16	40x2 + 30	1.60	25.60	304.80
2	TOR	16	40x2 + 30	1.60	25.60	304.80
3	TOR	20	110x2 + 230	1.60	34.00	384.00
4	TOR	20	110x2 + 230	1.60	34.00	384.00
5	TOR	20	110x2 + 230	1.60	34.00	384.00
6	TOR	20	110x2 + 230	1.60	34.00	384.00
7	TOR	16	110x2 + 230	1.60	34.00	384.00
8	TOR	16	110x2 + 230	1.60	34.00	384.00
9	TOR	16	2x7 + 14	1.60	3.20	33.60
10	TOR	16	2x7 + 14	1.60	3.20	33.60
11	TOR	16	2x7 + 14	1.60	3.20	33.60
12	TOR	16	2x7 + 14	1.60	3.20	33.60
13	TOR	20	2x7 + 14	1.60	3.20	33.60
14						
15						
16						
17	Adx	10	120	0.35	5.50	
18	TOR	16	6x2 + 8	0.50	8.00	63.00
19	Adx	10	43x2 + 2x12	0.30	2.30	335.60
20	TOR	16	8x2 + 16	0.30	1.20	15.20
21						
22						
23						
24						
25						
26	TOR	60	31	0.30	6.40	
27						
28	TOR	16	60	1.30	104.00	
29	TOR	16	40	2.30	116.00	
30	TOR	16	20 _b	2.10	92.40	
31						
32	TOR	16	60x2 + 20 _b	6.60	66.00	
33	Adx	10	60	variable		
34	TOR	40	25x2 + 20 _b	2.60	53.04	

COUPE A:A



COUPE B:B



ENPA

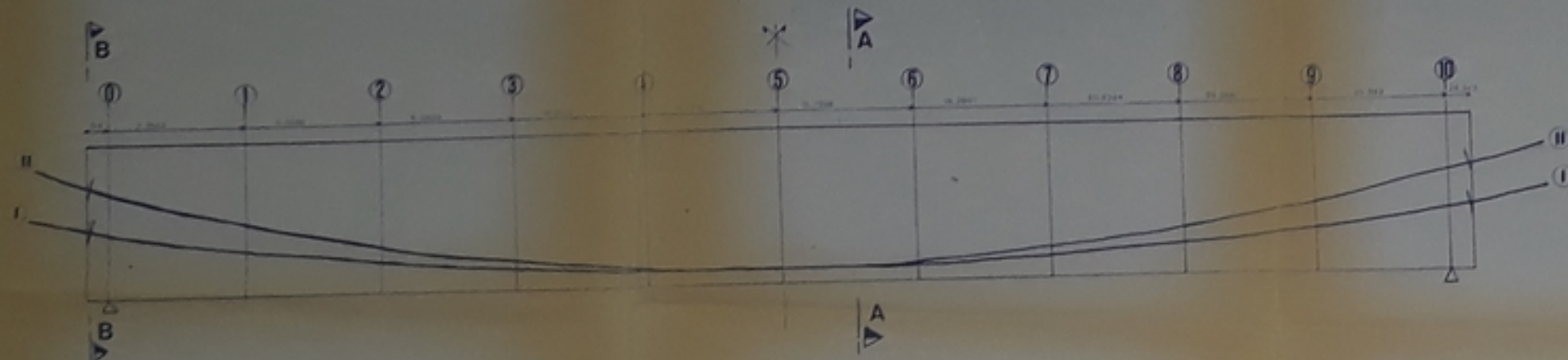
ÉCOLE NATIONALE POLYTECHNIQUE DE LAUSANNE

DÉPARTEMENT INGENIERIE CHIMIQUE

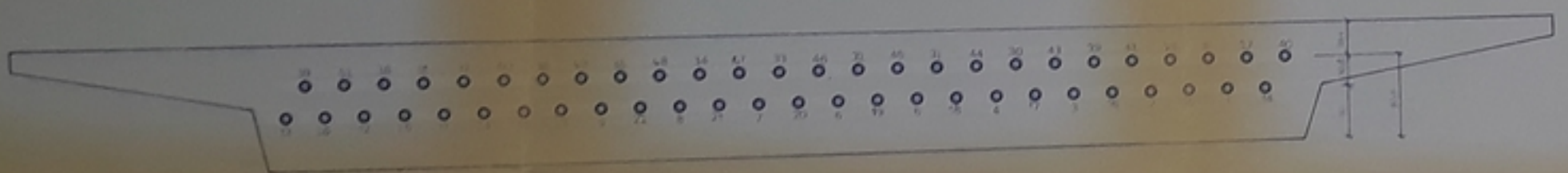
INSTITUT DE MÉTALLURGIE

INSTITUT DE

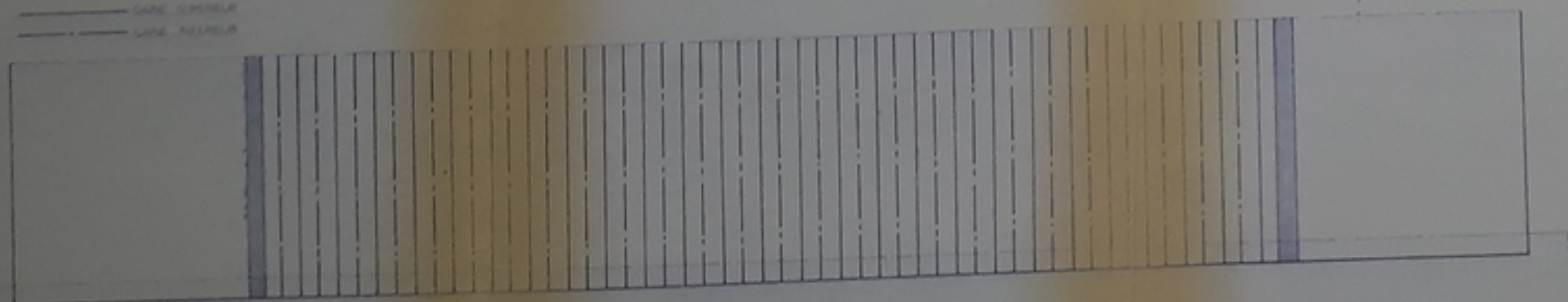
COUPE LONGITUDINALE



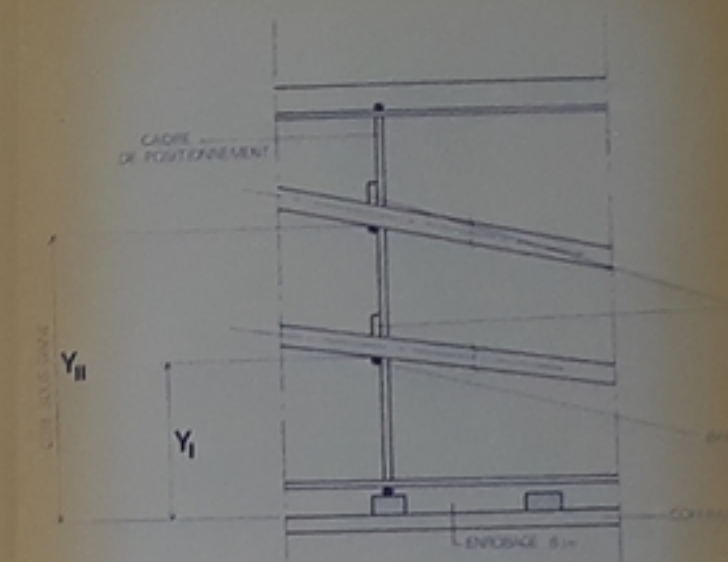
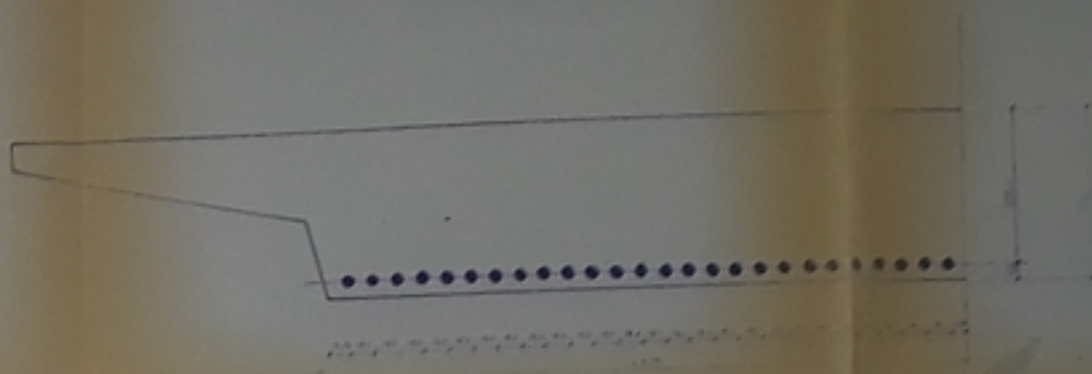
VUE EN ELEVATION : BB



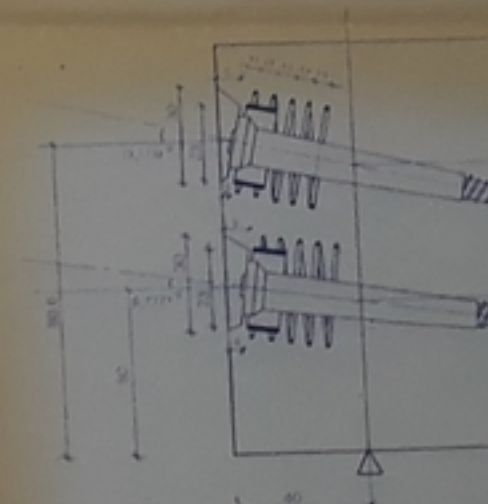
VUE EN PLAN



COUPE AA

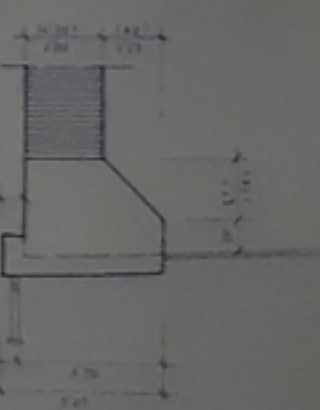


DETAIL D'ANCRAGE
(ANCRAGE A CLOCHE DYWIDAG)



ENPA	
PONT DALE ISOSTATIQUE EN BÉTON PRECONTRAINTE	
PLAN DE CABLAGE	
PROJETEUR PARIS SASTI	STRUCTURE PARIS SASTI
STUDIO PARIS SASTI	STUDIO PARIS SASTI
PROJETEUR PARIS SASTI	

PB 007 87

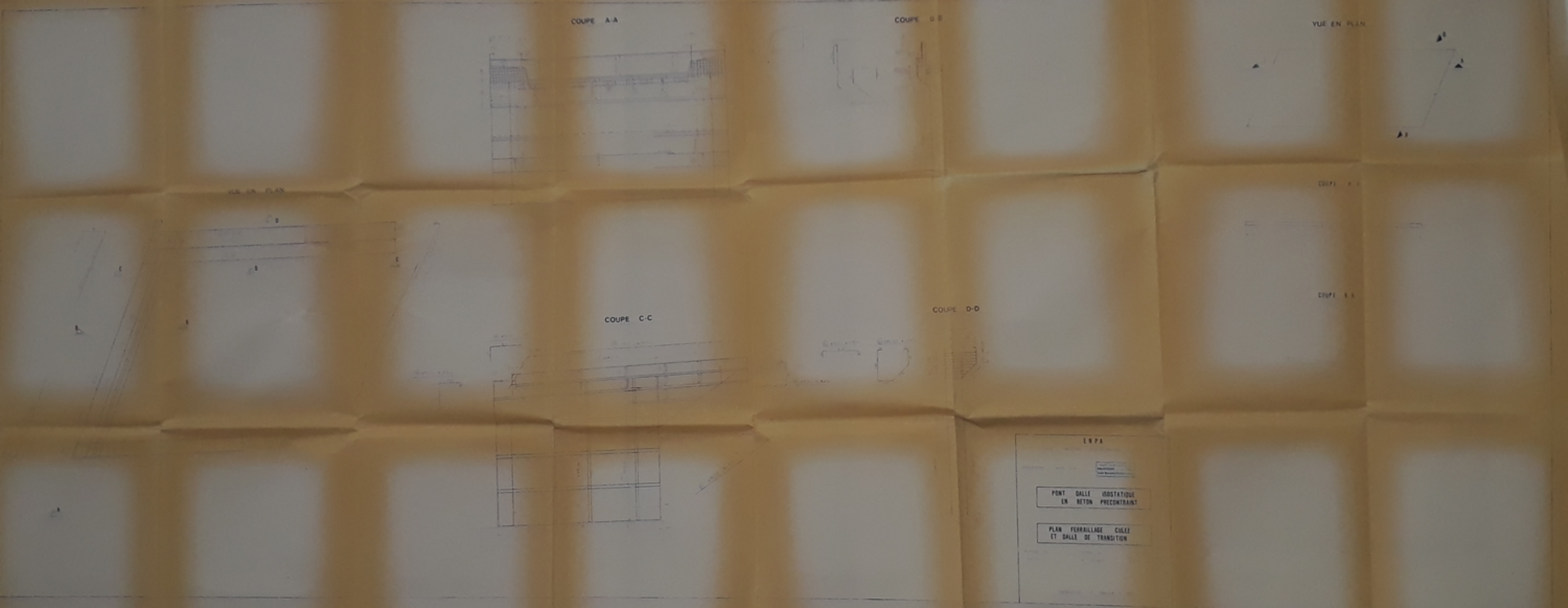


СОЛЬ С-С
ИЮВ ЕИ ҮЕЛЮВ

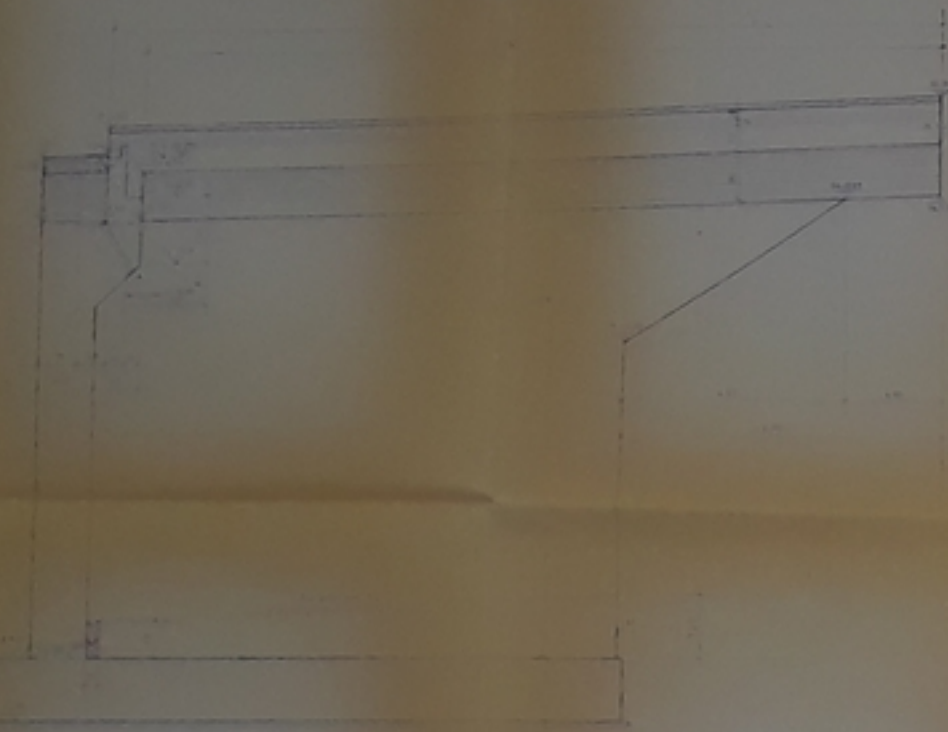
TINATINDOSAÑ
SUDITATOSI
TINAG
SUDITAD
NOTE
EN

Е И Ь А

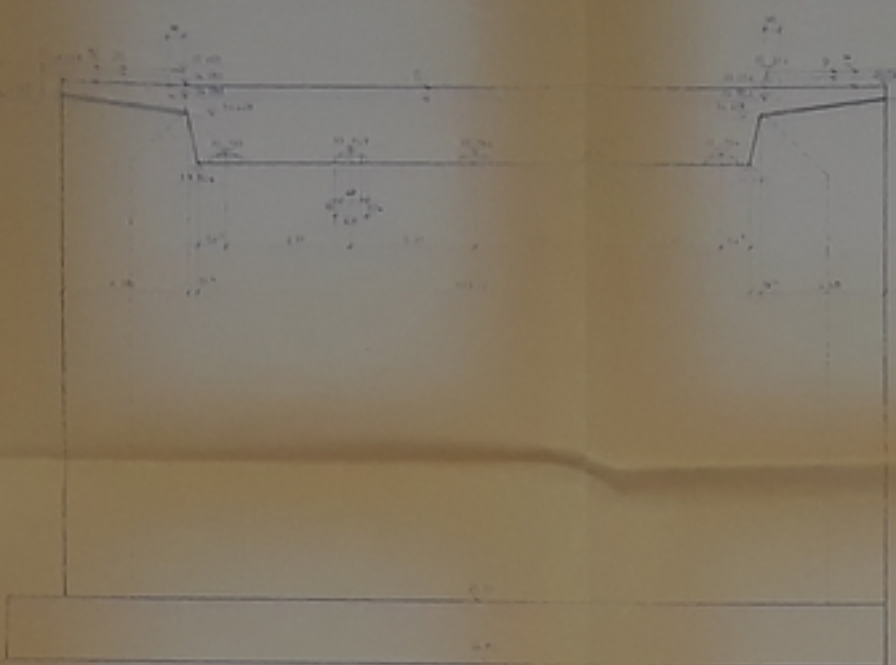
WILHELMUS DE VRIES
1950-1951



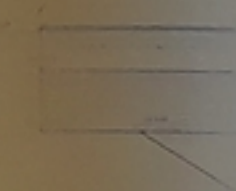
COUPE B-B



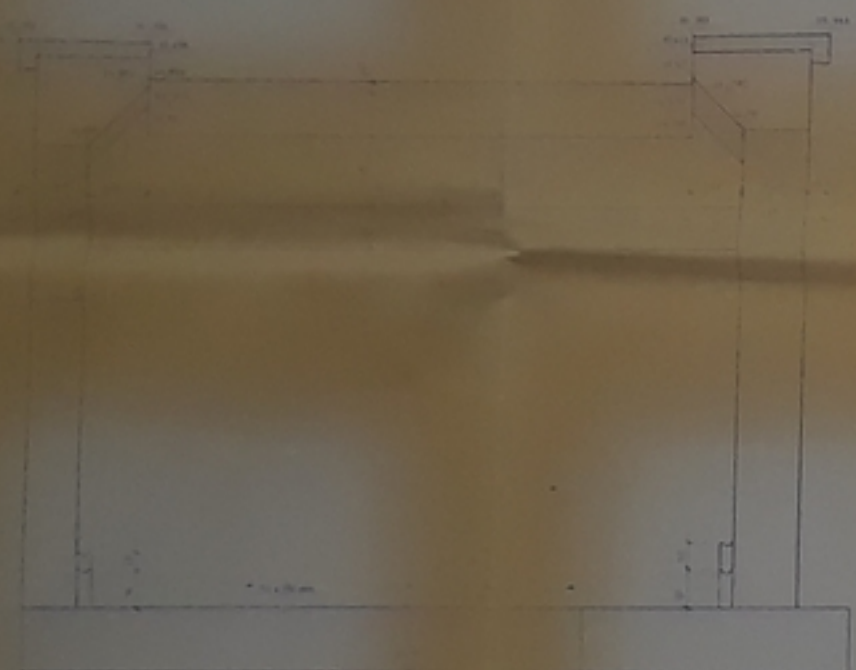
COUPE A-A



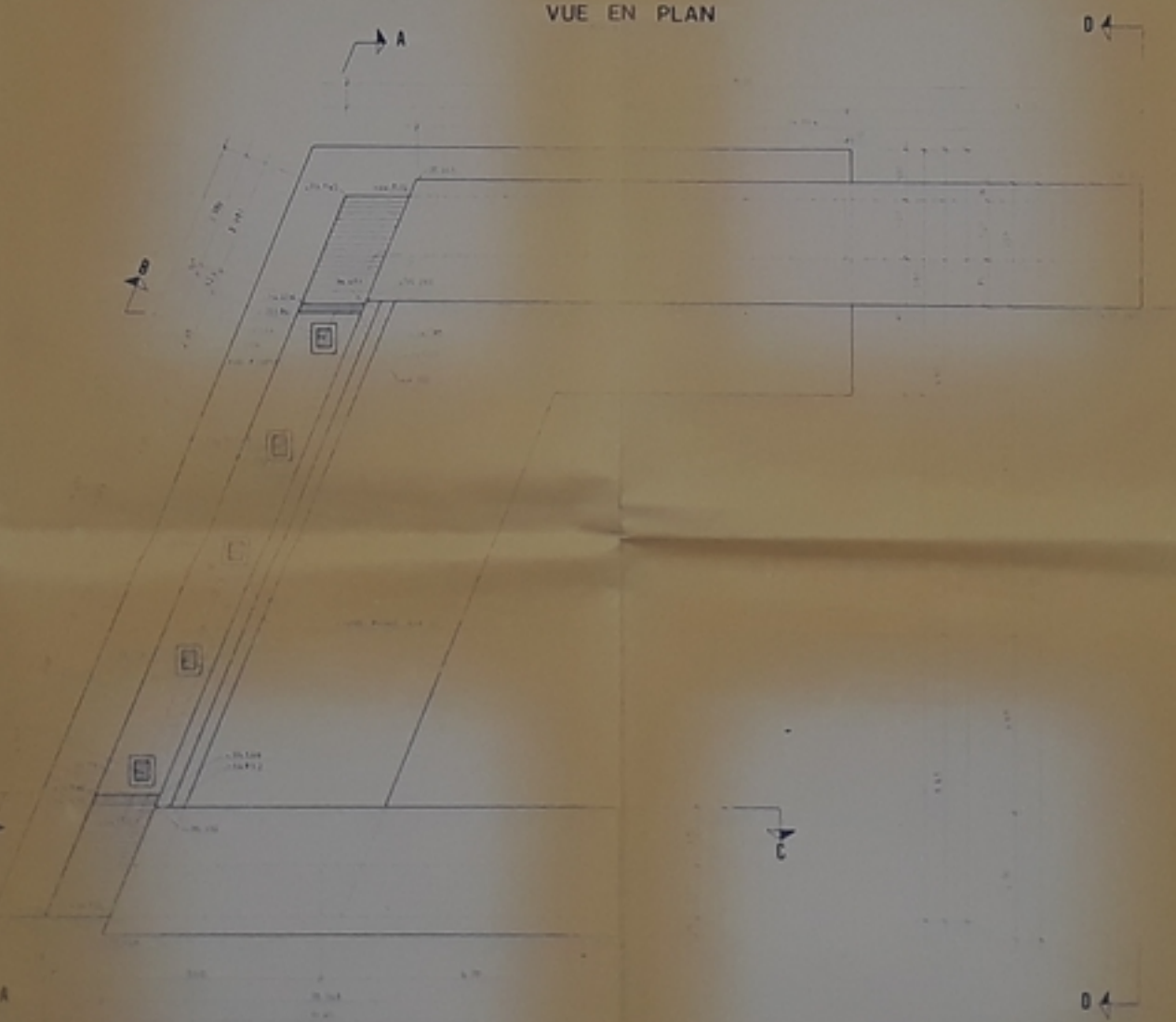
COUPE C-C



COUPE D-D



VUE EN PLAN



04

DETAIL CULEE

8

EN P.I.

PONT DALE ISOSTATIQUE
EN BETON PRECONTRAINTE

PLAN COFFRAGE CULEE

P.B...T.67

7-